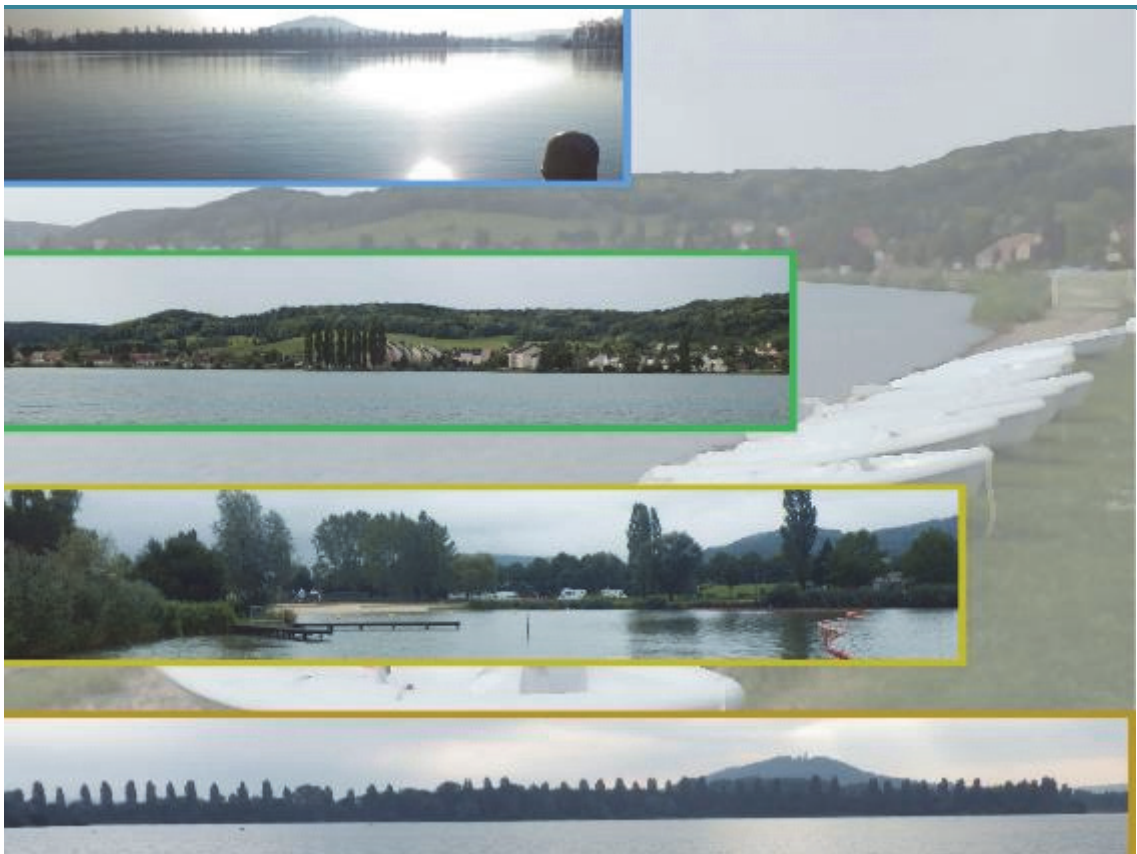


# Surveillance de la Qualité des Plans d'Eau des Bassins Rhône Méditerranée Corse

- Suivi 2014 -

Rapport de données et d'interprétation  
**Gravière de Vaivre Vesoul (Haute-Saône)**



Octobre 2015



Papier recyclé



**Propriétaire du rapport :** Agence de l'eau Rhône Méditerranée Corse  
2-4, Allée de Lodz  
69363 LYON Cedex 07

**Interlocuteur :** M. Loïc IMBERT

**Titre :** Surveillance de la qualité des plans d'eau des bassins Rhône Méditerranée Corse – Suivi 2014 – Rapport de données et d'interprétation – Gravière de Vaivre Vesoul (Haute-Saône).

**Mots-Clés :** Agence de l'eau Rhône Méditerranée Corse, Programme de surveillance, DCE, suivi 2014, plans d'eau, Haute-Saône, gravière de Vaivre Vesoul.

**Numéro de rapport :** 2805FB15  
**Date :** Octobre 2015  
**Statut du rapport :** Rapport provisoire

**Auteurs :** Arnaud OLIVETTO  
François BOURGEOT

**Travail de laboratoire:** Bianca TOUCHART et Jeanna RIGAUT (Phytoplancton)  
Emmanuel MICHAUT (Oligochètes)

**Nombre d'ex. édités :** 1  
**Nb de pages (+annexes) :** 30 (+39)

**Réalisation :**



**GREBE eau - sol - environnement**

Groupe de Recherche et d'Etude: Biologie et Environnement  
23, rue St-Michel - 69007 LYON  
Tél.: 04 72 71 03 79 - Fax: 04 72 72 06 12  
courriel: contact@grebe.fr



## **SOMMAIRE**

|  |           |
|--|-----------|
| <b>PREAMBULE</b>   | <b>7</b>  |
| <b>1. INTRODUCTION</b>   | <b>8</b>  |
| <b>1.1 ORGANISATION DU RAPPORT</b>   | <b>8</b>  |
| <b>1.2 TYPOLOGIE NATURELLE DES PLANS D'EAU</b>   | <b>8</b>  |
| <b>2. PROTOCOLES DE PRELEVEMENT ET D'ANALYSE</b>   | <b>9</b>  |
| <b>2.1 PHYSICO-CHIMIE DES EAUX ET DU SEDIMENT</b>  | <b>9</b>  |
| <b>2.1.1 CAMPAGNES DE MESURES</b>  | <b>9</b>  |
| <b>2.1.2 PRELEVEMENTS</b>  | <b>9</b>  |
| <b>2.1.3 PARAMETRES MESURES</b>  | <b>10</b> |
| <b>2.2 COMPARTIMENTS BIOLOGIQUES</b>   | <b>11</b> |
| <b>2.2.1 PHYTOPLANCTON</b>   | <b>11</b> |
| <b>2.2.2 OLIGOCHETES (IOBL)</b>  | <b>12</b> |
| <b>3. CONTEXTE GENERAL ET CARACTERISTIQUES DU PLAN D'EAU</b>                                 | <b>13</b> |
| <b>4 PHYSICO-CHIMIE DES EAUX ET DES SEDIMENTS</b>  | <b>17</b> |
| <b>4.1 PHYSICO-CHIMIE DES EAUX</b>   | <b>17</b> |
| <b>4.1.1 PROFILS VERTICAUX</b>   | <b>17</b> |
| <b>4.1.2 PARAMETRES DE MINERALISATION</b>  | <b>17</b> |
| <b>4.1.3 RESULTATS DES ANALYSES PHYSICO-CHIMIQUES DES EAUX HORS MICROPOLLUANTS</b>           | <b>19</b> |
| <b>4.1.4 MICROPOLLUANTS MINERAUX</b>   | <b>20</b> |
| <b>4.1.5 MICROPOLLUANTS ORGANIQUES</b>   | <b>21</b> |
| <b>4.2 PHYSICO-CHIMIE DES SEDIMENTS</b>  | <b>22</b> |
| <b>4.2.1 PHYSICO-CHIMIE DES SEDIMENTS HORS MICROPOLLUANTS</b>                                | <b>22</b> |
| <b>4.2.2 MICROPOLLUANTS MINERAUX</b>   | <b>24</b> |
| <b>4.2.3 MICROPOLLUANTS ORGANIQUES</b>   | <b>25</b> |
| <b>5 COMPARTIMENTS BIOLOGIQUES</b>   | <b>26</b> |
| <b>5.1 PHYTOPLANCTON</b>   | <b>26</b> |
| <b>5.2 OLIGOCHETES</b>   | <b>29</b> |
| <b>ANNEXES</b>   | <b>33</b> |
| <b>LISTE DES MICROPOLLUANTS ANALYSES SUR EAU</b>   | <b>34</b> |
| <b>LISTE DES MICROPOLLUANTS ANALYSES SUR SEDIMENTS</b>                                       | <b>43</b> |
| <b>COMPTEES RENDUS DES CAMPAGNES DE PRELEVEMENTS PHYSICO-CHIMIQUES ET PHYTOPLANCTONIQUES</b> | <b>47</b> |
| <b>RAPPORT D'ANALYSE PHYTOPLANCTON</b>   | <b>61</b> |
| <b>RAPPORT D'ANALYSE OLIGOCHETES</b>   | <b>67</b> |



## PREAMBULE

Cette étude de diagnostic écologique de plans d'eau a été réalisée dans le cadre du programme de surveillance établi lors de la mise en œuvre de la directive cadre européenne sur l'eau (DCE)<sup>1</sup>, prescrivant une atteinte de « bon état » écologique des masses d'eau en 2015. En application de cette dernière, il est demandé à chaque état membre d'évaluer l'état écologique des masses d'eau d'origine naturelle ou le potentiel écologique des masses d'eau fortement modifiées et artificielles.

L'agence de l'eau Rhône Méditerranée Corse a mandaté le bureau d'études GREBE pour l'acquisition de données écologiques sur un certain nombre de masses d'eau de plans d'eau (MEPE) de plus de 50 hectares du nord du bassin. Les prestations ont été réalisées en application de l'arrêté du 25 janvier 2010<sup>2</sup> établissant le programme de surveillance de l'état des eaux.



Gravière de Vaivre Vesoul le 22/05/15

<sup>1</sup> DCE. Cadre pour une politique communautaire dans le domaine de l'eau. Directive 2000/60/CE.

<sup>2</sup> Ministère de l'environnement, de l'énergie, du développement durable et de la mer, en charge des technologies vertes et des négociations sur le climat. Arrêté du 25 janvier 2010 établissant le programme de surveillance de l'état des eaux en application de l'article R. 212-22 du code de l'environnement.

## 1. INTRODUCTION

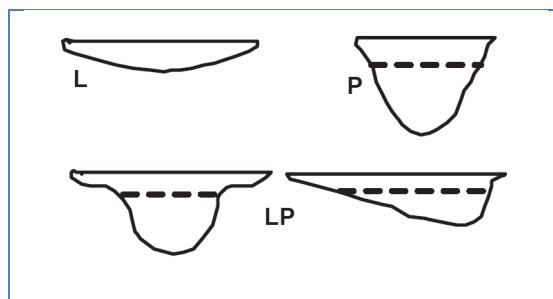
### 1.1 Organisation du rapport

Les résultats du suivi de l'année 2014 sont présentés sous la forme d'un rapport de données brutes et d'interprétation commentée des résultats, présentant également les méthodologies mises en œuvre et les rapports de campagnes de terrain.

### 1.2 Typologie naturelle des plans d'eau

La typologie naturelle des plans d'eau utilisée dans le rapport est définie dans l'arrêté du 12 janvier 2012<sup>3</sup> relatif aux méthodes et aux critères à mettre en œuvre pour délimiter et classer les masses d'eau. La typologie est basée sur l'origine des plans d'eau (naturelle ou anthropique), leur hydro-écorégion<sup>4</sup>, la forme de leur cuvette et leur fonctionnement hydraulique. Les formes théoriques de cuvettes lacustres sont présentées *Figure 1*, et sont définies comme suit :

- *Forme L* : lac peu profond, zone littorale largement prépondérante, stratification thermique peu étendue et/ou instable (lac polymictique).
- *Forme P* : lac profond, stratification thermique stable (lac monomictique ou dimictique) et une zone littorale étendue, la cuvette pouvant être symétrique ou asymétrique.
- *Forme LP* : lac ayant à la fois une zone profonde stratifiée stable (monomictique ou dimictique) et une zone littorale étendue, la cuvette pouvant être symétrique ou asymétrique.



*Figure 1* - Formes théoriques de la cuvette lacustre. La ligne pointillée indique la limite théorique de profondeur maximale de la thermocline en été (Figure issue de la circulaire 2005/11).

<sup>3</sup> Ministère de l'environnement, du développement durable et de l'énergie, du climat et de l'aménagement du territoire. Arrêté du 12 janvier 2010 relatif aux méthodes et aux critères à mettre en œuvre pour délimiter et classer les masses d'eau et dresser l'état des lieux prévu à l'article R. 212-3 du code de l'environnement. Journal Officiel de la République Française.

<sup>4</sup> Wasson, J. G., Chandesris, A., Pella, H., & Blanc, L. (Juin 2002). *Les hydro-écorégions de France métropolitaine, approche régionale de la typologie des eaux courantes et éléments pour la définition des peuplements de référence d'invertébrés*. Cemagref.

## 2. PROTOCOLES DE PRELEVEMENT ET D'ANALYSE

### 2.1 Physico-chimie des eaux et du sédiment

#### 2.1.1 Campagnes de mesures

Quatre campagnes de mesure sont réalisées au cours de l'année :

- *campagne 1*: entre mi-février et fin mars (voire plus tard selon l'altitude), correspondant à la période de brassage et d'homothermie des eaux;
- *campagne 2*: mois de mai, correspondant au début de la période de stratification thermique;
- *campagne 3*: fin juillet / début août, correspondant à la période estivale;
- *campagne 4*: mois de septembre/octobre, correspondant à la fin de la période de production végétale et à la période de stratification maximale du plan d'eau, avant le refroidissement de la masse d'eau.

#### 2.1.2 Prélèvements

##### 2.1.2.1 Prélèvements d'eau

Les prélèvements d'eau sont réalisés au niveau du point de plus grande profondeur du plan d'eau. Dans le cas de retenues artificielles, une zone de sécurité interdite à la navigation, généralement matérialisée par une ligne de bouées, peut être présente à proximité des ouvrages. La zone de prospection se limite alors à l'extérieur de cette dernière. Dans le cadre du suivi de la gravière de Vaivre Vesoul, seule la **zone euphotique** a été échantillonnée. Celle-ci correspond correspondant à 2,5 fois la transparence de l'eau. Cette dernière est mesurée à l'aide d'un disque de Secchi de 20 centimètres de diamètre, à quarts alternativement blanc ou noir.

- un premier échantillonnage est destiné aux analyses physico-chimiques classiques et dosage de micropolluants. Il est réalisé avec une bouteille à prélèvement verticale de type Van Dorn de 1,2 litre en téflon. Les prélèvements unitaires sont répartis sur l'ensemble de la zone euphotique puis homogénéisés dans un seau de 10 litres en polyéthylène haute densité (PEHD). Le contenu est ensuite versé directement dans les différents flaconnages ou à l'aide d'un entonnoir en PEHD dans le cas de contenants à col étroit. L'opération est répétée jusqu'à obtention du volume nécessaire aux analyses.
- un second échantillonnage destiné aux analyses phytoplanctoniques et à la quantification de la chlorophylle *a* est réalisé à l'aide d'une bouteille intégratrice de type Pelletier en résine d'une contenance maximale de 1 litre pour une zone

d'échantillonnage de 18 mètres. Le volume d'eau échantillonné étant trop faible dans le cas d'une zone euphotique peu importante, l'échantillonnage est préférentiellement réalisé au moyen d'une bouteille verticale et d'une série de prélèvements unitaires sur l'étendue de la zone euphotique si celle-ci n'excède pas une profondeur de 4 mètres.

### **2.1.2.2 Prélèvements de sédiments**

Les sédiments sont prélevés lors de la campagne 4 (septembre/octobre) à la benne Ekman, 15 cm x 15 cm. Le contenu est vidé dans un seau en PEHD, et l'opération répétée jusqu'à obtention d'un volume suffisant. Les sédiments sont transvasés dans les flaconnages à l'aide d'une petite pelle en PEHD.

### **2.1.3 Paramètres mesurés**

Les analyses physico-chimiques de pleine eau ont été confiées au Laboratoire Santé Environnement Hygiène de Lyon (CARSO-LSEHL), et les analyses sur sédiments au Laboratoire Départemental de la Drôme (LDA 26).

#### **2.1.3.1 Paramètres de pleine eau**

Deux types de paramètres de pleine eau ont été pris en considération:

- les paramètres **mesurés in situ** à chaque campagne:
  - température, oxygène dissous (concentration et taux de saturation), pH, conductivité. Ces paramètres sont mesurés sur l'ensemble de la colonne d'eau à l'aide d'une sonde multi paramètres munie d'un câble.
  - transparence mesurée au disque de Secchi de 20 centimètres de diamètre, à quarts alternativement blanc ou noir.
  - les paramètres analysés **en laboratoire** sur **prélèvement intégré** au niveau de la zone trophogène :
    - **paramètres généraux** (à chaque campagne) :
      - azote Kjeldhal, ammonium, nitrates, nitrites, orthophosphates, phosphore total, carbone organique total, matières en suspension, turbidité, chlorophylle *a* et phéopigments (échantillon filtré sur site à l'aide d'une pompe à vide manuelle), silice dissoute, demande biologique en oxygène (DBO), demande chimique en oxygène (DCO);
    - **paramètres de minéralisation** (1<sup>ère</sup> campagne) :

- chlorures, sulfates, hydrogénocarbonates, calcium, magnésium, sodium, potassium, dureté totale, titre alcalimétrique complet (TAC) ;
- **micropolluants** (à chaque campagne) :
  - Substances prioritaires, autres substances et pesticides en référence à l'annexe 5 de la circulaire du 29 janvier 2013 relative à l'application de l'arrêté du 25 janvier 2010 établissant le programme de surveillance de l'état des eaux. Les micropolluants organiques ont été mesurés sur les échantillons d'eau brute et les micropolluants minéraux sur l'eau filtrée du même prélèvement.

### 2.1.3.2 Paramètres du sédiment

Sur les sédiments, les quantifications ont été réalisées au cours de la quatrième campagne au niveau du point de plus grande profondeur, et prennent en compte les deux compartiments et les paramètres suivants :

- **l'eau interstitielle** : orthophosphates, phosphore total et ammonium ;
- **la phase solide** : carbone organique, azote global, phosphate total, matières organiques volatiles, granulométrie inférieure à 2 mm (argiles, limons fins et grossiers et sables fins et grossiers), aluminium, fer, manganèse, et micropolluants suivant l'annexe 5 de la circulaire du 29 janvier 2013.

## 2.2 Compartiments biologiques

### 2.2.1 Phytoplancton

Le suivi du phytoplancton a été effectué lors de 4 campagnes selon la méthode d'Utermöhl<sup>5</sup>. Un prélèvement intégré est réalisé sur l'ensemble de la zone euphotique à l'aide d'une bouteille à prélèvement (cf. §2.1.2.1) au droit du point le plus profond du plan d'eau. Cet échantillon est également utilisé pour la filtration *in situ* de la chlorophylle a. Les échantillons de phytoplancton sont fixés au lugol, puis stockés au réfrigérateur avant détermination et comptage des objets algaux<sup>6</sup> au sein du laboratoire du GREBE.

L'inventaire et le dénombrement du phytoplancton ont été réalisés, après passage en chambre de sédimentation, sous microscope inversé. En cas de difficulté d'identification ou de fortes abondances, une vérification des diatomées (algues microscopiques siliceuses) a été

<sup>5</sup> AFNOR. (2006). Norme guide pour le dénombrement du phytoplancton par microscopie inversée (méthode Uthermöhl). NF EN 15204.

<sup>6</sup> Laplace-Treyture, C., Barbe, J., Dutartre, A., Druart, J.-C., Rimet, F., Anneville, O., et al. (Septembre 2009). Protocole Standardisé d'échantillonnage, de conservation et d'observation du phytoplancton en plan d'eau, Vers. 3.3.1. INRA, Cemagref.

réalisée en parallèle, entre lame et lamelle sous microscope droit, selon le mode préparatoire décrit par la norme NF T90-354<sup>7</sup>.

Les résultats sont présentés sous forme d'inventaires taxinomiques précisant le nombre de cellules dénombrées par ml, et l'abondance relative de chaque taxon.

L'indice phytoplanctonique défini par la diagnose rapide a ensuite été calculé sur la base des biovolumes spécifiques à chaque taxon et de leur abondance relative.

### 2.2.2 Oligochètes (IOBL)

L'IOBL, indice basé sur les communautés d'oligochètes, permet d'évaluer les potentialités des sédiments lacustres à assimiler et à recycler les substances minérales et organiques. Il s'interprète comme le « potentiel métabolique du milieu ». Il prend en compte la richesse taxinomique, les densités d'individus et le pourcentage d'espèces sensibles aux pollutions toxiques ou organiques. Bien qu'en théorie continue, la valeur de l'indice varie en général de 0 à 25. L'indice s'applique aux lacs naturels d'eau douce et aux retenues dont la profondeur atteint 5 mètres. Toutefois, il peut être appliqué aux milieux stagnants peu profonds, son interprétation devant alors être recadrée dans le contexte naturel du plan d'eau étudié<sup>8,9</sup>.

Les échantillons de sédiments ont été constitués sur la base de trois prélèvements élémentaires à la benne Ekman : au point de plus grande profondeur et au niveau de 2 points intermédiaires situés de part et d'autre du point profond. Un indice IOBL est déterminé pour chacune des profondeurs considérées.

L'échantillonnage peut théoriquement être réalisé à n'importe quelle saison, il est cependant conseillé d'effectuer deux campagnes de prélèvements, une lors d'une phase d'isothermie (printanière ou automnale) et une en période de stratification (estivale ou hivernale). En raison de la possible désoxygénation des couches profondes en été, la campagne estivale correspond à la période la plus pénalisante pour la faune invertébrée benthique. Toutefois, dans le cadre de ce suivi, une seule campagne a été réalisée au printemps.

L'IOBL sur le plan d'eau de Vesoul ne faisait pas partie de la programmation initiale de ce plan d'eau étant donné sa faible profondeur. Le GREBE a cependant effectué des prélèvements et analyses faunistiques dont les résultats figurent dans ce rapport pour information.

<sup>7</sup> AFNOR. (2007). Détermination de l'Indice Biologique Diatomées (IBD). *NF T90-354 15204*.

<sup>8</sup> Lafont, M. (2007). Interprétation de l'indice lacustre oligochètes IOBL et son interprétation dans un système d'évaluation de l'état écologique. *Cemagref/MEDA*.

<sup>9</sup> AFNOR. (2005). Détermination de l'indice oligochètes de bioindication lacustre. *NF T 90-391*.

### 3. CONTEXTE GENERAL ET CARACTERISTIQUES DU PLAN D'EAU

La gravière de Vaivre Vesoul se situe à 215 m d'altitude dans le département de Haute-Saône (70), à moins de 3 km au nord-ouest de la ville de Vesoul. Localisée sur le territoire de la commune de Vaivre-et-Montoille, elle est également connue sous le nom de lac de Vaivre. La *Figure 2* positionne le plan d'eau sur un extrait de carte IGN.



concepteurs du projet à écarter cette option d'alimentation<sup>10</sup>. Un chenal équipé d'une vanne de type moine et d'un système sommaire de filtration par un massif de graviers, a été créé entre le plan d'eau et le cours d'eau. Depuis, un merlon en terre a été mis en place dans le canal afin de limiter au mieux les échanges permanents entre les deux masses d'eau. Un barrage mobile a été installé dans la dérivation du Durgeon et une prise d'eau à débit variable permet l'alimentation de la gravière. Au vu des difficultés posées par son remplissage, la côte du plan d'eau est maintenue la plus constante possible. De ce fait, le temps de séjour de l'eau est assez long, de l'ordre de 120 jours.

La *Figure 3* illustre l'environnement de la gravière, cumulant divers usages. Les rives nord et est sont ainsi bordées de prairies plus ou moins humides formant une zone naturelle, qui associées à la gravière, constituent la ZNIEFF 430002355 - plaine de Vesoul-Vaivre. A l'opposé, les terrains bordant les rives sud et ouest sont urbanisées (commune de Vaivre-et-Montoille et zone industrielle) ou aménagés (Espace de Loisirs de Vesoul Vaivre).



Figure 3 – Photographie aérienne sur fond de carte IGN de la gravière de Vaivre Vesoul, ou lac de Vaivre.

A l'ouest, et depuis 1981, une base de voile est établie sur la rive ouest. L'Espace de Loisirs de Vesoul Vaivre, à la pointe est de la gravière, propose différents équipements sportifs, un camping, une aire de camping-cars ainsi que des chalets à louer, une plage, un parc aquatique et une patinoire d'hiver. L'espace de loisir, ainsi que le plan d'eau sont gérés par la

<sup>10</sup> S.O.D.E.V.I.C. (1977). Plan d'eau de Vesoul. Note Complémentaire. 50 p. hors annexes.

communauté d'agglomération de Vesoul. Bien que certaines zones soient protégée, la gravière de Vaivre Vesoul, est un lieu de loisirs et à vocation touristique très fréquenté l'été. Un plan des différentes zones du plan d'eau et de leurs usages est présentée *Figure 4*.



Figure 4 – Plan des aménagements de la gravière de Vaivre Vesoul et des zones soumises à autorisations. (source : [www.vesoul.fr](http://www.vesoul.fr))

Le plan d'eau et son bassin versant se situent en limite de la dépression liasique de Saulx-les-Vesoul, sur des marnes, des schistes et des marno-calcaires du Jurassique inférieur, recouvert d'alluvions du Durgeon. Le site est bordé au sud par les calcaires des plateaux de Haute-Saône. Le climat est de type semi-continental. Il se caractérise par de fortes amplitudes thermiques entre hiver et été, et une influence océanique apportant des précipitations assez importantes en termes de fréquence et d'intensité. La température moyenne annuelle est d'environ 10 °C pour une pluviométrie annuelle de l'ordre de 1000 mm. Avec 300 mm de pluie, l'été 2014 fut la période la plus pluvieuse de l'année passée.

Du fait de sa faible profondeur, de son orientation nord-ouest / sud-est l'exposant aux vents et de l'absence de relief abritant le plan d'eau de ces derniers, l'installation d'une stratification thermique sur la gravière de Vaivre Vesoul n'est pas possible.

Inscrite dans la typologie nationale des masses d'eau comme A13a, c'est-à-dire un plan d'eau obtenu par creusement ou aménagement de digue, de plaine ou de moyenne montagne, vidangé à intervalle régulier (type pisciculture), la gravière s'inscrit principalement au sein de l'hydro-écorégion de rang 1 et «Côtes calcaires Est». La partie sud-ouest du plan d'eau appartient à l'hydro-écorégion «Plaine de Saône». Le *Tableau 1* présente les dates et types d'interventions réalisés au cours du suivi 2014.

*Tableau 1* – Calendrier des interventions sur la gravière de Vaivre Vesoul en 2014.

|               | Physico-chimie |           | Compartiments biologiques |      |
|---------------|----------------|-----------|---------------------------|------|
|               | eau            | sédiments | Phytoplancton             | IOBL |
| C1 06/03/2014 |                |           |                           |      |
| C2 22/05/2014 |                |           |                           |      |
| C3 30/07/2014 |                |           |                           |      |
| C4 10/09/2014 |                |           |                           |      |



Gravière de Vaivre Vesoul le 06/03/14

## 4 PHYSICO-CHIMIE DES EAUX ET DES SEDIMENTS

### 4.1 Physico-chimie des eaux

#### 4.1.1 Profils verticaux

Les profils de mesure physico-chimiques au cours des quatre campagnes de prélèvement sont fournis *Figure 5*. En raison notamment de la faible profondeur de la gravière (2 m), la colonne d'eau ne se stratifie pas. Sa température, de 7 °C à la fin de l'hiver, atteint 22 °C durant la période estivale.

Le pH reste relativement stable et homogène, autour de 8,3 lors des trois premières campagnes. Reflétant la forte activité photosynthétique de la campagne de septembre, il atteint alors 9,7 en surface.

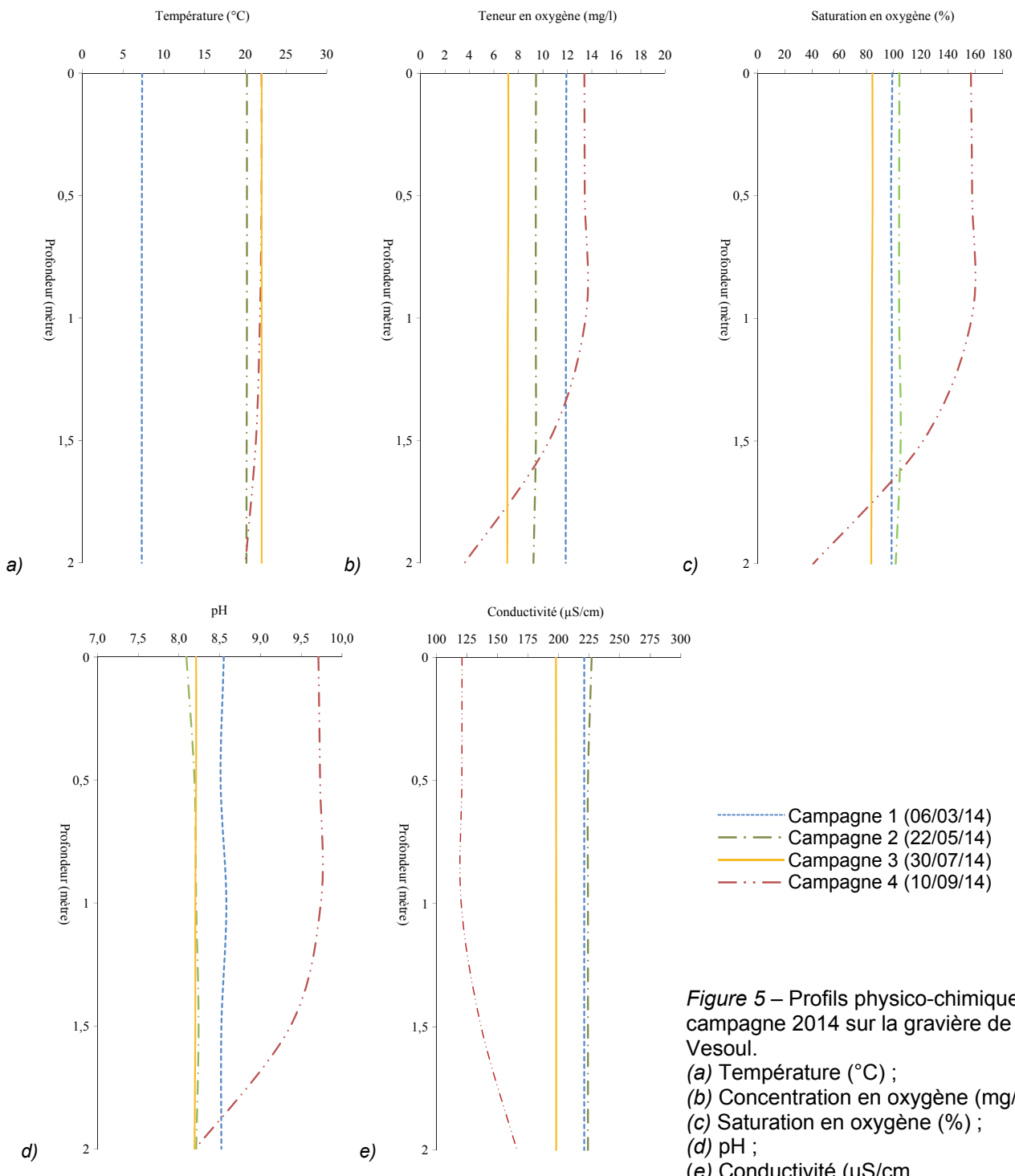
La masse d'eau est bien oxygénée lors des trois premiers relevés, malgré une légère baisse de la saturation (80%) en été, période assez pluvieuse en 2014. L'ensoleillement moindre de cette saison et la baisse de la transparence au sein de la masse d'eau peuvent être les causes d'une baisse de l'activité photosynthétique. En fin de production, la concentration du peuplement phytoplanctonique dans le premier mètre occasionne une sursaturation importante (160%), alors que le fond est sous-saturé (40 %).

La conductivité, relativement stable (autour de 200 µS/cm) et homogène de mars à août 2014 marque une baisse importante dans le premier mètre lors de la campagne 4 (120 µS/cm), à mettre en lien avec le développement planctonique en surface.

#### 4.1.2 Paramètres de minéralisation

Le *Tableau 2* présente les résultats des analyses sur les paramètres de minéralisation mesurés sur l'échantillon intégré. Ces analyses ne concernent que la campagne hivernale.

Influencée par la géologie calcaire de leur bassin versant, les eaux de la gravière de Vaivre Vesoul sont plutôt douces. Bien carbonatées et riches en calcium, elles présentent une dureté moyenne.



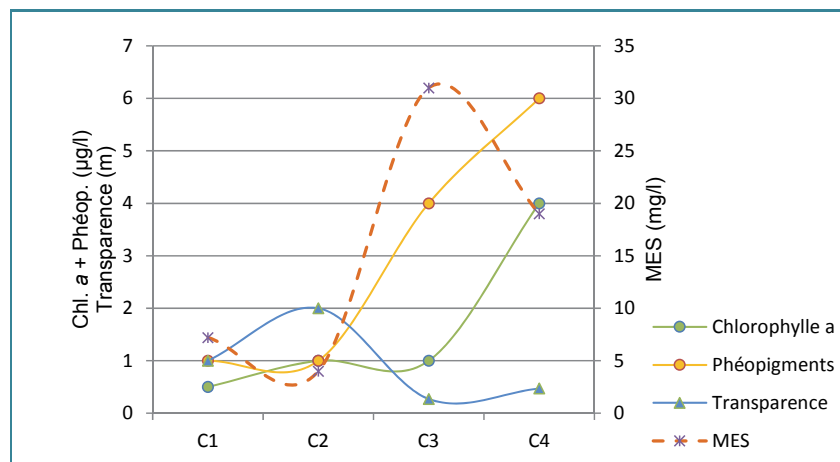
**Figure 5 – Profils physico-chimiques de la campagne 2014 sur la gravière de Vaivre Vesoul.**  
 (a) Température (°C) ;  
 (b) Concentration en oxygène (mg/l) ;  
 (c) Saturation en oxygène (%) ;  
 (d) pH ;  
 (e) Conductivité ( $\mu\text{S/cm}$ ).

**Tableau 2 - Résultats pour les paramètres de minéralisation quantifiés sur le prélèvement intégré de la gravière de Vaivre Vesoul le 06/03/14.**

| Code sandre | Paramètre    | Unité                   | Limite de quantification | C1      |      |
|-------------|--------------|-------------------------|--------------------------|---------|------|
|             |              |                         |                          | Intégré | Fond |
| 1327        | Bicarbonates | mg(HCO <sub>3</sub> )/L | 6,1                      | 127     | -    |
| 1337        | Chlorures    | mg(Cl)/L                | 0,1                      | 3,4     | -    |
| 1338        | Sulfates     | mg(SO <sub>4</sub> )/L  | 0,2                      | 7,8     | -    |
| 1345        | Dureté       | °F                      | 0,5                      | 11,3    | -    |
| 1347        | TAC          | °F                      | 0                        | 10,4    | -    |
| 1367        | Potassium    | mg(K)/L                 | 0,1                      | 0,5     | -    |
| 1372        | Magnésium    | mg(Mg)/L                | 0,05                     | 3,08    | -    |
| 1374        | Calcium      | mg(Ca)/L                | 0,1                      | 40,1    | -    |
| 1375        | Sodium       | mg(Na)/L                | 0,2                      | 2,3     | -    |

#### 4.1.3 Résultats des analyses physico-chimiques des eaux hors micropolluants

Les résultats des analyses dites classiques, pour la gravière de Vaivre Vesoul, sont listés dans le *Tableau 3*. La *Figure 6* présente les évolutions conjointes de la transparence, des concentrations en pigments chlorophylliens et des matières en suspension.



**Figure 6 – Evolution des concentrations en chlorophylle a, phéopigments, matières en suspension (MeS) et transparence au cours des campagnes 2014 sur la gravière de Vaivre Vesoul (concentrations inférieures à leur LQ 1 µg/l – 1 mg/l = 0,5 µg/L – 0,5 mg/l).**

La campagne estivale (C3) est caractérisée par une hausse de la teneur en matières en suspension ([MeS] x8), concomitante avec une pluviométrie marquée. Elle occasionne une transparence très faible (< 0,3 m) et une baisse de l'activité photosynthétique signée par la hausse de la teneur en phéopigments, produits de la dégradation de la chlorophylle a, (x4). La dernière campagne est marquée par un pic de production phytoplanctonique que reflètent les hausses notables des concentrations en pigments chlorophylliens, notamment en chlorophylle a (x4).

**Tableau 3** – Résultats des analyses physico-chimiques (hors micropolluants) pour la gravière de Vaivre Vesoul au cours du suivi 2014.

| Code sandre | Paramètre                             | Unité      | Limite de quantification | C1      |      | C2      |      | C3      |      | C4      |      |
|-------------|---------------------------------------|------------|--------------------------|---------|------|---------|------|---------|------|---------|------|
|             |                                       |            |                          | Intégré | Fond | Intégré | Fond | Intégré | Fond | Intégré | Fond |
| 1436        | Phéopigments                          | µg/L       | 1                        | 1       | -    | 1       | -    | 4       | -    | 6       | -    |
| 1439        | Chlorophylle a                        | µg/L       | 1                        | <LQ     | -    | 1       | -    | 1       | -    | 4       | -    |
| 1332        | Transparence                          | m          | 1                        | 1       | -    | 2       | -    | 0,27    | -    | 0,47    | -    |
| 1295        | Turbidité (Formazine Néphéломétrique) | NFU        | 0,1                      | 3,8     | -    | 6,3     | -    | 32      | 0    | 19      | 0    |
| 1305        | MeS                                   | mg/L       | 1                        | 7,2     | -    | 4       | -    | 31      | 0    | 19      | 0    |
| 1313        | DBO                                   | mg(O2)/L   | 0,5                      | 1,8     | -    | 1,2     | -    | 1,7     | 0    | 2       | 0    |
| 1314        | DCO                                   | mg(O2)/L   | 20                       | <LQ     | -    | <LQ     | -    | <LQ     | 0    | 25      | 0    |
| 1841        | Carbone organique*                    | mg(C)/L    | 0,2                      | 3,3     | -    | 3,5     | -    | 4,5     | 0    | 3,9     | 0    |
| 1342        | Silicates*                            | mg(SiO2)/L | 0,05                     | 0,38    | -    | 0,5     | -    | 1,2     | 0    | 0,3     | 0    |
| 1319        | Azote Kjeldahl                        | mg(N)/L    | 0,5                      | <LQ     | -    | <LQ     | -    | 0,6     | 0    | 0,7     | 0    |
| 1335        | Ammonium*                             | mg(NH4)/L  | 0,01                     | 0,01    | -    | 0,02    | -    | <LQ     | 0    | <LQ     | 0    |
| 1339        | Nitrites*                             | mg(NO2)/L  | 0,01                     | <LQ     | -    | <LQ     | -    | <LQ     | 0    | <LQ     | 0    |
| 1340        | Nitrates*                             | mg(NO3)/L  | 0,5                      | <LQ     | -    | <LQ     | -    | <LQ     | 0    | <LQ     | 0    |
| 1350        | Phosphore total                       | mg(P)/L    | 0,005                    | 0,018   | -    | 0,017   | -    | 0       | 0    | 0,04    | 0    |
| 1433        | Phosphates*                           | mg(PO4)/L  | 0,01                     | <LQ     | -    | 0       | -    | 0,052   | 0    | 0       | 0    |

\* Paramètres analysés sur eau filtrée

La charge organique au sein de la masse d'eau, révélée par la concentration en carbone organique dissous, est moyenne à élevée tout au long du suivi.

L'ensemble des composés azotés et phosphorés sont quantifiés à des valeurs très faibles tout au long du suivi 2014. Nitrites et nitrates présentent même des concentrations inférieures à leurs limites de quantifications. Les campagnes de juillet et septembre montrent une légère augmentation simultanée des teneurs en azote de Kjeldahl et phosphore total alors que les teneurs de leurs formes minérales respectives ( $\text{NH}_4^+$ / $\text{NO}^{3-}$ / $\text{NO}^{2-}$  et  $\text{PO}_4^{3-}$ ) restent très faibles. Ceci peut traduire un apport, peu important, au sein de la masse d'eau, en lien avec le développement estival des activités de loisirs.

#### 4.1.4 Micropolluants minéraux

Le Tableau 4 liste les métaux ayant été quantifiés au moins une fois au cours des quatre campagnes du suivi de la gravière de Vaivre Vesoul. L'ensemble des micropolluants recherchés est présenté en annexe 1.

**Tableau 4** – Résultats d'analyses de métaux sur eau filtrée de la gravière de Vaivre Vesoul au cours du suivi 2014.

| Paramètre | Code sandre | Unité    | Limite de quantification | C1      |      | C2      |      | C3      |      | C4      |      |
|-----------|-------------|----------|--------------------------|---------|------|---------|------|---------|------|---------|------|
|           |             |          |                          | Intégré | Fond | Intégré | Fond | Intégré | Fond | Intégré | Fond |
| Aluminium | 1370        | µg(Al)/L | 2                        | 13      | -    | 23      | -    | 21,2    | -    | 79      | -    |
| Arsenic   | 1369        | µg(As)/L | 0,5                      | 0,6     | -    | 0,7     | -    | 1,4     | -    | 2,7     | -    |
| Baryum    | 1396        | µg(Ba)/L | 0,5                      | 10,8    | -    | 11      | -    | 13,4    | -    | 6,9     | -    |
| Bore      | 1362        | µg(B)/L  | 10                       | 12      | -    | 19      | -    | 16      | -    | 27      | -    |
| Cobalt    | 1379        | µg(Co)/L | 0,05                     | < LQ    | -    | < LQ    | -    | 0,06    | -    | 0,05    | -    |
| Cuivre    | 1392        | µg(Cu)/L | 0,1                      | 0,53    | -    | 0,53    | -    | 0,42    | -    | 0,67    | -    |
| Fer       | 1393        | µg(Fe)/L | 1                        | 4,8     | -    | 7,9     | -    | 5,7     | -    | 42,5    | -    |
| Manganèse | 1394        | µg(Mn)/L | 0,5                      | < LQ    | -    | < LQ    | -    | < LQ    | -    | 1       | -    |
| Molybdène | 1395        | µg(Mo)/L | 1                        | < LQ    | -    | < LQ    | -    | 1,7     | -    | 2,1     | -    |
| Nickel    | 1386        | µg(Ni)/L | 0,5                      | < LQ    | -    | < LQ    | -    | 0,5     | -    | < LQ    | -    |
| Sélénum   | 1385        | µg(Se)/L | 0,1                      | 0,14    | -    | 0,11    | -    | < LQ    | -    | 0,16    | -    |
| Titane    | 1373        | µg(Ti)/L | 0,5                      | < LQ    | -    | < LQ    | -    | 0,5     | -    | 2       | -    |
| Uranium   | 1361        | µg(U)/L  | 0,05                     | 0,36    | -    | 0,42    | -    | 0,4     | -    | 0,4     | -    |
| Vanadium  | 1384        | µg(V)/L  | 0,1                      | 0,24    | -    | 0,3     | -    | 0,8     | -    | 1,84    | -    |
| Zinc      | 1383        | µg(Zn)/L | 1                        | 1,44    | -    | 1,42    | -    | < LQ    | -    | < LQ    | -    |

La plupart des micropolluants minéraux quantifiés l'ont été tout au long du suivi. Bore, Arsenic, Titane, Vanadium, Aluminium et Fer présentent une augmentation marquée de leurs teneurs lors de la dernière campagne. Ces deux derniers métaux ont alors leurs concentrations les plus fortes en septembre, respectivement 79 µg(Al)/l et 42,5 µg(Fe)/l. Durant cette campagne, le fond est sous-saturé en oxygène (40 %), créant des conditions favorables à un potentiel relargage des sédiments.

#### 4.1.5 Micropolluants organiques

Le Tableau 5 présente les micropolluants organiques quantifiés lors d'au moins une campagne dans la gravière de Vaivre Vesoul. La liste de l'ensemble des micropolluants recherchés est présentée en annexe 1.

La campagne printanière se démarque par une absence de micropolluants organiques en concentrations quantifiables, à l'exception du métolachlore, dosé à une valeur qui reste proche de sa limite de quantification.

Le metaldéhyde, substance active de pesticide utilisé comme molluscicide (élimination de mollusques, notamment limaces et escargots).est le micropolluant le plus retrouvé, quantifié entre 0,083 µg/L et 0,097 µg/L dans les prélèvements de C1, C3 et C4. Les autres micropolluants quantifiés se répartissent au sein de 2 groupes en fonction des campagnes :

- métolachlore, DNOC, naphtalène, phénanthrène, méthyl-2-naphtalène et bisphénol-A durant la C1.
- benzo (b) fluoranthrène, benzo (ghi) pérylène et indéno (123c) pyrène, glyphosate, AMPA, clomazone et dimétachlore lors de la C3 et de la C4.

Enfin les fluorures sont quantifiés à des taux plutôt élevés lors de chaque campagne, de 0,2mg(F)/L à 0,3 mg(F)/L. Ces valeurs sont les plus élevées des concentrations en fluorures mesurées dans les échantillons de zone euphotique des plans d'eau suivis en 2015.

*Tableau 5 – Résultats d'analyses des micropolluants organiques sur eau brute de la gravière de Vaivre Vesoul au cours du suivi 2014.*

| Paramètre              | Code sandre | Famille           | Unité   | Limite de quantification | C1      |      | C2      |      | C3      |      | C4      |      |
|------------------------|-------------|-------------------|---------|--------------------------|---------|------|---------|------|---------|------|---------|------|
|                        |             |                   |         |                          | Intégré | Fond | Intégré | Fond | Intégré | Fond | Intégré | Fond |
| AMPA                   | 1907        | Divers            | µg/L    | 0,02                     | < LQ    | -    | < LQ    | -    | < LQ    | -    | 0,021   | -    |
| Benzo (b) Fluoranthène | 1116        | HAP               | µg/L    | 0,0005                   | < LQ    | -    | < LQ    | -    | 0,0012  | -    | < LQ    | -    |
| Benzo (ghi) Pérylène   | 1118        | HAP               | µg/L    | 0,0005                   | < LQ    | -    | < LQ    | -    | 0,0008  | -    | 0,0006  | -    |
| Bisphénol-A            | 2766        | Bisphénols        | µg/L    | 0,05                     | 0,795   | -    | < LQ    | -    | < LQ    | -    | < LQ    | -    |
| Clomazone              | 2017        | Isoxazolidinones  | µg/L    | 0,005                    | < LQ    | -    | < LQ    | -    | < LQ    | -    | 0,008   | -    |
| Diméthachlore          | 2546        | Chlorocétamides   | µg/L    | 0,005                    | < LQ    | -    | < LQ    | -    | < LQ    | -    | 0,009   | -    |
| DNOC                   | 1490        | Phénols           | µg/L    | 0,02                     | 0,03    | -    | < LQ    | -    | < LQ    | -    | < LQ    | -    |
| Fluorures              | 7073        | -                 | mg(F)/L | 0,05                     | 0,19    | -    | 0,22    | -    | 0,29    | -    | 0,3     | -    |
| Glyphosate             | 1506        | Phosphonoglycines | µg/L    | 0,02                     | < LQ    | -    | < LQ    | -    | < LQ    | -    | 0,02    | -    |
| Indéno (123c) Pyrène   | 1204        | HAP               | µg/L    | 0,0005                   | < LQ    | -    | < LQ    | -    | 0,0009  | -    | 0,0005  | -    |
| Métaldéhyde            | 1796        | Cyclo-octanes     | µg/L    | 0,02                     | 0,096   | -    | < LQ    | -    | 0,083   | -    | 0,097   | -    |
| Méthyl-2-Naphtalène    | 1618        | HAP               | µg/L    | 0,005                    | 0,009   | -    | < LQ    | -    | < LQ    | -    | < LQ    | -    |
| Métolachlore           | 1221        | Chloroacetamides  | µg/L    | 0,005                    | < LQ    | -    | 0,006   | -    | < LQ    | -    | < LQ    | -    |
| Naphtalène             | 1517        | HAP               | µg/L    | 0,005                    | 0,016   | -    | < LQ    | -    | < LQ    | -    | < LQ    | -    |
| Phénanthrène           | 1524        | HAP               | µg/L    | 0,005                    | 0,007   | -    | < LQ    | -    | < LQ    | -    | < LQ    | -    |

*Il s'agit d'une présentation des résultats bruts, certaines valeurs pouvant être qualifiées d'incertaines suite à la validation finale des résultats (cas par exemple des valeurs mesurées en BTEX, DEHP, Formaldéhyde, dont une contamination via la chaîne de prélèvement et/ou d'analyse de laboratoire est parfois privilégiée).*

## 4.2 Physico-chimie des sédiments

### 4.2.1 Physico-chimie des sédiments hors micropolluants

Le

*Tableau 6* fournit les éléments de granulométrie et de physico-chimie générale des sédiments.

La fraction minérale des sédiments de la gravière de Vaivre Vesoul est assez fine, composée à 30 % de limons / argiles (< 20 µm) et à 60 % de sables fins (< 200 µm). La part de matière organique est moyenne, 8%. Le taux de phosphore total (1 442 mg/kg) est assez importante tandis que celui de l'azote organique est plutôt faible (2 567 mg/kg).

La concentration en ammonium au sein de l'eau interstitielle, peu élevée, indique un faible potentiel de relargage des sédiments.

**Tableau 6** – Eléments de physico-chimie et granulométrie des sédiments de la gravière de Vaivre Vesoul (10/09/14).

| Fraction                              | Code sandre | Paramètre                                 | Unité       | Limite de quantification | Valeur |
|---------------------------------------|-------------|---|-------------|--------------------------|--------|
| Particule inf. 2 mm                   | 1307        | Matière sèche à 105°C                     | %           | -                        | 38,2   |
| Matière sèche de particules inf. 2 mm | 1841        | Carbone organique                         | mg(C)/kg MS | 1000                     | 19400  |
|                                       | 5539        | Matière Sèche<br>Minérale (M.S.M)         | % MS        | -                        | 92,3   |
|                                       | 5540        | Matière Sèche<br>Organique (M.S.O)        | % MS        | -                        | 8      |
|                                       | 6578        | Perte au feu à 550°C                      | % MS        | -                        | 7,7    |
| Eau intersticielle filtrée            | 1335        | Ammonium                                  | mg(NH4)/L   | 0,5                      | 0,97   |
|                                       | 1433        | Phosphates                                | mg(PO4)/L   | 0,015                    | < LQ   |
| Eau intersticielle brute              | 1350        | Phosphore total                           | mg(P)/L     | 0,1                      | < LQ   |
| Matière sèche de particules inf. 2 mm | 1350        | Phosphore total                           | mg(P)/kg MS | 1                        | 1442   |
|                                       | 1319        | Azote Kjeldahl                            | mg(N)/kg MS | 1000                     | 2567   |
|                                       | 1335        | Ammonium                                  | mg(N)/kg MS | 200                      | < LQ   |
| Matière sèche de particules inf. 2 mm | 6228        | Teneur en fraction<br>inférieure à 20 µm  | %           | -                        | 29,6   |
|                                       | 3054        | Teneur en fraction de<br>20 à 63 µm       | %           | -                        | 27,1   |
|                                       | 7042        | Teneur en fraction de<br>63 à 150 µm      | %           | -                        | 28,6   |
|                                       | 7043        | Teneur en fraction de<br>150 à 200 µm     | %           | -                        | 4,6    |
|                                       | 7044        | Teneur en fraction<br>supérieure à 200 µm | %           | -                        | 10     |

#### 4.2.2 Micropolluants minéraux

Le Tableau 7 présente les métaux quantifiés dans les sédiments de la gravière de Vaivre Vesoul. La liste de l'ensemble des micropolluants recherchés est présentée en annexe 2.

L'arsenic (32,3 mg(As)/kg MS), le chrome (114 mg(Cr)/kg MS) et le nickel (55 mg(Ni)/kg MS sont dosés à des teneurs assez élevées comparativement aux valeurs habituellement rencontrées en plans d'eau sur les bassins Rhône-Méditerranée et Corse.

**Tableau 7 – Micropolluants minéraux quantifiés dans les sédiments de la gravière de Vaivre Vesoul (10/09/14).**

| Paramètre | Code sandre | Unité        | Limite de quantification | Valeur |
|-----------|-------------|--------------|--------------------------|--------|
| Aluminium | 1370        | mg(Al)/kg MS | 10                       | 87690  |
| Antimoine | 1376        | mg(Sb)/kg MS | 0,2                      | 0,9    |
| Argent    | 1368        | mg(Ag)/kg MS | 0,2                      | 0,4    |
| Arsenic   | 1369        | mg(As)/kg MS | 0,2                      | 32,3   |
| Baryum    | 1396        | mg(Ba)/kg MS | 0,4                      | 386    |
| Beryllium | 1377        | mg(Be)/kg MS | 0,2                      | 2,3    |
| Bore      | 1362        | mg(B)/kg MS  | 1                        | 67,8   |
| Cadmium   | 1388        | mg(Cd)/kg MS | 0,2                      | 0,3    |
| Chrome    | 1389        | mg(Cr)/kg MS | 0,2                      | 114    |
| Cobalt    | 1379        | mg(Co)/kg MS | 0,2                      | 17,6   |
| Cuivre    | 1392        | mg(Cu)/kg MS | 0,2                      | 25,5   |
| Etain     | 1380        | mg(Sn)/kg MS | 0,2                      | 3,8    |
| Fer       | 1393        | mg(Fe)/kg MS | 10                       | 51770  |
| Manganèse | 1394        | mg(Mn)/kg MS | 0,4                      | 1092   |
| Mercure   | 1387        | mg(Hg)/kg MS | 0,02                     | 0,09   |
| Molybdène | 1395        | mg(Mo)/kg MS | 0,2                      | 1,1    |
| Nickel    | 1386        | mg(Ni)/kg MS | 0,2                      | 55     |
| Plomb     | 1382        | mg(Pb)/kg MS | 0,2                      | 28,2   |
| Sélénium  | 1385        | mg(Se)/kg MS | 0,2                      | 2,7    |
| Thallium  | 2555        | mg(Tl)/kg MS | 0,2                      | 0,7    |
| Titane    | 1373        | mg(Ti)/kg MS | 1                        | 4606   |
| Uranium   | 1361        | mg(U)/kg MS  | 0,2                      | 2,5    |
| Vanadium  | 1384        | mg(V)/kg MS  | 0,2                      | 141,2  |
| Zinc      | 1383        | mg(Zn)/kg MS | 0,4                      | 115,8  |

#### 4.2.3 Micropolluants organiques

Les neuf micropolluants organiques quantifiés dans les sédiments de la gravière de Vaivre Vesoul, sont présentés *Tableau 8*. Ils appartiennent à la famille des hydrocarbures aromatiques polycycliques (HAP). La liste de l'ensemble des micropolluants recherchés est présentée en annexe 2.

La concentration en HAP quantifiés atteint 463 µg/kg MS, soit une valeur restant relativement faible.

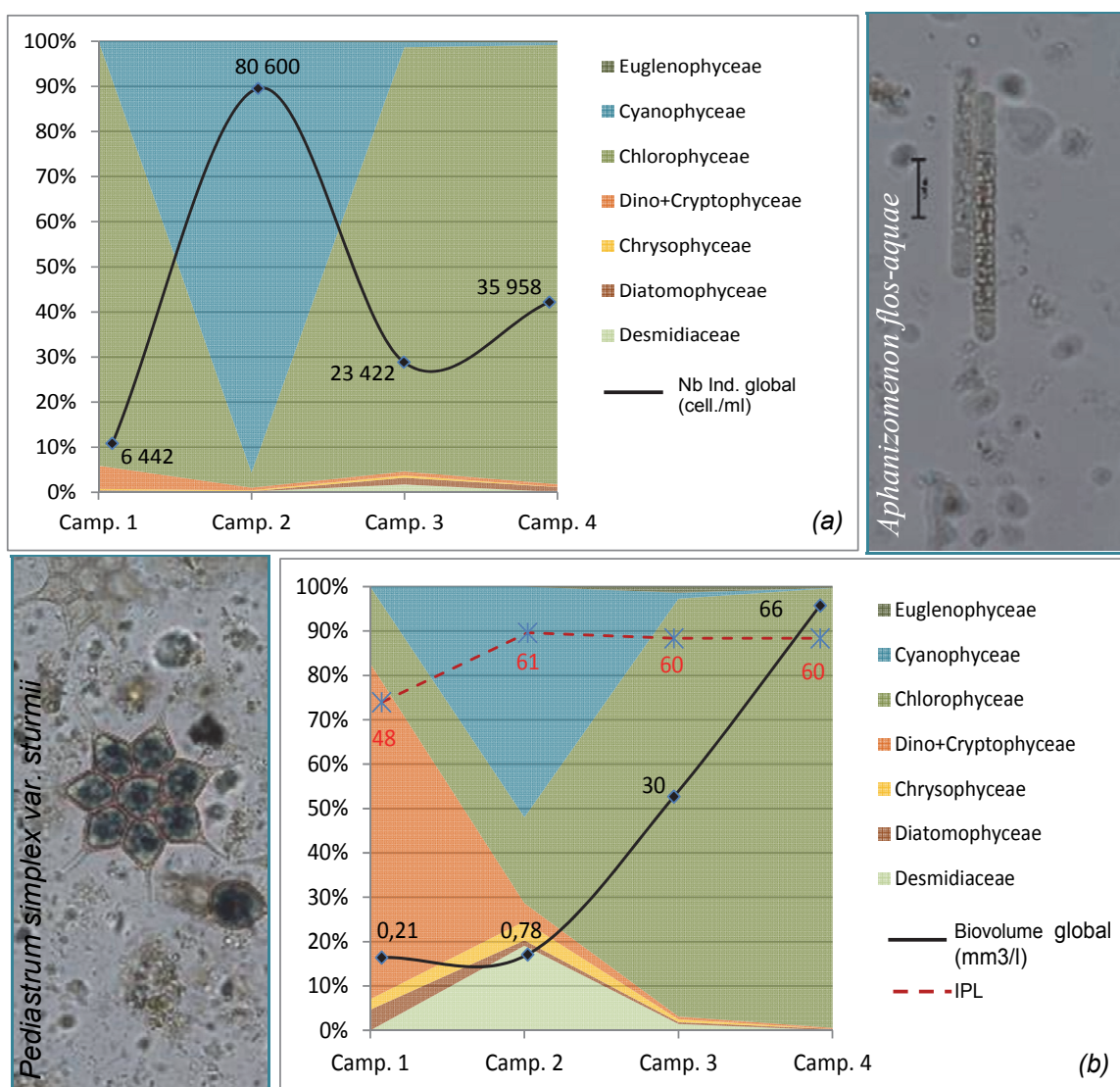
**Tableau 8 – Micropolluants organiques quantifiés dans les sédiments de la gravière de Vaivre Vesoul (10/09/14).**

| Paramètre              | Code sandre | Famille | Unité    | Limite de quantification | Valeur |
|------------------------|-------------|---------|----------|--------------------------|--------|
| Benzo (a) Anthracène   | 1082        | HAP     | µg/kg MS | 10                       | 30     |
| Benzo (a) Pyrène       | 1115        | HAP     | µg/kg MS | 10                       | 53     |
| Benzo (b) Fluoranthène | 1116        | HAP     | µg/kg MS | 10                       | 61     |
| Benzo (ghi) Pérylène   | 1118        | HAP     | µg/kg MS | 10                       | 47     |
| Benzo (k) Fluoranthène | 1117        | HAP     | µg/kg MS | 10                       | 29     |
| Chrysène               | 1476        | HAP     | µg/kg MS | 10                       | 36     |
| Fluoranthène           | 1191        | HAP     | µg/kg MS | 40                       | 94     |
| Indéno (123c) Pyrène   | 1204        | HAP     | µg/kg MS | 10                       | 42     |
| Pyrène                 | 1537        | HAP     | µg/kg MS | 40                       | 71     |

## 5 COMPARTIMENTS BIOLOGIQUES

### 5.1 Phytoplancton

Le phytoplancton a été prélevé au niveau de la zone trophogène au cours des quatre campagnes de prélèvement. La *Figure 7* présente la structure et l'évolution des peuplements phytoplanctoniques échantillonnés lors des quatre campagnes 2014 en termes de concentration et de biovolume algues ainsi que celle de l'IPL calculé sur les biovolumes. Le *Tableau 9* présente la liste taxinomique quantifiée du phytoplancton au cours des quatre campagnes.



*Figure 7 - Evolution de la structure des populations phytoplanctoniques de la gravière de Vaivre Vesoul au cours des 4 saisons de prélèvement 2014 (regroupés en principaux groupes pigmentaires). (a) Evolution en termes de concentration (exprimée en nombre de cellules par ml d'eau) ; (b) Evolution en termes de biovolume algal (exprimé en mm<sup>3</sup>/l) et indice planctonique lacustre (IPL) correspondant calculé sur la base des biovolumes.*

A la sortie de l'hiver, le peuplement est dominé en termes de concentration algale par de petites chlorophycées du genre *Dictyosphaerium*, 91,6 % des individus et 11,4 % du biovolume global. *Cryptomonas erosa*, taxon de grande taille du groupe des dinocryptophycées, en représente près de 57 %. En juillet et septembre, les peuplements sont importants, en nombre d'individus et en biovolume. D'autres chlorophycées, plus grandes, du genre *Pediastrum*, représentent plus de 92 % du biovolume global et de 72 % à 92 %, en septembre, de la concentration totale. Ces deux genres de chlorophycées coloniales non filamenteuses se rencontrent fréquemment dans des masses d'eaux eutrophes, non stratifiées et peu profondes<sup>11</sup>.

Le peuplement printanier présente un important pic de production planctonique, constitué à plus de 91 % de la cyanophycée *Merismopedia tenuissima*. Cette espèce cosmopolite, affectionnant les eaux eutrophes et stagnantes, ne présente pas de risque particulier en termes de toxicité. Une desmidacée de taille importante ressort dans le biovolume global, *Closterium acutum var. variabile*. Elle compte pour 19,1 % du biovolume global et seulement 0,2 % de la concentration totale. Bien que les desmidacées soient, dans leur majorité associées, à des milieux à faible trophie, l'espèce *Closterium acutum* est connue dans les peuplements de plusieurs lacs britanniques eutrophes<sup>12</sup>.

L'**IPL** moyen, calculé sur les trois campagnes de production (C2, C3, C4), est de 60,3/100, caractérisant le milieu d'**eutrophe**. Les notes des campagnes 2, 3 et 4, évoluent entre 60 et 61, celles des deux dernières campagnes reflétant la dominance des chlorophycées dans le biovolume. L'IPL de C2, reflète la part de 41 % d'*Aphanizomenon flos-aquae*, cyanophycée pouvant, dans certaines conditions, présenter un risque de production de neurotoxines, hépatotoxines et/ou saxitoxines. Ces dernières peuvent être à l'origine du syndrome PSP ou intoxication paralysante par les fruits de mer<sup>13</sup>.

<sup>11</sup> Shubert L. E. (2003) Nonmotile coccoid and colonial green algae. In Wehr J. D. & Sheath G. (éd.) Freshwater Algae of North America. Ecology and Classification. Academic Press. 253-309.

<sup>12</sup> Brook A.J. (1982). Desmids of the *Staurastrum Tetrastrurm* group from a eutrophic lake in Mid-Wales. Br. Phycol. J. 17 : 259-274.

<sup>13</sup> Briand P. (2009). Note de l'Agence française de sécurité sanitaire des aliments relative à la situation de contamination des plans d'eau de la base de loisirs de Champs sur Marne par des saxitoxines. Saisine n°2009-S A-0180. AFFSA. 4p.

**Tableau 9** – Liste taxinomique du phytoplancton échantillonné au cours des 4 campagnes 2014 sur la gravière de Vaivre Vesoul. Les individus sont présentés en concentrations (cell./ml).

| Groupes           | Taxons   | Code SANDRE | Campagnes |      |       |       |
|-------------------|--|-------------|-----------|------|-------|-------|
|                   |  |             | C1        | C2   | C3    | C4    |
| BACILLARIOPHYCEAE | Diatomées pennées indét.                       | 20161       | 6         | 16   | 17    | 26    |
|                   | Nitzschia                                      | 9804        |           |      | 35    |       |
|                   | Petite Nitzschia                               | 9804        |           |      | 78    |       |
| CHLOROPHYCEAE     | Ankyra judayi                                  | 5596        |           | 16   |       |       |
|                   | Chlamydomonas                                  | 6016        |           |      |       | 156   |
|                   | Chlamydomonas <10µm                            | 6016        | 2         |      |       |       |
|                   | Chlorophycées coloniales indét.                | 24936       |           |      | 226   |       |
|                   | Chlorophycées flagellées indét. diam 5 - 10 µm | 20154       |           |      | 9     |       |
|                   | Chlorophycées unicellulaires 5 - 10 µm         | 20155       |           | 191  |       |       |
|                   | Chlorophycées unicellulaires 5-10 µm           | 20155       |           |      | 200   | 91    |
|                   | Coelastrum astroideum                          | 5608        |           |      | 35    |       |
|                   | Coelastrum microporum                          | 5610        |           |      | 399   |       |
|                   | Coelastrum polychordum                         | 24480       |           |      | 1978  |       |
|                   | Coelastrum reticulatum                         | 5614        |           |      |       | 313   |
|                   | Coenochloris fottii                            | 5618        |           |      | 69    | 104   |
|                   | Crucigenia tetrapedia                          | 5633        |           | 382  |       |       |
|                   | Crucigeniella apiculata                        | 5635        |           |      | 69    |       |
|                   | Crucigeniella pulchra                          | 9180        |           |      | 69    |       |
|                   | Desmodesmus                                    | 29998       |           |      | 17    | 78    |
|                   | Desmodesmus aculeolatus                        | 37353       |           |      |       | 52    |
|                   | Desmodesmus bicaudatus                         | 37351       |           |      |       | 78    |
|                   | Desmodesmus communis                           | 31933       |           |      |       | 52    |
|                   | Dictyosphaerium (environ 2µm)                  | 5645        | 5901      | 1784 |       |       |
|                   | Elakatothrix gelatinosa                        | 5664        | 15        | 32   |       |       |
|                   | Granulocystopsis coronata                      | 5681        |           |      | 9     |       |
|                   | Kirchneriella obesa                            | 5702        |           |      | 35    |       |
|                   | Monoraphidium arcuatum                         | 5729        |           |      | 9     |       |
|                   | Monoraphidium circinale                        | 5730        |           | 32   | 269   | 39    |
|                   | Monoraphidium minutum                          | 5736        | 11        |      | 26    | 65    |
|                   | Monoraphidium tortile                          | 5741        | 7         | 32   |       | 39    |
|                   | Oocystis                                       | 5752        |           | 48   | 9     | 26    |
|                   | Oocystis borgei                                | 5753        |           |      | 338   |       |
|                   | Oocystis lacustris                             | 5757        | 7         | 127  |       |       |
|                   | Oocystis parva                                 | 5758        |           |      | 260   |       |
| CHRYSORPHYCEAE    | Pediastrum duplex                              | 5772        |           |      | 4893  |       |
|                   | Pediastrum simplex                             | 5777        |           |      | 12249 | 33744 |
|                   | Pediastrum tetras                              | 5780        |           |      |       | 104   |
|                   | Phacotus lenticularis                          | 6048        |           |      | 286   |       |
|                   | Scenedesmus                                    | 1136        |           |      | 17    |       |
|                   | Scenedesmus linearis                           | 25905       |           |      | 69    |       |
|                   | Schroederia                                    | 5864        |           |      | 35    |       |
|                   | Schroederia robusta                            | 5866        |           |      |       | 13    |
|                   | Tetraedron minimum                             | 5888        |           |      | 234   |       |
|                   | Tetraedron minimum var. tetralobulatum         | 20332       |           | 48   |       |       |
| CHRYSOPHYCEAE     | Tetrastrum komarekii                           | 5900        |           |      | 104   | 52    |
|                   | Tetrastrum staurogeniaeforme                   | 5904        |           |      | 35    |       |
|                   | Treubaria setigera                             | 5911        |           |      | 9     |       |
|                   | Bicoeca cylindrica                             | 6105        |           |      | 17    |       |
|                   | Erkenia subaequiciliata                        | 6149        | 6         | 32   | 35    | 13    |
|                   | Kephryion rubri-claustri                       | 6152        |           | 32   |       |       |
|                   | Ochromonas petite taille (<5µm)                | 6158        |           | 16   |       |       |
| -                 | -  | -           | -         | -    | -     | -     |
| -                 | -  | -           | -         | -    | -     | -     |
| -                 | -  | -           | -         | -    | -     | -     |

|                     |                                     |       |       |       |       |     |
|---------------------|-------------------------------------|-------|-------|-------|-------|-----|
|                     |                                     | -     | -     | -     | -     | -   |
|                     |                                     | -     | -     | -     | -     | -   |
|                     |                                     | -     | -     | -     | -     | -   |
| COSCINODISCOPHYCEAE | Aulacoseira                         | 9476  |       | 17    | 156   |     |
|                     | Diatomées centriques indét. > 10 µm | 20160 | 6     | 52    | 143   |     |
|                     | Diatomées centriques (5 µm)         | 31228 | 6     | 16    |       |     |
|                     | Diatomées centriques indét. < 10 µm | 31228 | 11    |       |       |     |
|                     | Diatomées centriques indét. <10 µm  | 31228 |       | 139   | 65    |     |
| CRYPTOPHYCEAE       | Cryptomonas                         | 6269  |       | 104   | 91    |     |
|                     | Cryptomonas erosa                   | 6271  | 104   |       |       |     |
|                     | Cryptomonas marssonii               | 6273  | 20    |       |       |     |
|                     | Plagioselmis nannoplantica          | 9634  | 208   | 462   | 104   | 130 |
| CYANOPHYCEAE        | Anabaena                            | 1101  |       | 208   |       |     |
|                     | Aphanizomenon                       | 1103  |       | 52    | 208   |     |
|                     | Aphanizomenon flos-aquae            | 6291  | 2804  |       |       |     |
|                     | Aphanocapsa delicatissima           | 6308  | 478   |       |       |     |
|                     | Chroococcus                         | 6355  | 32    |       |       |     |
|                     | Merismopedia tenuissima             | 6330  | 73669 |       |       |     |
|                     | Oscillatoriaceae indét.             | 20165 |       | 17    |       |     |
|                     | Pseudanabaena catenata              | 6456  | 96    |       |       |     |
| EUGLENOPHYCEAE      | Euglena limnophila                  | 9738  |       |       | 13    |     |
|                     | Euglena viridis                     | 20138 |       | 9     |       |     |
|                     | Phacus pleuronectes                 | 6513  | 9     |       |       |     |
|                     | Phacus tortus                       | 6521  | 9     |       |       |     |
|                     | Trachelomonas                       | 6527  | 9     |       |       |     |
|                     | Trachelomonas volvocina             | 6544  |       | 39    |       |     |
|                     | Trachelomonas volvocinopsis         | 6545  |       | 39    |       |     |
| FRAGILARIOPHYCEAE   | Fragilaria sp. <100µm               | 9533  | 9     |       |       |     |
| SYNUROPHYCEAE       | Mallomonas                          | 6209  |       | 69    |       |     |
|                     | Mallomonas akrokomos                | 6211  | 15    | 96    |       |     |
| TREBOUXIOPHYCEAE    | Coronastrum ellipsoideum            | 33820 |       | 35    |       |     |
|                     | Didymocystis fina                   | 9193  |       | 35    |       |     |
|                     | Stichococcus bacillaris             | 6004  | 119   |       |       |     |
| XANTHOPHYCEAE       | Goniochloris mutica                 | 6237  |       | 9     | 13    |     |
|                     | Tetraëdriella spinigera             | 6247  |       | 9     |       |     |
| ZYGONEMATOPHYCEAE   | Closterium acutum var. variabile    | 5530  |       | 159   | 399   | 26  |
|                     | Staurastrum                         | 1128  |       | 9     |       |     |
|                     | Total général                       | 6442  | 80600 | 23439 | 35971 |     |

## 5.2 Oligochètes

Les oligochètes des sédiments de la gravière de Vaivre Vesoul ont été prélevés le 22 mai 2014. La *Figure 8* localise sur un fond de carte IGN les points de prélèvement. Le

Tableau 10 donne les listes faunistiques obtenues (le rapport d'analyse est fourni en annexes). L'IOBL s'applique aux lacs naturels d'eau douce et aux retenues dont la profondeur atteint 5 mètres. Il peut toutefois être appliqué aux milieux stagnants peu profonds avec le même protocole de terrain, son interprétation étant alors mis en perspective avec le contexte naturel du plan d'eau étudié<sup>14,15</sup>.

Le point profond a été échantillonné à 2 m de profondeur dans la partie centrale de la gravière. Son peuplement oligochètes, assez nombreux ( $\approx 300$  ind./m $^2$ ) est composé à 99 % de *Tubificinae sans soie capillaire*, forme polluo-résistantes, principalement des individus immatures. Bien que moins dense (84 ind./m $^2$ ), le peuplement du point littoral L2, réalisé près du centre nautique, est très similaire. Le point L1 a été prélevé près du chenal reliant la gravière au Durgeon et est de texture plus sableuse que les autres. Beaucoup moins abondante (19 ind./m $^2$ ), sa population d'oligochètes est également dominée par les *Tubificinae sans soie capillaire*, dont deux espèces ont pu être déterminées, *Limnodrilus claparedeanus* et *L. hoffmeisteri*. Elles sont indicatrices de fortes pollutions quand elles dominent ou lorsqu'elles sont seules dans les sédiments.

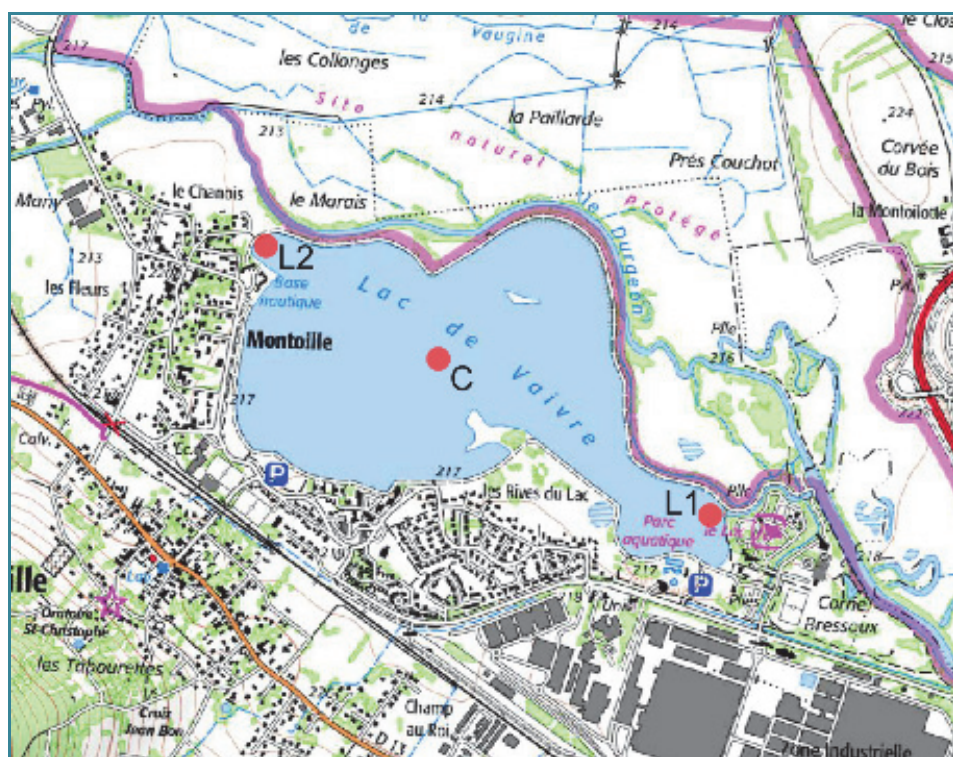


Figure 8 – Carte de localisation des points de prélèvement IOBL. Gravière de Vaivre Vesoul, 22/05/2014. C : point profond, L1 et L2 : points littoraux. Echelle : 1/17 000.

<sup>14</sup> Lafont, M. (2007). Interprétation de l'indice lacustre oligochètes IOBL et son interprétation dans un système d'évaluation de l'état écologique. Cemagref/MEDA.

<sup>15</sup> AFNOR. (2005). Détermination de l'indice oligochètes de bioindication lacustre. NF T 90-391.

La note **IOBL** prenant en compte la densité du peuplement et sa richesse, le point profond présente une meilleure note (10,5) que les points littoraux (6,9 et 6,8). La note global est de 8,7 et décrit des sédiments au **potentiel métabolique moyen**. Les sédiments au point profond ont un meilleur potentiel que les littoraux. En **l'absence d'espèces sensibles**, les sédiments peuvent être décrits comme de **mauvaise qualité<sup>16</sup>**.

---

<sup>16</sup> Lafont M. 2007. Interprétation de l'indice lacustre oligochètes IOBL et son intégration dans un système d'évaluation de l'état écologique. Cemagref/MEDAD. 18 p.

**Tableau 10** – Listes faunistiques et valeurs de l'IOBL pour la gravière de Vaivre Vesoul, le 22/05/2014.  
Les valeurs indiquent une densité pour 0,1 m<sup>2</sup>.

| <b>Gravière de Vaivre Vesoul</b>                                    |   |                      |                      |                 |              |              |
|---|---|----------------------|----------------------|-----------------|--------------|--------------|
| 22/05/2014  |   |                      |                      |                 |              |              |
|   |   |                      | profondeur (m)       | P               | L1           | L2           |
|   | Taxons  | Code                 | Code Sandre          |                 |              |              |
| <b>Naididae</b>   |   |                      |                      |                 |              |              |
| <b>Tubificinae avec soies capillaires sous-total (%)</b>            | <i>Immatures</i><br><i>Branchiura sowerbyi</i>  | TUBC<br>BRSO         | 5231<br>952          | 0<br>3<br>1     | 3<br>0<br>15 | 0<br>0<br>0  |
| <b>Tubificinae sans soie capillaire sous-total (%)</b>              | <i>Immatures</i><br><i>Limnodrilus claparedeanus</i><br><i>Limnodrilus hoffmeisteri</i> | TUSS<br>LICL<br>LIHO | 5230<br>2992<br>2991 | 290<br>12<br>12 | 6<br>4<br>6  | 83<br>0<br>1 |
|   | <b>Densité totale (D) (pour 0,1 m<sup>2</sup>)</b>                                      |                      |                      | <b>317</b>      | <b>19</b>    | <b>84</b>    |
| <b>Calcul IOBL</b>  |   |                      |                      |                 |              |              |
| Nombre d'espèces (S)  |   |                      |                      | 3               | 3            | 1            |
| <b>IOBL = S+3log10(D+1)</b>   |   |                      |                      | <b>10,5</b>     | <b>6,9</b>   | <b>6,8</b>   |
| Pourcentage d'espèces sensibles par point                           |   |                      |                      | 0               | 0            | 0            |
| Pourcentage d'espèces sensibles rapporté à la densité globale du PE |   |                      |                      | 0               | 0            | 0            |
| <b>Indice IOBL Total <sup>(1)</sup></b>                             |   |                      |                      | <b>8,7</b>      |              |              |

\* Espèces sensibles à la pollution dans les sédiments lacustres profonds.

<sup>(1)</sup> : Paramètre non couvert par l'accréditation (non mentionné par la Norme IOBL NF T90-391 (mars 2005)), mais utilisé dans le calcul de l'indice oligochètes IOL de la diagnose rapide des plans d'eau du CEMAGREF version Juillet 2003.

-1 point profond P1 et 1 point en profondeur intermédiaire P2 : IOBL total = 1/2 (IOBL P1 + IOBL P2)

-1 point profond P1 et 2 points en profondeur intermédiaire P2 et P3 : IOBL total = 1/2 IOBL P1 + 1/4 IOBL P2 + 1/4 IOBL P3

## **ANNEXES**

## Annexe 1

### **Liste des micropolluants analysés sur eau**

| Type                       | Code SANDRE                   | Paramètre                | Type                            | Code SANDRE                               | Paramètre |
|----------------------------|-------------------------------|--------------------------|---------------------------------|---|-----------|
| Micropolluants métalliques | Aluminium                     | 1370                     | Micropolluants organiques       | Acéraldehyde                              | 1454      |
| Micropolluants métalliques | Antimoine                     | 1376                     | Micropolluants organiques       | Acetaminipid                              | 5579      |
| Micropolluants métalliques | Arsenic                       | 1368                     | Micropolluants organiques       | Acétochlore                               | 1903      |
| Micropolluants métalliques | Baryum                        | 1369                     | Micropolluants organiques       | Acibenzolar-S-Méthyl                      | 5581      |
| Micropolluants métalliques | Baryllium                     | 1396                     | Micropolluants organiques       | Acide monochloroacétique (NTA)            | 1465      |
| Micropolluants métalliques | Bore                          | 1377                     | Micropolluants organiques       | Acide nitrilotriacétique (NTA)            | 1521      |
| Micropolluants métalliques | Cadmium                       | 1362                     | Micropolluants organiques       | Acide perfluorodecanate sulfonique (PFDS) | 6550      |
| Micropolluants métalliques | Chrome                        | 1388                     | Micropolluants organiques       | Acide perfluoro-decahydroxy (PFDA)        | 6509      |
| Micropolluants métalliques | Cobalt                        | 1389                     | Micropolluants organiques       | Acide perfluoro-dodecanoïque (PFDo)       | 6507      |
| Micropolluants métalliques | Cuivre                        | 1379                     | Micropolluants organiques       | Acide perfluorhexanesulfonique (PFHxS)    | 6530      |
| Micropolluants métalliques | Etain                         | 1392                     | Micropolluants organiques       | Acide perfluoro-n-heptanoïque (PFHhp)     | 5977      |
| Micropolluants métalliques | Fer                           | 1380                     | Micropolluants organiques       | Acide perfluoro-n-hexanoïque (PFHx)       | 5978      |
| Micropolluants métalliques | Manganèse                     | 1393                     | Micropolluants organiques       | Acide perfluoro-n-nonanoïque (PFNa)       | 6508      |
| Micropolluants métalliques | Mercure                       | 1394                     | Micropolluants organiques       | Acide perfluoro-n-undecanoïque (PFU)      | 6510      |
| Micropolluants métalliques | Molybdène                     | 1387                     | Micropolluants organiques       | Acide perfluorooctanesulfonique (PFOS)    | 6560      |
| Micropolluants métalliques | Nickel                        | 1386                     | Micropolluants organiques       | Acide perfluoro-octanoïque (PFOA)         | 5347      |
| Micropolluants métalliques | Piomb                         | 1382                     | Micropolluants organiques       | Acide Perfluorotetradecanoïque (PFTAO)    | 6547      |
| Micropolluants métalliques | Sélénium                      | 1385                     | Micropolluants organiques       | Acifluorfen                               | 1970      |
| Micropolluants métalliques | Tellure                       | 2559                     | Micropolluants organiques       | Aclorifen                                 | 1688      |
| Micropolluants métalliques | Thallium                      | 1375                     | Micropolluants organiques       | Acrithrine                                | 1310      |
| Micropolluants métalliques | Titanium                      | 1373                     | Micropolluants organiques       | Alachlore                                 | 1101      |
| Micropolluants métalliques | Uranium                       | 1361                     | Micropolluants organiques       | Aldicarbe                                 | 1102      |
| Micropolluants métalliques | Vanadium                      | 1384                     | Micropolluants organiques       | Aldicarbe sulfone                         | 1807      |
| Micropolluants métalliques | Zinc                          | 1383                     | Micropolluants organiques       | Aldicarbe sulfoxyde                       | 1806      |
| Micropolluants organiques  |                               | 2934                     | 1-(3-chloro-4-methylphényl)uree | Alléthrine                                | 1697      |
| Micropolluants organiques  | 17alpha-Estradiol             | 5399                     |                                 | Allylycabe                                | 7501      |
| Micropolluants organiques  | 2,4,5-T                       | 1264                     |                                 | alpha-Hexabromocyclododecane              | 6651      |
| Micropolluants organiques  | 2,4 D                         | 1141                     |                                 | Alphaméthrine                             | 1812      |
| Micropolluants organiques  | 2D isopropyl ester            | 2872                     |                                 | Amétrine                                  | 1104      |
| Micropolluants organiques  | 2,4 D methyl ester            | 2873                     |                                 | Amidithion                                | 5697      |
| Micropolluants organiques  | 2,4 DB                        | 1142                     |                                 | Amidosulfuron                             | 2012      |
| Micropolluants organiques  | 2,4 MCPA                      | 1212                     |                                 | Aminocarbe                                | 5523      |
| Micropolluants organiques  | 2,4 MCB                       | 1213                     |                                 | Aminochlorophénol-2,4                     | 2537      |
| Micropolluants organiques  | 2,6 Dichlorobenzamide         | 2011                     |                                 | Aminotriazole                             | 1105      |
| Micropolluants organiques  | 6022                          | 2,4+2,5-dichloroanilines |                                 | Amiprofs-méthyl                           | 7516      |
| Micropolluants organiques  | 2-chloro-4-nitrotoluene       | 2815                     |                                 | Amित्राज़ा                                | 1308      |
| Micropolluants organiques  | 2-Chloro-6-méthylaniline      | 2818                     |                                 | AMFA                                      | 1907      |
| Micropolluants organiques  | 2-hydroxy-deséthyl-Atrazine   | 3159                     |                                 | Anilofos                                  | 6594      |
| Micropolluants organiques  | 2-Naphtol                     | 2815                     |                                 | Anthracène                                | 1458      |
| Micropolluants organiques  | 2-nitrotolue                  | 2613                     |                                 | Anthraquinone                             | 2013      |
| Micropolluants organiques  | 2-tertbutyl                   | 6427                     |                                 | Asulame                                   | 1965      |
| Micropolluants organiques  | 3,4,5-trichloroaniline        | 7019                     |                                 | Atrazine                                  | 1107      |
| Micropolluants organiques  | 3,4,5-triméthanol             | 5665                     |                                 | Atrazine 2 hydroxy                        | 1832      |
| Micropolluants organiques  | 3-Chloro-2-méthylaniline      | 2819                     |                                 | Atrazine déisopropy                       | 1109      |
| Micropolluants organiques  | 3-Chloro-4 méthylaniline      | 2820                     |                                 | Atrazine déséthyl                         | 1108      |
| Micropolluants organiques  | 4-Chloro-N-méthylaniline      | 2823                     |                                 | Azacodazole                               | 1830      |
| Micropolluants organiques  | 4-n-homophénol                | 5474                     |                                 | Azamétriphos                              | 2014      |
| Micropolluants organiques  | 4-nomphénols ramifiés         | 1958                     |                                 | Azinisulfuron                             | 2015      |
| Micropolluants organiques  | 4-tert-butylphénol            | 2610                     |                                 | Aziniphos éthy                            | 2937      |
| Micropolluants organiques  | 4-tert-octylphénol            | 1959                     |                                 | Aziniphos méthyl                          | 1110      |
| Micropolluants organiques  | 5,6,7,8-tetrahydro-2-naphthol | 2863                     |                                 | Azoxystrobine                             | 1951      |
| Micropolluants organiques  | 5-Chloroanisole               | 2822                     |                                 | BDE 181                                   | 6231      |
| Micropolluants organiques  | 6-Chloro-3-méthylaniline      | 2817                     |                                 | BDE 203                                   | 5986      |
| Micropolluants organiques  | Acénaiphénène                 | 1453                     |                                 | BDE 205                                   | 5997      |
| Micropolluants organiques  | Acénaiphénène                 | 1622                     |                                 | BDE 100                                   | 2915      |

| Type                                | Code SANDRE | Paramètre  | Type                      | Code SANDRE | Paramètre                      |
|-------------------------------------|-------------|------------|---------------------------|-------------|--------------------------------|
| Micropolluants organiques           | 2913        | BDE138     | Micropolluants organiques | 1531        | Buturon                        |
| Micropolluants organiques           | 2912        | BDE153     | Micropolluants organiques | 7038        | Butylate                       |
| Micropolluants organiques           | 2911        | BDE154     | Micropolluants organiques | 1855        | Butylbenzène n                 |
| Micropolluants organiques           | 2921        | BDE17      | Micropolluants organiques | 1610        | Butylbenzène sec               |
| Micropolluants organiques           | 2910        | BDE183     | Micropolluants organiques | 1611        | Cadusafos                      |
| Micropolluants organiques           | 2909        | BDE190     | Micropolluants organiques | 1863        | Captafol                       |
| Micropolluants organiques           | 1815        | BDE209     | Micropolluants organiques | 1127        | Captane                        |
| Micropolluants organiques           | 2920        | BDE28      | Micropolluants organiques | 1128        | Carbaryl                       |
| Micropolluants organiques           | 2919        | BDE47      | Micropolluants organiques | 1463        | Carbedazime                    |
| Micropolluants organiques           | 2918        | BDE66      | Micropolluants organiques | 1129        | Carbetamide                    |
| Micropolluants organiques           | 2917        | BDE71      | Micropolluants organiques | 1333        | Carfenazole                    |
| Micropolluants organiques           | 7437        | BDE77      | Micropolluants organiques | 1130        | Carbofuran                     |
| Micropolluants organiques           | 2914        | BDE85      | Micropolluants organiques | 1805        | Carboturan 3 hydroxy           |
| Micropolluants organiques           | 2916        | BDE99      | Micropolluants organiques | 1131        | Carbophénotion                 |
| Micropolluants organiques           | 1687        | Benalaxyli | Micropolluants organiques | 1864        | Carbosulfan                    |
| Benalaxyli-M (cumyluron)            | 6391        |            | Micropolluants organiques | 2975        | Carboxine                      |
| Bendiocarbe                         | 1329        |            | Micropolluants organiques | 2976        | Carfenazole-ethyl              |
| Benfuraline                         | 1112        |            | Micropolluants organiques | 1865        | Chinométhionate                |
| Benfuracarbe                        | 2924        |            | Micropolluants organiques | 7500        | Chlorantraniliprole            |
| Binoxacor                           | 2074        |            | Micropolluants organiques | 1336        | Chlorbutame                    |
| Bensulfuron-metyl                   | 5512        |            | Micropolluants organiques | 7010        | Chlordane alpha                |
| Bensulfide                          | 6595        |            | Micropolluants organiques | 1757        | Chlordane beta                 |
| Bentazone                           | 1113        |            | Micropolluants organiques | 1758        | Chlordane gamma                |
| Benthialvalcarbe-isopropy           | 7460        |            | Micropolluants organiques | 1866        | Chlorécone                     |
| Benthiocarbe                        | 1764        |            | Micropolluants organiques | 5553        | Chlofénazon                    |
| Benzène                             | 1114        |            | Micropolluants organiques | 1464        | Chlorfenvimphos                |
| Benzene, 1-chloro-2-methyl-3-nitro- | 2816        |            | Micropolluants organiques | 2950        | Chlonaflazuron                 |
| Benzidine                           | 1607        |            | Micropolluants organiques | 1133        | Chlondazone                    |
| Benzo (a) Anthracène                | 1082        |            | Micropolluants organiques | 5522        | Chlormuron-ethyl               |
| Benzo (a) Pyrène                    | 1115        |            | Micropolluants organiques | 1134        | Chlormephos                    |
| Benzo (b) Fluoranthène              | 1116        |            | Micropolluants organiques | 5554        | Chlormequat                    |
| Benzo (ghi) Peryène                 | 1118        |            | Micropolluants organiques | 1606        | Chloro-2-p-toluidine           |
| Benzo (k) Fluoranthène              | 1117        |            | Micropolluants organiques | 1955        | Chloracanes C10-C13            |
| Béta cyclathrine                    | 3209        |            | Micropolluants organiques | 1593        | Chlonganine-2                  |
| beta-Hexabromocyclododecane         | 6652        |            | Micropolluants organiques | 1592        | Chlonganine-3                  |
| Bifénox                             | 1119        |            | Micropolluants organiques | 1591        | Chlonganine-4                  |
| Bifenthine                          | 1120        |            | Micropolluants organiques | 1467        | Chlordénone                    |
| Bioresméthrine                      | 1502        |            | Micropolluants organiques | 2016        | Chlorobromuron                 |
| Biphényle                           | 1584        |            | Micropolluants organiques | 1612        | Chlorodinitrobenzène-1,2,4     |
| Bisphénol-A                         | 2766        |            | Micropolluants organiques | 1135        | Chloroforme (Trichlorométhane) |
| Biteranol                           | 1529        |            | Micropolluants organiques | 2821        | Chlorométhylaniline-4,2        |
| Bixafen                             | 7345        |            | Micropolluants organiques | 1635        | Chlorométhylphénol-2,5         |
| Boscalid                            | 5526        |            | Micropolluants organiques | 2759        | Chlorométhylphénol-2,6         |
| Biomacil                            | 1686        |            | Micropolluants organiques | 1634        | Chlorométhylphénol-4,2         |
| Biomadiolone                        | 1859        |            | Micropolluants organiques | 1636        | Chlorométhylphénol-4,3         |
| Biomiforme                          | 1122        |            | Micropolluants organiques | 1603        | Chloronaphthalène-1            |
| Biomophos éthyl                     | 1123        |            | Micropolluants organiques | 1604        | Chloronaphthalène-2            |
| Biomophos méthyl                    | 1124        |            | Micropolluants organiques | 1341        | Chloronède                     |
| Biompropionate                      | 1685        |            | Micropolluants organiques | 1594        | Chlorotriantoline-4,2          |
| Biomoxynil                          | 1125        |            | Micropolluants organiques | 1469        | Chloronitrobenzène-1,2         |
| Biomoxynil octaate                  | 1941        |            | Micropolluants organiques | 1468        | Chloronitrobenzène-1,3         |
| Biomuronazole                       | 1860        |            | Micropolluants organiques | 1470        | Chloronitrobenzène-1,4         |
| Bufenacarbe                         | 7502        |            | Micropolluants organiques | 2814        | Chloronitrotoluène-2,3         |
| Buprimate                           | 1861        |            | Micropolluants organiques | 1605        | Chloronitrotoléne-4,2          |
| Buprofezine                         | 1862        |            | Micropolluants organiques | 1684        | Chlorphacnone                  |
| Butamitos                           | 5710        |            | Micropolluants organiques | 1471        | Chlorophénol-2                 |
| Butilarine                          | 1126        |            | Micropolluants organiques | 1651        | Chlorophénol-3                 |

| Type                      | Code SANDRE | Paramètre                    | Type                             | Code SANDRE | Paramètre                        |
|---------------------------|-------------|------------------------------|----------------------------------|-------------|----------------------------------|
| Micropolluants organiques | 1650        | Chlorophénol-4               | Micropolluants organiques        | 1146        | DDE-p,p'                         |
| Micropolluants organiques | 2611        | Chloropéne                   | Micropolluants organiques        | 1147        | DDT-o,p'                         |
| Micropolluants organiques | 2065        | Chloropropène-3              | Micropolluants organiques        | 1148        | DDT-p,p'                         |
| Micropolluants organiques | 1473        | Chlorothalonil               | DEHP                             | 6616        | DEHP                             |
| Micropolluants organiques | 1602        | Chlorotoluène-2              | Délaméthine                      | 1149        | Délaméthine                      |
| Micropolluants organiques | 1601        | Chlorotoluène-3              | Déméton O + S                    | 1550        | Déméton O + S                    |
| Micropolluants organiques | 1600        | Chlorotoluène-4              | Déséthylterbutylazaine-2-hydroxy | 1153        | Déséthylterbutylazaine-2-hydroxy |
| Micropolluants organiques | 1683        | Chloroxuron                  | Desmediphame                     | 2980        | Desmediphame                     |
| Micropolluants organiques | 1474        | Chloroprophame               | Déméton S méthyl sulfone         | 1154        | Déméton S méthyl sulfone         |
| Micropolluants organiques | 1083        | Chloropyriphos éthyl         | Déméton-O                        | 1150        | Déméton-O                        |
| Micropolluants organiques | 1540        | Chloropyriphos méthyl        | Déméton-S                        | 1152        | Déméton-S                        |
| Micropolluants organiques | 1353        | Chlorsulfuron                | Désoxy-tertbutylazaine-2-hydroxy | 2051        | Désoxy-tertbutylazaine-2-hydroxy |
| Micropolluants organiques | 2966        | Chlothal diméthyl            | Dibromo-chlorméthane             | 1570        | Dibromo-chlorméthane             |
| Micropolluants organiques | 1813        | Chlothiamide                 | Dibromoéthane-1,2                | 1158        | Dibromoéthane-1,2                |
| Micropolluants organiques | 5723        | Chlothiophos                 | Dibromométhane                   | 1498        | Dibromométhane                   |
| Micropolluants organiques | 1136        | Chlortoluron                 | Dibromotéthane                   | 1155        | Dibromotéthane                   |
| Micropolluants organiques | 1579        | Chlore de Benzyle            | DiButylétain oation              | 1156        | DiButylétain oation              |
| Micropolluants organiques | 2977        | CHLORURE DE CHOLINE          | Dicamba                          | 1157        | Dicamba                          |
| Micropolluants organiques | 1753        | Chlorure de vinyl e          | Dichlobénil                      | 1621        | Dichlobénil                      |
| Micropolluants organiques | 1476        | Chrysène                     | Dichloéthenthol                  | 1158        | Dichloéthenthol                  |
| Micropolluants organiques | 5481        | Cinosulfuron                 | Dichlofluanide                   | 1480        | Dichlofluanide                   |
| Micropolluants organiques | 2978        | Clethodim                    | Dichloéthane-1,1                 | 1679        | Dichloéthane-1,1                 |
| Micropolluants organiques | 2095        | Clodinafop-propargyl         | Dichloéthane-1,2                 | 1159        | Dichloéthane-1,2                 |
| Micropolluants organiques | 1868        | Clorentézine                 | Dichloéthane-1,2 cis             | 1360        | Dichloéthane-1,2 cis             |
| Micropolluants organiques | 2017        | Clonazone                    | Dichloéthane-1,2 trans           | 1160        | Dichloéthane-1,2 trans           |
| Micropolluants organiques | 1810        | Clopyralide                  | Dichloroacide                    | 1670        | Dichloroacide                    |
| Micropolluants organiques | 2018        | Cloquintocet mexyl           | Dichloroéthane-1,2               | 1161        | Dichloroéthane-1,2               |
| Micropolluants organiques | 2972        | Coumarène                    | Dichloroéthyène-1,1              | 1162        | Dichloroéthyène-1,1              |
| Micropolluants organiques | 1682        | Coumaphos                    | Dichloroéthyène-1,2              | 1163        | Dichloroéthyène-1,2              |
| Micropolluants organiques | 2019        | Coumatétryal                 | Dichloroéthyène-1,2 cis          | 1456        | Dichloroéthyène-1,2 cis          |
| Micropolluants organiques | 1639        | Crésol-méta                  | Dichloroéthyène-1,2 trans        | 1727        | Dichloroéthyène-1,2 trans        |
| Micropolluants organiques | 1640        | Crésol-ortho                 | Dichlorométhane                  | 2929        | Dichlorométhane                  |
| Micropolluants organiques | 1638        | Crésol-para                  | Dichloroaniline-2,3              | 1580        | Dichloroaniline-2,3              |
| Micropolluants organiques | 5724        | Crotoxyphos                  | Dichloroaniline-2,4              | 1589        | Dichloroaniline-2,4              |
| Micropolluants organiques | 5725        | Cufonate                     | Dichloroaniline-2,5              | 1588        | Dichloroaniline-2,5              |
| Micropolluants organiques | 1137        | Cyanazine                    | Dichloroaniline-2,6              | 1587        | Dichloroaniline-2,6              |
| Micropolluants organiques | 5726        | Cyanafenphos                 | Dichloroaniline-2,3              | 1586        | Dichloroaniline-2,3              |
| Micropolluants organiques | 5568        | Cycloate                     | Dichloroaniline-3,4              | 1585        | Dichloroaniline-3,4              |
| Micropolluants organiques | 2729        | CYCLOXYDIME                  | Dichloroaniline-3,5              | 1165        | Dichloroaniline-3,5              |
| Micropolluants organiques | 1696        | Cycluron                     | Dichlorobenzene-1,2              | 1164        | Dichlorobenzene-1,2              |
| Micropolluants organiques | 1681        | Cyfluthrine                  | Dichlorobenzene-1,3              | 1166        | Dichlorobenzene-1,3              |
| Micropolluants organiques | 5569        | Cyhalotip-butyl              | Dichlorobenzene-1,4              | 1484        | Dichlorobenzene-1,4              |
| Micropolluants organiques | 1138        | Cyhalothrine                 | Dichlorobenzene-2,3              | 1167        | Dichlorobenzene-2,3              |
| Micropolluants organiques | 1139        | Cymoxanil                    | Dichlorobenzene-2,4              | 1168        | Dichlorobenzene-2,4              |
| Micropolluants organiques | 1140        | Cyperméthrine                | Dichlorobenzene-2,5              | 1617        | Dichlorobenzene-2,5              |
| Micropolluants organiques | 1680        | Cyproconazole                | Dichlorobenzene-3,4              | 1616        | Dichlorobenzene-3,4              |
| Micropolluants organiques | 1359        | Cyprodinil                   | Dichlorobenzene-3,5              | 1613        | Dichlorobenzene-3,5              |
| Micropolluants organiques | 2897        | Cyromazine                   | Dichlorophène                    | 2981        | Dichlorophène                    |
| Micropolluants organiques | 7503        | Cythioate                    | Dichlorophénol-2,3               | 1645        | Dichlorophénol-2,3               |
| Micropolluants organiques | 5930        | Daimuron                     | Dichlorophénol-2,4               | 1486        | Dichlorophénol-2,4               |
| Micropolluants organiques | 2094        | Dalapon                      | Dichlorophénol-2,5               | 1649        | Dichlorophénol-2,5               |
| Micropolluants organiques | 1929        | DCPMU (métabolite du Diuron) | Dichlorophénol-2,6               | 1648        | Dichlorophénol-2,6               |
| Micropolluants organiques | 1930        | DCPU (métabolite Diuron)     | DDD-o,p'                         | 1647        | DDD-o,p'                         |
| Micropolluants organiques | 1143        | DDD-o,p'                     | DDD-p,p'                         | 1646        | DDD-p,p'                         |
| Micropolluants organiques | 1144        | DDD-p,p'                     | DDE-o,p'                         |             |                                  |
| Micropolluants organiques | 1145        | DDE-o,p'                     |                                  |             |                                  |

| Type                      | Code SANDRE | Paramètre               |
|---------------------------|-------------|-------------------------|
| Micropolluants organiques | 1719        | Endosulfan beta         |
| Micropolluants organiques | 1742        | Endosulfan sulfate      |
| Micropolluants organiques | 1181        | Endrine                 |
| Micropolluants organiques | 2941        | Endrine aldehyde        |
| Micropolluants organiques | 1494        | Epichlorohydrine        |
| Micropolluants organiques | 1873        | EPN                     |
| Micropolluants organiques | 1744        | Epoxiconazole           |
| Micropolluants organiques | 1182        | EPTC                    |
| Micropolluants organiques | 7504        | Equilin                 |
| Micropolluants organiques | 1809        | Estenvalérate           |
| Micropolluants organiques | 5397        | Estradiol               |
| Micropolluants organiques | 6446        | Estriol                 |
| Micropolluants organiques | 5396        | Estrone                 |
| Micropolluants organiques | 5529        | Ethanesulfuron-methyl   |
| Micropolluants organiques | 2093        | Ethephon                |
| Micropolluants organiques | 1763        | Ethidimuron             |
| Micropolluants organiques | 5528        | Ethiofencarbe sulfone   |
| Micropolluants organiques | 6534        | Ethiofencarbe sulfoxyde |
| Micropolluants organiques | 1183        | Ethion                  |
| Micropolluants organiques | 1874        | Ethiphencarbe           |
| Micropolluants organiques | 1184        | Ethofuméstate           |
| Micropolluants organiques | 1495        | Ethoprophos             |
| Micropolluants organiques | 5527        | Ethoxysulfuron          |
| Micropolluants organiques | 2673        | Ethyl tert-butyl ether  |
| Micropolluants organiques | 1497        | Ethylenbenzène          |
| Micropolluants organiques | 5648        | Ethylène thiouée        |
| Micropolluants organiques | 6601        | Ethylenetriée           |
| Micropolluants organiques | 2629        | Ethynyl estradiol       |
| Micropolluants organiques | 5625        | Etoiazole               |
| Micropolluants organiques | 5760        | Etrifos                 |
| Micropolluants organiques | 2020        | Famoxadone              |
| Micropolluants organiques | 5761        | Famphur                 |
| Micropolluants organiques | 2057        | Féhamidone              |
| Micropolluants organiques | 1185        | Féharnol                |
| Micropolluants organiques | 2742        | Fénazaquin              |
| Micropolluants organiques | 1906        | Ferbuconazole           |
| Micropolluants organiques | 2078        | Fenbutatin oxyde        |
| Micropolluants organiques | 7513        | Fenchlorazole-ethyl     |
| Micropolluants organiques | 1186        | Fenchlorphos            |
| Micropolluants organiques | 2743        | Fenhexamid              |
| Micropolluants organiques | 1187        | Fénitrothion            |
| Micropolluants organiques | 5627        | Fenilon                 |
| Micropolluants organiques | 5763        | Fenobucarb              |
| Micropolluants organiques | 5970        | Fenothiocarbe           |
| Micropolluants organiques | 1973        | Fénoxaprop éthy         |
| Micropolluants organiques | 1967        | Fénoxycarbe             |
| Micropolluants organiques | 1188        | Fenpropahrine           |
| Micropolluants organiques | 1700        | Fenpropidine            |
| Micropolluants organiques | 1189        | Fenpropimorph           |
| Micropolluants organiques | 1190        | Fenthion                |
| Micropolluants organiques | 1500        | Fénuron                 |
| Micropolluants organiques | 1701        | Fenvatrate              |
| Micropolluants organiques | 2009        | Fipronil                |
| Micropolluants organiques | 1840        | Flamprop-isopropyl      |
| Micropolluants organiques | 6539        | Flamprop-méthyl         |
| Micropolluants organiques | 1939        | Ficasulfuron            |
| Micropolluants organiques | 6393        | Flonicamid              |

| Type                      | Code SANDRE | Paramètre                   |
|---------------------------|-------------|-----------------------------|
| Micropolluants organiques | 2081        | Dichloropropane-2,2         |
| Micropolluants organiques | 1834        | Dichloropropylène-1,3 Cis   |
| Micropolluants organiques | 1835        | Dichloropropylène-1,3 Trans |
| Micropolluants organiques | 1169        | Dichloroprop                |
| Micropolluants organiques | 2544        | Dichloroprop-P              |
| Micropolluants organiques | 1170        | Dichlonovos                 |
| Micropolluants organiques | 5349        | Diclofenac                  |
| Micropolluants organiques | 1171        | Diclofop méthyl             |
| Micropolluants organiques | 1172        | Dicofol                     |
| Micropolluants organiques | 5525        | Dicotophos                  |
| Micropolluants organiques | 2847        | Didéméthylisoproturon       |
| Micropolluants organiques | 1173        | Diehdrine                   |
| Micropolluants organiques | 7507        | Dienestrol                  |
| Micropolluants organiques | 1402        | Diéthofencarbe              |
| Micropolluants organiques | 2826        | Diéthylamine                |
| Micropolluants organiques | 2628        | Diéthylstilbestrol          |
| Micropolluants organiques | 2982        | Difenacoum                  |
| Micropolluants organiques | 1905        | Difenoconazole              |
| Micropolluants organiques | 5524        | Difenoxuron                 |
| Micropolluants organiques | 2983        | Diéthihalone                |
| Micropolluants organiques | 1488        | Diflubenzuron               |
| Micropolluants organiques | 1814        | Diflufenicanil              |
| Micropolluants organiques | 1870        | Dimefuron                   |
| Micropolluants organiques | 7142        | Dimepiperate                |
| Micropolluants organiques | 2546        | Diméthachlore               |
| Micropolluants organiques | 5737        | Diméthamétryn               |
| Micropolluants organiques | 1678        | Diméthénamide               |
| Micropolluants organiques | 5617        | Diméthénamid-P              |
| Micropolluants organiques | 1175        | Diméthoate                  |
| Micropolluants organiques | 1403        | Diméthomorphe               |
| Micropolluants organiques | 2773        | Diméthylamine               |
| Micropolluants organiques | 6292        | Diméthylnaniline            |
| Micropolluants organiques | 1641        | Diméthylphénol-2,4          |
| Micropolluants organiques | 6972        | Diméthylvinphos             |
| Micropolluants organiques | 1698        | Dimétian                    |
| Micropolluants organiques | 5748        | dimoxy/strobine             |
| Micropolluants organiques | 1871        | Dinicconazole               |
| Micropolluants organiques | 1578        | Dinitrotoluène-2,4          |
| Micropolluants organiques | 1577        | Dinitrotoluène-2,6          |
| Micropolluants organiques | 5619        | Dinocap                     |
| Micropolluants organiques | 1491        | Dinosobe                    |
| Micropolluants organiques | 1176        | Dinoterbe                   |
| Micropolluants organiques | 7494        | Diocetylétain cation        |
| Micropolluants organiques | 5743        | Dioxacarb                   |
| Micropolluants organiques | 5478        | Diphenylamine               |
| Micropolluants organiques | 7495        | Diphenyletaien cation       |
| Micropolluants organiques | 1699        | Diquat                      |
| Micropolluants organiques | 1492        | Disulfoton                  |
| Micropolluants organiques | 5745        | Dinalimfos                  |
| Micropolluants organiques | 1177        | Duron                       |
| Micropolluants organiques | 1490        | DNOC                        |
| Micropolluants organiques | 3383        | Dodecyl phénol              |
| Micropolluants organiques | 2933        | Dodine                      |
| Micropolluants organiques | 7515        | DPU (Diphenylutéate)        |
| Micropolluants organiques | 5751        | Edifenphos                  |
| Micropolluants organiques | 1493        | EDTA                        |
| Micropolluants organiques | 1178        | Endosulfan alpha            |

| Type                      | Code SANDRE               | Paramètre                    | Type                      | Code SANDRE               | Paramètre                    |
|---------------------------|---------------------------|------------------------------|---------------------------|---------------------------|------------------------------|
| Micropolluants organiques | 2810                      | Florasilam                   | Micropolluants organiques | 6545                      | Fluazifop                    |
| Micropolluants organiques | 1825                      | Fluazifop-butyl              | Micropolluants organiques | 2984                      | Fluazinam                    |
| Micropolluants organiques | 2022                      | Fluioxonil                   | Micropolluants organiques | 1676                      | Flufenoxuron                 |
| Micropolluants organiques | 2023                      | Flumioxazine                 | Micropolluants organiques | 1501                      | Fluometuron                  |
| Micropolluants organiques | 1191                      | Fluoranthène                 | Micropolluants organiques | 1623                      | Fluoréthane                  |
| Micropolluants organiques | 7073                      | Fluorures                    | Micropolluants organiques | 5638                      | Fluoxastrobine               |
| Micropolluants organiques | 2547                      | Fluoxypyrr-méthyl            | Micropolluants organiques | 2024                      | Flurimidoïd                  |
| Micropolluants organiques | 2008                      | Flutamone                    | Micropolluants organiques | 1194                      | Flusilazole                  |
| Micropolluants organiques | 2985                      | Flutolanil                   | Micropolluants organiques | 1503                      | Flutriatol                   |
| Micropolluants organiques | 1192                      | Folpel                       | Micropolluants organiques | 2075                      | Fomesafen                    |
| Micropolluants organiques | 1674                      | Fonofos                      | Micropolluants organiques | 2806                      | Foramsulfuron                |
| Micropolluants organiques | 5969                      | Forchlorfenuron              | Micropolluants organiques | 1702                      | Formaldéhyde                 |
| Micropolluants organiques | 1703                      | Forméthanate                 | Micropolluants organiques | 1504                      | Formothion                   |
| Micropolluants organiques | 1975                      | Fosetyl aluminium            | Micropolluants organiques | 2744                      | Fosthiazate                  |
| Micropolluants organiques | 1908                      | Furalaxy                     | Micropolluants organiques | 2567                      | Furathiocarb                 |
| Micropolluants organiques | 7441                      | Furilazole                   | Micropolluants organiques | 6653                      | gamma-Hexabromocyclododecane |
| Micropolluants organiques | 1526                      | Glufosinate                  | Micropolluants organiques | 2731                      | Glufosinate-ammonium         |
| Micropolluants organiques | 1506                      | Glyphosate                   | Micropolluants organiques | 5508                      | Halosulfuron-méthyl          |
| Micropolluants organiques | 2047                      | Haloxyfop                    | Micropolluants organiques | 1833                      | Haloxyfop-éthoxytérythyl     |
| Micropolluants organiques | 1201                      | HCH alpha                    | Micropolluants organiques | 1201                      | HCH beta                     |
| Micropolluants organiques | 1202                      | HCH delta                    | Micropolluants organiques | 2046                      | HCH epsilon                  |
| Micropolluants organiques | 1203                      | HCH gamma                    | Micropolluants organiques | 2599                      | Heptabromodiphényléther      |
| Micropolluants organiques | 1197                      | Heptachlore                  | Micropolluants organiques | 1748                      | Heptachlore époxide de cis   |
| Micropolluants organiques | 1749                      | Heptachlore époxide de trans | Micropolluants organiques | 1910                      | Heptenophos                  |
| Micropolluants organiques | 2600                      | Hexabromodiphénylether       | Micropolluants organiques | 1199                      | Hexachlorobenzène            |
| Micropolluants organiques | 1652                      | Hexachloroéthane             | Micropolluants organiques | 1656                      | Hexachlorotéthane            |
| Micropolluants organiques | 1214                      | Médroprop                    | Micropolluants organiques | 5789                      | Médrobarm                    |
| Paranétrée                |                           |                              | Type                      |                           |                              |
| 1405                      | Hexaconazole              | Micropolluants organiques    | 1405                      | Hexaconazole              | Paranétrée                   |
| 1873                      | Hexatiumuron              | Micropolluants organiques    | 1873                      | Hexatiumuron              | Type                         |
| 1876                      | Hexazinone                | Micropolluants organiques    | 1876                      | Hexazinone                | Paranétrée                   |
| 1704                      | Imazalil                  | Micropolluants organiques    | 1704                      | Imazalil                  | 1405                         |
| 1695                      | Imazaméthabenz méthyl     | Micropolluants organiques    | 1695                      | Imazaméthabenz méthyl     | 1873                         |
| 1911                      | Imazamox                  | Micropolluants organiques    | 1911                      | Imazamox                  | 1876                         |
| 2886                      | Imazapir                  | Micropolluants organiques    | 2886                      | Imazapir                  | 1704                         |
| 2860                      | IMAZACINE                 | Micropolluants organiques    | 2860                      | IMAZACINE                 | 1695                         |
| 7510                      | Imidiconazole             | Micropolluants organiques    | 7510                      | Imidiconazole             | 1911                         |
| 1877                      | Imidaclopride             | Micropolluants organiques    | 1877                      | Imidaclopride             | 2886                         |
| 1204                      | Indénol (23c) Pyrène      | Micropolluants organiques    | 1204                      | Indénol (23c) Pyrène      | 1695                         |
| 5483                      | Indoxcarbe                | Micropolluants organiques    | 5483                      | Indoxcarbe                | 1911                         |
| 2741                      | Iodcarbe                  | Micropolluants organiques    | 2741                      | Iodcarbe                  | 2860                         |
| 2025                      | Iodophosph                | Micropolluants organiques    | 2025                      | Iodophosph                | 1877                         |
| 2863                      | Iodosulfuron              | Micropolluants organiques    | 2863                      | Iodosulfuron              | 1204                         |
| 1091                      | Isoxynil                  | Micropolluants organiques    | 1091                      | Isoxynil                  | 2741                         |
| 2871                      | Ioxynil methyl ester      | Micropolluants organiques    | 2871                      | Ioxynil methyl ester      | 1695                         |
| 1942                      | Ioxynil octanate          | Micropolluants organiques    | 1942                      | Ioxynil octanate          | 1877                         |
| 7508                      | Iproconazole              | Micropolluants organiques    | 7508                      | Iproconazole              | 2025                         |
| 5777                      | Iprobentos                | Micropolluants organiques    | 5777                      | Iprobentos                | 2863                         |
| 1206                      | Iprodione                 | Micropolluants organiques    | 1206                      | Iprodione                 | 1091                         |
| 2951                      | Iprovalicarbe             | Micropolluants organiques    | 2951                      | Iprovalicarbe             | 1942                         |
| 1935                      | Irgafos                   | Micropolluants organiques    | 1935                      | Irgafos                   | 7508                         |
| 1976                      | Isazofos                  | Micropolluants organiques    | 1976                      | Isazofos                  | 5777                         |
| 1836                      | Isobutylbenzène           | Micropolluants organiques    | 1836                      | Isobutylbenzène           | 1206                         |
| 1207                      | Isodrine                  | Micropolluants organiques    | 1207                      | Isodrine                  | 1942                         |
| 1829                      | Isofenphos                | Micropolluants organiques    | 1829                      | Isofenphos                | 1935                         |
| 5781                      | Isoprocarb                | Micropolluants organiques    | 5781                      | Isoprocarb                | 1836                         |
| 1633                      | Isopropylbenzène          | Micropolluants organiques    | 1633                      | Isopropylbenzène          | 1207                         |
| 2881                      | Isopropyltolène o         | Micropolluants organiques    | 2881                      | Isopropyltolène o         | 1829                         |
| 1856                      | Isopropyltolène p         | Micropolluants organiques    | 1856                      | Isopropyltolène p         | 5781                         |
| 1208                      | Isoproturon               | Micropolluants organiques    | 1208                      | Isoproturon               | 1633                         |
| 2222                      | Isotiochlorate de méthyle | Micropolluants organiques    | 2222                      | Isotiochlorate de méthyle | 1633                         |
| 1672                      | Isoxaben                  | Micropolluants organiques    | 1672                      | Isoxaben                  | 2881                         |
| 2807                      | Isoxadifen éthyle         | Micropolluants organiques    | 2807                      | Isoxadifen éthyle         | 1856                         |
| 1945                      | Isoxatulol                | Micropolluants organiques    | 1945                      | Isoxatulol                | 1672                         |
| 5784                      | Isoxathion                | Micropolluants organiques    | 5784                      | Isoxathion                | 2222                         |
| 7505                      | Karbutilate               | Micropolluants organiques    | 7505                      | Karbutilate               | 1672                         |
| 1950                      | Kresoxim méthyl           | Micropolluants organiques    | 1950                      | Kresoxim méthyl           | 2807                         |
| 1094                      | Lambda Cyhalothrine       | Micropolluants organiques    | 1094                      | Lambda Cyhalothrine       | 1945                         |
| 1406                      | Lénacile                  | Micropolluants organiques    | 1406                      | Lénacile                  | 5784                         |
| 1209                      | Linuron                   | Micropolluants organiques    | 1209                      | Linuron                   | 7505                         |
| 2026                      | Luféuron                  | Micropolluants organiques    | 2026                      | Luféuron                  | 1950                         |
| 1210                      | Malthion-o-analog         | Micropolluants organiques    | 1210                      | Malthion-o-analog         | 1094                         |
| 5787                      | Marcozébe                 | Micropolluants organiques    | 5787                      | Marcozébe                 | 1406                         |
| 1211                      | Mandipropamid             | Micropolluants organiques    | 1211                      | Mandipropamid             | 1209                         |
| 6399                      | Marbébe                   | Micropolluants organiques    | 6399                      | Marbébe                   | 5787                         |
| 1705                      | MCPA-1-butyl ester        | Micropolluants organiques    | 1705                      | MCPA-1-butyl ester        | 1211                         |
| 2745                      | MCPA-2-éthylhexyl ester   | Micropolluants organiques    | 2745                      | MCPA-2-éthylhexyl ester   | 6399                         |
| 2746                      | MCPA-butoxyethyl ester    | Micropolluants organiques    | 2746                      | MCPA-butoxyethyl ester    | 1705                         |
| 2747                      | MCPA-ethyl-ester          | Micropolluants organiques    | 2747                      | MCPA-ethyl-ester          | 2745                         |
| 2748                      | MCPA-methyl-ester         | Micropolluants organiques    | 2748                      | MCPA-methyl-ester         | 2746                         |
| 5789                      | Médrobarm                 | Micropolluants organiques    | 5789                      | Médrobarm                 | 2747                         |

| Type                      | Code SANDRE | Paramètre                |
|---------------------------|-------------|--------------------------|
| Micropolluants organiques | 1517        | Naphthalène              |
| Micropolluants organiques | 1518        | Naphiol-1                |
| Micropolluants organiques | 1519        | Napropamide              |
| Micropolluants organiques | 1937        | Napidame                 |
| Micropolluants organiques | 1520        | Néuron                   |
| Micropolluants organiques | 1882        | Nicosulfuron             |
| Micropolluants organiques | 2614        | Nitrobenzène             |
| Micropolluants organiques | 1229        | Nitroène                 |
| Micropolluants organiques | 1637        | Nitrophénol-2            |
| Micropolluants organiques | 1957        | Nonylphénols             |
| Micropolluants organiques | 1889        | Norfuralon               |
| Micropolluants organiques | 2737        | Norfuralon desméthylique |
| Micropolluants organiques | 1883        | Nurimol                  |
| Micropolluants organiques | 2609        | Octabromodiphényl/ether  |
| Micropolluants organiques | 2904        | Octiphénols              |
| Micropolluants organiques | 2027        | Oflurace                 |
| Micropolluants organiques | 1230        | Ométhazole               |
| Micropolluants organiques | 1668        | Oryzaïn                  |
| Micropolluants organiques | 2068        | Oxadaryl                 |
| Micropolluants organiques | 1667        | Oxadazon                 |
| Micropolluants organiques | 1666        | Oxadixyl                 |
| Micropolluants organiques | 1850        | Oxamyl                   |
| Micropolluants organiques | 5510        | Oxsulfuron               |
| Micropolluants organiques | 1231        | Oxydémeton méthyl        |
| Micropolluants organiques | 1952        | Oxyfluorfène             |
| Micropolluants organiques | 1920        | p-(t-octyl)phénol        |
| Micropolluants organiques | 2545        | Paciobutrazone           |
| Micropolluants organiques | 5806        | Paraoxon                 |
| Micropolluants organiques | 1522        | Paraquat                 |
| Micropolluants organiques | 2618        | para-sec-butyl/phenol    |
| Micropolluants organiques | 1232        | Parathion éthyl          |
| Micropolluants organiques | 1233        | Parathion méthyl         |
| Micropolluants organiques | 1242        | PCB 101                  |
| Micropolluants organiques | 1627        | PCB 105                  |
| Micropolluants organiques | 5433        | PCB 114                  |
| Micropolluants organiques | 1243        | PCB 118                  |
| Micropolluants organiques | 5434        | PCB 123                  |
| Micropolluants organiques | 1245        | PCB 125                  |
| Micropolluants organiques | 2943        | PCB 126                  |
| Micropolluants organiques | 1089        | PCB 128                  |
| Micropolluants organiques | 1884        | PCB 138                  |
| Micropolluants organiques | 1244        | PCB 149                  |
| Micropolluants organiques | 1885        | PCB 153                  |
| Micropolluants organiques | 1245        | PCB 155                  |
| Micropolluants organiques | 2032        | PCB 156                  |
| Micropolluants organiques | 5435        | PCB 157                  |
| Micropolluants organiques | 5436        | PCB 167                  |
| Micropolluants organiques | 1090        | PCB 169                  |
| Micropolluants organiques | 1626        | PCB 170                  |
| Micropolluants organiques | 1246        | PCB 180                  |
| Micropolluants organiques | 5437        | PCB 189                  |
| Micropolluants organiques | 1625        | PCB 194                  |
| Micropolluants organiques | 1624        | PCB 209                  |
| Micropolluants organiques | 1239        | PCB 28                   |
| Micropolluants organiques | 1886        | PCB 31                   |
| Micropolluants organiques | 1240        | PCB 35                   |
| Micropolluants organiques | 2031        | PCB 37                   |
| Micropolluants organiques | 1628        | PCB 44                   |

| Type                      | Code SANDRE | Paramètre                           |
|---------------------------|-------------|-------------------------------------|
| Micropolluants organiques | 2870        | Mecoprop n isochutyl ester          |
| Micropolluants organiques | 2750        | Mecoprop-1-octyl ester              |
| Micropolluants organiques | 2751        | Mecoprop-2,4,4-triméthylphénylestér |
| Micropolluants organiques | 2752        | Mecoprop-2-butylhexylestér          |
| Micropolluants organiques | 2753        | Mecoprop-2-éthylhexylestér          |
| Micropolluants organiques | 2754        | Mecoprop-2-octylestér               |
| Micropolluants organiques | 2755        | Mecoprop-méthyl ester               |
| Micropolluants organiques | 1968        | Ménaçet                             |
| Micropolluants organiques | 2930        | Méfenytridéthyl                     |
| Micropolluants organiques | 2568        | Métilidine                          |
| Micropolluants organiques | 2987        | Méfonoxam                           |
| Micropolluants organiques | 5533        | Mepamipyrim                         |
| Micropolluants organiques | 5791        | Mephosfolan                         |
| Micropolluants organiques | 1969        | Mépiquat                            |
| Micropolluants organiques | 2089        | Mépiquat chlorure                   |
| Micropolluants organiques | 1878        | Mépronil                            |
| Micropolluants organiques | 1510        | Mercaptodiméthyl                    |
| Micropolluants organiques | 1804        | Mercaptodiméthyl sulfoxyde          |
| Micropolluants organiques | 2578        | Messulfuron méthyle                 |
| Micropolluants organiques | 2076        | Mesotifone                          |
| Micropolluants organiques | 6579        | Méta-Para-Cresol                    |
| Micropolluants organiques | 1706        | Métabenzthiazuron                   |
| Micropolluants organiques | 1796        | Méthacrylates                       |
| Micropolluants organiques | 1215        | Méamitrone                          |
| Micropolluants organiques | 1670        | Méazachlore                         |
| Micropolluants organiques | 1879        | Méconazole                          |
| Micropolluants organiques | 1216        | Méhabenzthiazuron                   |
| Micropolluants organiques | 5792        | Méhancritos                         |
| Micropolluants organiques | 1671        | Méhaminidophos                      |
| Micropolluants organiques | 1217        | Méhidaïthion                        |
| Micropolluants organiques | 1218        | Méhomyl                             |
| Micropolluants organiques | 1511        | Méhoxychlore                        |
| Micropolluants organiques | 1619        | Méhyl-2-Fluorathène                 |
| Micropolluants organiques | 1618        | Méhyl-2-Naphthalène                 |
| Micropolluants organiques | 2067        | Métram                              |
| Micropolluants organiques | 1515        | Mébromuron                          |
| Micropolluants organiques | 1221        | Méthachlore                         |
| Micropolluants organiques | 5796        | Métohalogène                        |
| Micropolluants organiques | 1912        | Métosulame                          |
| Micropolluants organiques | 1222        | Métxuron                            |
| Micropolluants organiques | 5654        | Métrafenone                         |
| Micropolluants organiques | 1225        | Méthibuzine                         |
| Micropolluants organiques | 1797        | Métsulfuron méthyl                  |
| Micropolluants organiques | 1227        | Métoxalate                          |
| Micropolluants organiques | 1226        | Mévinphos                           |
| Micropolluants organiques | 7143        | Mexacarbate                         |
| Micropolluants organiques | 1707        | Mollinate                           |
| Micropolluants organiques | 2542        | Monobutylétain cation               |
| Micropolluants organiques | 1880        | Monocrotophos                       |
| Micropolluants organiques | 1227        | Monolinuron                         |
| Micropolluants organiques | 7496        | Monooctylétain cation               |
| Micropolluants organiques | 7497        | Monophenylétain cation              |
| Micropolluants organiques | 1228        | Monuron                             |
| Micropolluants organiques | 7475        | Morpholine                          |
| Micropolluants organiques | 1512        | MTBE                                |
| Micropolluants organiques | 6342        | Musc xylique                        |
| Micropolluants organiques | 1881        | Myclobutanil                        |
| Micropolluants organiques | 1516        | Naled                               |

| Type                      | Code SANDRE                             | Paramètre                             |
|---------------------------|---|---------------------------------------|
| Micropolluants organiques | 1241 PCB 52                             | Proquinazid                           |
| Micropolluants organiques | 2048 PCB 54                             | Prosulfocarbe                         |
| Micropolluants organiques | 5803 PCB 66                             | Prosulfuron                           |
| Micropolluants organiques | 1091 PCB 77                             | Prothioconazole                       |
| Micropolluants organiques | 5432 PCB 81                             | Proximpham                            |
| Micropolluants organiques | 1762 Penconazole                        | Pyrétracine                           |
| Micropolluants organiques | 1887 Pencycuron                         | Pyraclofos                            |
| Micropolluants organiques | 1234 Pendiméthaine                      | Pyralostrobine                        |
| Micropolluants organiques | 6394 Penoxsulam                         | Pyratulen-ethyl                       |
| Micropolluants organiques | 1888 Pentachlorobenzène                 | Pyrazophos                            |
| Micropolluants organiques | 1235 Pentachlorophénol                  | Pyrazosulfuron-ethyl                  |
| Micropolluants organiques | 7509 Penthiodrad                        | Pyrazoxyfen                           |
| Micropolluants organiques | 6548 Perfluorooctanesulfonamide (PFOSA) | Pyréthane                             |
| Micropolluants organiques | 1523 Perméthrine                        | Pyributicarb                          |
| Micropolluants organiques | 1499 Phénamiphos                        | Pyridabéne                            |
| Micropolluants organiques | 1524 Phéranthène                        | Pyridaphenthone                       |
| Micropolluants organiques | 1236 Phennédiphame                      | Pyridate                              |
| Micropolluants organiques | 2876 Phenol, 4-(3-méthylbutyl)-         | Pyrifenoxyfe                          |
| Micropolluants organiques | 5813 Phenothate                         | Pyroxulam                             |
| Micropolluants organiques | 1525 Phorate                            | Pyriméthanol                          |
| Micropolluants organiques | 1237 Phosalone                          | Quinmerac                             |
| Micropolluants organiques | 1971 Phosmet                            | Quinoxifen                            |
| Micropolluants organiques | 1238 Phosphamidon                       | Quintozène                            |
| Micropolluants organiques | 1665 Proxime                            | Quizalofop                            |
| Micropolluants organiques | 1708 Piclorame                          | Quizalop éthyl                        |
| Micropolluants organiques | 5665 Picolinafen                        | Resmethylene                          |
| Micropolluants organiques | 2669 Picoxystrobine                     | Rimsulfuron                           |
| Micropolluants organiques | 1709 Piperonil butoxide                 | Roténone                              |
| Micropolluants organiques | 5819 Pipерophos                         | S. Météobactôle                       |
| Micropolluants organiques | 1528 Priminicarbe                       | Sébutylazine                          |
| Priminicarbe Desmethyl    | 5531 Priminicarbe Fomamido Desmethyl    | Sébutylazine 2-hydroxy                |
| p-Nitrotoluène            | 5532 Priminicarbe Fomamido Desmethyl    | Rimsulfuron                           |
| Pretilachlore             | 5821 Prochlorazé                        | Sebutylazine desethyl                 |
| Prochloraze               | 1949 Procyomidone                       | Sebumeton                             |
| Prochloraze               | 1253 Profénitos                         | Séthoxydine                           |
| Prochloraze               | 1664 Profénitos                         | Siduron                               |
| Propamocarb               | 1889 Promécarde                         | Sébutylazine                          |
| Propamocarb               | 1710 Promiton                           | Silthiopham                           |
| Propamocarb               | 1254 Propargite                         | Silvex                                |
| Propamocarb               | 1712 Propazine                          | Simazine                              |
| Propamocarb               | 6398 Propanil                           | Simazine hydroxy                      |
| Propamocarb               | 1532 Propaphos                          | s-Tiazin-2-ol, 4-amino-6-(éthylamino) |
| Propaphos                 | 6964 Propaphos                          | Styrene                               |
| Propaphos                 | 1972 Propaquazafop                      | Sulcotionne                           |
| Propaphos                 | 1254 Propargite                         | Sulfuramid (EFOSA)                    |
| Propaphos                 | 1256 Propazine                          | Sulfométhuron-méthyl                  |
| Propaphos                 | 5968 Propazine 2-hydroxy                | Sulfosulfuron                         |
| Propaphos                 | 1533 Propétramphos                      | Sulfotep                              |
| Propaphos                 | 1534 Prophepane                         | Sulprofos                             |
| Propaphos                 | 1257 Propiconazole                      | Taiflvalinate                         |
| Propaphos                 | 2989 Propinéate                         | Tébuconazole                          |
| Propaphos                 | 1535 Propokur                           |                                       |
| Propaphos                 | 5602 Propoxycarbazone-sodium            |                                       |
| Propaphos                 | 1837 Propylbenzène                      |                                       |
| Propaphos                 | 6214 Propyle thioure                    |                                       |
| Propaphos                 | 1414 Propyzamide                        |                                       |

| Type                      | Code SANDRE                                | Paramètre |
|---------------------------|--|-----------|
| Micropolluants organiques | 7422 Proquinazid                           |           |
| Micropolluants organiques | 1092 Prosulfocarbe                         |           |
| Micropolluants organiques | 2534 Prosulfuron                           |           |
| Micropolluants organiques | 5603 Prothioconazole                       |           |
| Micropolluants organiques | 7442 Proximpham                            |           |
| Micropolluants organiques | 5416 Pyrétracine                           |           |
| Micropolluants organiques | 6611 Pyraclofos                            |           |
| Micropolluants organiques | 2576 Pyralostrobine                        |           |
| Micropolluants organiques | 5509 Pyratulen-ethyl                       |           |
| Micropolluants organiques | 1258 Pyrazophos                            |           |
| Micropolluants organiques | 6386 Pyrazosulfuron-ethyl                  |           |
| Micropolluants organiques | 6530 Pyrazoxyfen                           |           |
| Micropolluants organiques | 1537 Pyréthane                             |           |
| Micropolluants organiques | 5826 Pyributicarb                          |           |
| Micropolluants organiques | 1880 Pyridabéne                            |           |
| Micropolluants organiques | 5606 Pyridaphenthone                       |           |
| Micropolluants organiques | 1259 Pyridate                              |           |
| Micropolluants organiques | 1663 Pyrifenoxy                            |           |
| Micropolluants organiques | 1432 Pyriméthanol                          |           |
| Micropolluants organiques | 1280 Pyrimiphos éthyl                      |           |
| Micropolluants organiques | 1261 Pyrimiphos méthyl                     |           |
| Micropolluants organiques | 5499 Pyriproxyfene                         |           |
| Micropolluants organiques | 7340 Pyroxulam                             |           |
| Micropolluants organiques | 1891 Quinalphos                            |           |
| Micropolluants organiques | 2087 Quinmerac                             |           |
| Micropolluants organiques | 2028 Quinoxifen                            |           |
| Micropolluants organiques | 1538 Quintozène                            |           |
| Micropolluants organiques | 2069 Quizalofop                            |           |
| Micropolluants organiques | 2070 Quizalop éthyl                        |           |
| Micropolluants organiques | 2859 Resmethylene                          |           |
| Micropolluants organiques | 1892 Rimsulfuron                           |           |
| Micropolluants organiques | 2029 Roténone                              |           |
| Micropolluants organiques | 2974 S. Météobactôle                       |           |
| Micropolluants organiques | 1923 Sébutylazine                          |           |
| Micropolluants organiques | 6101 Sébutylazine 2-hydroxy                |           |
| Micropolluants organiques | 5981 Sebutylazine desethyl                 |           |
| Micropolluants organiques | 1262 Sebumeton                             |           |
| Micropolluants organiques | 1808 Séthoxydine                           |           |
| Micropolluants organiques | 1893 Siduron                               |           |
| Micropolluants organiques | 5609 Silthiopham                           |           |
| Micropolluants organiques | 1539 Silvex                                |           |
| Micropolluants organiques | 1263 Simazine                              |           |
| Micropolluants organiques | 1831 Simazine hydroxy                      |           |
| Micropolluants organiques | 5477 Simétryne                             |           |
| Micropolluants organiques | 5610 Spinosaïd                             |           |
| Micropolluants organiques | 7506 Spiroteramat                          |           |
| Micropolluants organiques | 2664 Spiroxamine                           |           |
| Micropolluants organiques | 3160 s-Tiazin-2-ol, 4-amino-6-(éthylamino) |           |
| Micropolluants organiques | 1541 Styrene                               |           |
| Micropolluants organiques | 1662 Sulcotionne                           |           |
| Micropolluants organiques | 6662 Sulfuramid (EFOSA)                    |           |
| Micropolluants organiques | 5507 Sulfométhuron-méthyl                  |           |
| Micropolluants organiques | 2085 Sulfosulfuron                         |           |
| Micropolluants organiques | 1894 Sulfofip                              |           |
| Micropolluants organiques | 5831 Sulprofos                             |           |
| Micropolluants organiques | 1193 Taiflvalinate                         |           |
| Micropolluants organiques | 1694 Tébuconazole                          |           |

| Type                       | Code SANDRE | Paramètre                      |
|----------------------------|-------------|--------------------------------|
| Micropolluants organiques  | 1895        | Tébuflénozide                  |
| Micropolluants organiques  | 1896        | Tébuflépyrad                   |
| Micropolluants organiques  | 7511        | Tébutiméthos                   |
| Tébutame                   | 1661        | Tébutame                       |
| Tébututhuron               | 1542        | Tébututhuron                   |
| Tenazène                   | 5413        | Tenazène                       |
| Téflubenzuron              | 1897        | Téflubenzuron                  |
| Téfluthrine                | 1953        | Téfluthrine                    |
| Tembotrone                 | 7086        | Tembotrone                     |
| Témephos                   | 1898        | Témephos                       |
| Terbacile                  | 1659        | Terbacile                      |
| Terbicarb                  | 5835        | Terbicarb                      |
| Terbuméton                 | 1266        | Terbuméton                     |
| Terbuphos                  | 1267        | Terbuphos                      |
| Terbutylazine              | 1268        | Terbutylazine                  |
| Terbutylazine déséthyl     | 2045        | Terbutylazine déséthyl         |
| Terbutyne                  | 1954        | Terbutyne                      |
| Tétrabromodiphényl éther   | 1269        | Tétrabromodiphényl éther       |
| Tétrachloréthane-1,1,1,2   | 2601        | Tétrachloréthane-1,1,1,2       |
| Tétrachloréthane-1,1,2,2   | 1936        | Tétrachloréthane-1,1,2,2       |
| Tétrachlorothéthane        | 1270        | Tétrachlorothéthane            |
| Tétrachlorothéthane-1,1,2  | 1271        | Tétrachlorothéthane-1,1,2      |
| Tétrachlorothéthane        | 1272        | Tétrachlorothéthane            |
| Tétrachlorobenzène-1,2,3,4 | 2536        | Tétrachlorobenzène-1,2,3,4     |
| Tétrachlorobenzène-1,2,4,5 | 1631        | Tétrachlorobenzène-1,2,4,5     |
| Tétrachlorophénol-2,3,4,5  | 1273        | Tétrachlorophénol-2,3,4,5      |
| Tétrachlorophénol-2,3,4,6  | 1274        | Tétrachlorophénol-2,3,4,6      |
| Tétrachloreure de C        | 1275        | Tétrachloreure de C            |
| Tétrachlorovinphos         | 1276        | Tétrachlorovinphos             |
| Téraconazole               | 1277        | Téraconazole                   |
| Téradifon                  | 1660        | Téradifon                      |
| Téraphénylétain            | 1900        | Téraphénylétain                |
| Terasulf                   | 5249        | Terasulf                       |
| Thiabendazole              | 5837        | Thiabendazole                  |
| Thiaclorid                 | 1713        | Thiaclorid                     |
| Thiafluanide               | 5671        | Thiafluanide                   |
| Thiamethoxam               | 1940        | Thiamethoxam                   |
| Thiazasulfuron             | 6390        | Thiazasulfuron                 |
| Thidiazuron                | 1714        | Thidiazuron                    |
| Thifensulfuron méthyl      | 5934        | Thifensulfuron méthyl          |
| Thiométon                  | 1913        | Thiométon                      |
| Thionazin                  | 7512        | Thionazin                      |
| Thiodicarbe                | 1093        | Thiodicarbe                    |
| Thiophanate-éthyl          | 1715        | Thiophanate-éthyl              |
| Thiophanate-méthyl         | 1717        | Thiophanate-méthyl             |
| Thifanox sulfone           | 5476        | Thifanox sulfone               |
| Thifanox sulfoxyde         | 5475        | Thifanox sulfoxyde             |
| Thiométon                  | 2071        | Thiométon                      |
| Thiophanate-méthyl         | 5838        | Thiophanate-méthyl             |
| Thiophanate-éthyl          | 7514        | Thiophanate-éthyl              |
| Thiophanate-méthyl         | 1718        | Thiophanate-méthyl             |
| Tiocarbazil                | 5922        | Tiocarbazil                    |
| Tolclofos-méthyl           | 5675        | Tolclofos-méthyl               |
| Toluène                    | 1278        | Toluène                        |
| Tolyméthrine               | 1719        | Tolyméthrine                   |
| Zoxamide                   | 1658        | Zoxamide                       |
| Micropolluants organiques  | 1544        | Triadimenol                    |
| Micropolluants organiques  | 1280        | Trialeate                      |
| Micropolluants organiques  | 1281        | Triasulfuron                   |
| Micropolluants organiques  | 1914        | Triazamate                     |
| Micropolluants organiques  | 1901        | Triazophos                     |
| Micropolluants organiques  | 1657        | Triazophos                     |
| Micropolluants organiques  | 2990        | Triazoxide                     |
| Micropolluants organiques  | 2064        | Tribenuron-Méthyle             |
| Micropolluants organiques  | 5640        | Tributyl phosphorothioïtoïte   |
| Micropolluants organiques  | 2879        | Tributylétain cation           |
| Micropolluants organiques  | 1847        | Tributylphosphatate            |
| Micropolluants organiques  | 1288        | Trichlopyr                     |
| Micropolluants organiques  | 1284        | Trichloréthane-1,1,1           |
| Micropolluants organiques  | 1285        | Trichloréthane-1,1,2           |
| Micropolluants organiques  | 1286        | Trichloréthylène               |
| Micropolluants organiques  | 1287        | Trichloruron                   |
| Micropolluants organiques  | 2734        | Trichloroaniline-2,3,4         |
| Micropolluants organiques  | 7017        | Trichloroaniline-2,3,5         |
| Micropolluants organiques  | 2732        | Trichloroaniline-2,4,5         |
| Micropolluants organiques  | 1955        | Trichloroaniline-2,4,6         |
| Micropolluants organiques  | 1630        | Trichlorobenzene-1,2,3         |
| Micropolluants organiques  | 1283        | Trichlorobenzene-1,2,4         |
| Micropolluants organiques  | 1629        | Trichlorobenzene-1,3,5         |
| Micropolluants organiques  | 1195        | Trichlorodifluorométhane       |
| Micropolluants organiques  | 1644        | Trichlorophénol-2,3,4          |
| Micropolluants organiques  | 1643        | Trichlorophénol-2,3,5          |
| Micropolluants organiques  | 1642        | Trichloropropene-2,3,6         |
| Micropolluants organiques  | 1548        | Trichlorophénol-2,4,5          |
| Micropolluants organiques  | 1549        | Trichlorophénol-2,4,6          |
| Micropolluants organiques  | 1723        | Trichlorophénol-3,4,5          |
| Micropolluants organiques  | 1854        | Trichloropropane-1,2,3         |
| Micropolluants organiques  | 1196        | Trichlorotrifluoroéthane-1,1,2 |
| Micropolluants organiques  | 2898        | Tricyclozaole                  |
| Micropolluants organiques  | 2885        | Tricyclohexylétain cation      |
| Micropolluants organiques  | 1811        | Tridemorphine                  |
| Micropolluants organiques  | 5842        | Trietazine                     |
| Micropolluants organiques  | 6102        | Trietazine 2-hydroxy           |
| Micropolluants organiques  | 5971        | Trietazine désethyl            |
| Micropolluants organiques  | 2678        | Trifl oxy/strobine             |
| Micropolluants organiques  | 1902        | Triflumuron                    |
| Micropolluants organiques  | 1289        | Trifluridine                   |
| Micropolluants organiques  | 2991        | Triflusulfuron-méthyl          |
| Micropolluants organiques  | 1802        | Triforine                      |
| Micropolluants organiques  | 6372        | Triméthylbenzene-1,2,3         |
| Micropolluants organiques  | 1857        | Triméthylbenzene-1,2,4         |
| Micropolluants organiques  | 1609        | Triméthylbenzene-1,3,5         |
| Micropolluants organiques  | 1509        | Trinexapac-éthyl               |
| Micropolluants organiques  | 2096        | Vinclozoline                   |
| Micropolluants organiques  | 2886        | Trioctylétain cation           |
| Micropolluants organiques  | 2992        | Triphenyletian cation          |
| Micropolluants organiques  | 7482        | Triticonazole                  |
| Micropolluants organiques  | 1290        | Vamidothion                    |
| Micropolluants organiques  | 1291        | Vinclozoline                   |
| Micropolluants organiques  | 1293        | Xylène-méta                    |
| Micropolluants organiques  | 1292        | Xylène-ortho                   |
| Micropolluants organiques  | 1294        | Xylène-para                    |
| Micropolluants organiques  | 1721        | Zinèbe                         |
| Micropolluants organiques  | 2858        | Zoxamide                       |

## Annexe 2

### **Liste des micropolluants analysés sur sédiments**

| Type                       | Code SANDRE | Paramètre                              | Type                      | Code SANDRE | Paramètre                |
|----------------------------|-------------|--|---------------------------|-------------|--------------------------|
| Micropolluants métalliques | 5996        | BDE 204                                | Micropolluants organiques | 5997        | BDE 205                  |
| Micropolluants métalliques | 5997        | BDE 100                                | Micropolluants organiques | 2915        | BDE 138                  |
| Micropolluants métalliques | 2913        | BDE 153                                | Micropolluants organiques | 2912        | BDE 154                  |
| Micropolluants métalliques | 2911        | BDE 77                                 | Micropolluants organiques | 2910        | BDE 83                   |
| Micropolluants métalliques | 1815        | BDE 209                                | Micropolluants organiques | 2920        | BDE 28                   |
| Micropolluants métalliques | 2919        | BDE 47                                 | Micropolluants organiques | 7437        | BDE 99                   |
| Micropolluants métalliques | 2916        | Benzène                                | Micropolluants organiques | 1114        | Benzidine                |
| Micropolluants métalliques | 1607        | Benzo (a) Anthracène                   | Micropolluants organiques | 1082        | Benzo (a) Pyrène         |
| Micropolluants métalliques | 1115        | Benzo (b) Fluoranthène                 | Micropolluants organiques | 1116        | Benzo (ghi) Pérylène     |
| Micropolluants métalliques | 1118        | Benzo (k) Fluoranthène                 | Micropolluants organiques | 1117        | Bifénox                  |
| Micropolluants métalliques | 1119        | Biphényle                              | Micropolluants organiques | 1584        | Bromoforme               |
| Micropolluants métalliques | 1122        | Bromoxynil                             | Micropolluants organiques | 1125        | Bromoxynil octanoate     |
| Micropolluants métalliques | 1394        | Chlorfenimphos                         | Micropolluants organiques | 1391        | Chloroformane            |
| Micropolluants métalliques | 1387        | Chlorméphos                            | Micropolluants organiques | 1464        | Chlorobenzène            |
| Micropolluants métalliques | 1395        | Chlorodinitrobenzène-1,2,4             | Micropolluants organiques | 1134        | Chlonalcanes C10-C13     |
| Micropolluants métalliques | 1386        | Chloroforme (Trichlorométhane)         | Micropolluants organiques | 1955        | Chloraniline-2           |
| Micropolluants métalliques | 1382        | Chloraniline-3                         | Micropolluants organiques | 1592        | Chloraniline-4           |
| Micropolluants métalliques | 1385        | Chlorobenzène                          | Micropolluants organiques | 1591        | Chlorobenzène-1,2,4      |
| Micropolluants métalliques | 2559        | Chlorodinitrobenzène-1,2,4             | Micropolluants organiques | 1467        | Chlorofénoxyphénol-2,5   |
| Micropolluants métalliques | 2555        | Chlorofénoxyphénol-4,3                 | Micropolluants organiques | 1612        | Chlorofénoxyphénol-4,4,2 |
| Micropolluants métalliques | 1380        | Chlorotoluidine-4,2                    | Micropolluants organiques | 1612        | Chlorotoluidine-1,2      |
| Micropolluants métalliques | 1393        | Chlorotoluidine-1,3                    | Micropolluants organiques | 1135        | Chlorotoluidine-1,4      |
| Micropolluants métalliques | 1394        | Chlorotoluidine-2,5                    | Micropolluants organiques | 1635        | Chlorotoluidine-3        |
| Micropolluants métalliques | 1387        | Chlorotoluidine-4,3                    | Micropolluants organiques | 1636        | Chlorotoluidine-4,2      |
| Micropolluants métalliques | 1395        | Chlorotoluidine-4,2                    | Micropolluants organiques | 1594        | Chlorotoluidine-4,2      |
| Micropolluants métalliques | 1386        | Chlorotoluidine-1,2                    | Micropolluants organiques | 1469        | Chlorotoluidine-1,2      |
| Micropolluants métalliques | 1382        | Chlorotoluidine-1,3                    | Micropolluants organiques | 1468        | Chlorotoluidine-1,3      |
| Micropolluants métalliques | 1385        | Chlorophénol-2                         | Micropolluants organiques | 1470        | Chlorophénol-2,5         |
| Micropolluants métalliques | 2559        | Chlorophénol-3                         | Micropolluants organiques | 1471        | Chlorophénol-3           |
| Micropolluants métalliques | 2555        | Chlorophénol-4                         | Micropolluants organiques | 1651        | Chlorophénol-4           |
| Micropolluants métalliques | 1373        | Chloroprène                            | Micropolluants organiques | 1650        | Chloroprène              |
| Micropolluants métalliques | 1361        | Chlorotoluidine-2                      | Micropolluants organiques | 2065        | Chlorotoluidine-2        |
| Micropolluants métalliques | 1384        | Chlorotoluidine-3                      | Micropolluants organiques | 1602        | Chlorotoluidine-3        |
| Micropolluants métalliques | 1383        | Chlorotoluidine-4                      | Micropolluants organiques | 1601        | Chlorotoluidine-4        |
| Micropolluants métalliques | 5474        | Chloroprophane                         | Micropolluants organiques | 1474        | Chloroprophane éthyl     |
| Micropolluants organiques  | 1958        | 4-nonylphénols ramifiés                | Micropolluants organiques | 1083        | Chloroprophane méthyl    |
| Micropolluants organiques  | 2610        | 4-tert-butylphénol                     | Micropolluants organiques | 1540        | Chrysène                 |
| Micropolluants organiques  | 1959        | 4-tert-octylphénol                     | Micropolluants organiques | 1476        | Clomazone                |
| Micropolluants organiques  | 1453        | Acéraphténe                            | Micropolluants organiques | 2017        | Crésol-méta              |
| Micropolluants organiques  | 1622        | Acénaphthène                           | Micropolluants organiques | 1600        | Crésol-ortho             |
| Micropolluants organiques  | 1903        | Acétophore                             | Micropolluants organiques | 1639        | Crésol-para              |
| Micropolluants organiques  | 6560        | Acide perfluorooctanesulfonique (PFOS) | Micropolluants organiques | 1640        | Cyperméthrine            |
| Micropolluants organiques  | 1688        | Acoxystrobine                          | Micropolluants organiques | 1638        | Cyproconazole            |
| Micropolluants organiques  | 1103        | Aclorifen                              | Micropolluants organiques | 1140        | Cyperméthrine            |
| Micropolluants organiques  | 1812        | Aldrine                                | Micropolluants organiques | 1680        | Cyperméthrine            |
| Micropolluants organiques  | 1458        | Alphanéthrine                          | Micropolluants organiques | 1680        | Cyperméthrine            |
| Micropolluants organiques  | 1110        | Anthracène                             | Micropolluants organiques | 1680        | Cyperméthrine            |
| Micropolluants organiques  | 1951        | Azinphos éthyl                         | Micropolluants organiques | 1680        | Cyperméthrine            |
| Micropolluants organiques  | 5989        | EDE 196                                | Micropolluants organiques | 1680        | Cyperméthrine            |
| Micropolluants organiques  | 5990        | EDE 197                                | Micropolluants organiques | 1680        | Cyperméthrine            |
| Micropolluants organiques  | 5991        | EDE 198                                | Micropolluants organiques | 1680        | Cyperméthrine            |
| Micropolluants organiques  | 5986        | EDE 203                                | Micropolluants organiques | 1680        | Cyperméthrine            |

| Type                      | Code SANDRE | Paramètre                 |
|---------------------------|-------------|---------------------------|
| Micropolluants organiques | 7495        | Diphényletian cation      |
| Micropolluants organiques | 1178        | Endosulfan alpha          |
| Micropolluants organiques | 1179        | Endosulfan beta           |
| Micropolluants organiques | 11742       | Endosulfan sulfate        |
| Micropolluants organiques | 1181        | Endrine                   |
| Micropolluants organiques | 11744       | Epoxonazole               |
| Micropolluants organiques | 1497        | Ethylbenzène              |
| Micropolluants organiques | 1187        | Fenitothion               |
| Micropolluants organiques | 1367        | Fénoxy carbe              |
| Micropolluants organiques | 2222        | Fludioxonil               |
| Micropolluants organiques | 1191        | Fluoranthène              |
| Micropolluants organiques | 1623        | Fluorène                  |
| Micropolluants organiques | 2547        | Fluroxypyr-méptyl         |
| Micropolluants organiques | 1194        | Flusilazole               |
| Micropolluants organiques | 1200        | HCH alpha                 |
| Micropolluants organiques | 1201        | HCH beta                  |
| Micropolluants organiques | 1202        | HCH delta                 |
| Micropolluants organiques | 2046        | HCH epsilon               |
| Micropolluants organiques | 1203        | HCH gamma                 |
| Micropolluants organiques | 1197        | Heptachlore               |
| Micropolluants organiques | 1148        | Heptachlore époxyde cis   |
| Micropolluants organiques | 11749       | Heptachlore époxyde trans |
| Micropolluants organiques | 1199        | Hexachlorobenzène         |
| Micropolluants organiques | 1652        | Hexachlorbutadiène        |
| Micropolluants organiques | 1656        | Hexachloroéthane          |
| Micropolluants organiques | 1405        | Hexaconazole              |
| Micropolluants organiques | 1204        | Indeno (123c) Pyrène      |
| Micropolluants organiques | 1206        | Ipridione                 |
| Micropolluants organiques | 1395        | Irgardol                  |
| Micropolluants organiques | 1207        | Isodrine                  |
| Micropolluants organiques | 1633        | Isopropylbenzène          |
| Micropolluants organiques | 1850        | Kresoxim méthyl           |
| Micropolluants organiques | 1094        | Lambda Cyhalothrine       |
| Micropolluants organiques | 1209        | Linuron                   |
| Micropolluants organiques | 1619        | Méthyl-2-Fluoranthène     |
| Micropolluants organiques | 1618        | Méthyl-2-Naphthalène      |
| Micropolluants organiques | 2542        | Monobutylétian cation     |
| Micropolluants organiques | 7496        | Monooctylétian cation     |
| Micropolluants organiques | 7497        | Monophényletian cation    |
| Micropolluants organiques | 1517        | Naphthalène               |
| Micropolluants organiques | 1619        | Napropamide               |
| Micropolluants organiques | 1637        | Nitrophénol-2             |
| Micropolluants organiques | 1957        | Nonylphénols              |
| Micropolluants organiques | 1669        | Nonfluorazon              |
| Micropolluants organiques | 1667        | Oxadiazon                 |
| Micropolluants organiques | 1920        | p-(t-octyl)phénol         |
| Micropolluants organiques | 1232        | Parathion éthyl           |
| Micropolluants organiques | 1242        | PCB 101                   |
| Micropolluants organiques | 1627        | PCB 105                   |
| Micropolluants organiques | 5433        | PCB 114                   |
| Micropolluants organiques | 1243        | PCB 118                   |
| Micropolluants organiques | 5434        | PCB 123                   |
| Micropolluants organiques | 1089        | PCB 126                   |
| Micropolluants organiques | 1244        | PCB 138                   |
| Micropolluants organiques | 1245        | PCB 153                   |
| Micropolluants organiques | 2032        | PCB 156                   |
| Micropolluants organiques | 5435        | PCB 157                   |

| Type                             | Code SANDRE | Paramètre | Type                      | Code SANDRE | Paramètre                   |
|----------------------------------|-------------|-----------|---------------------------|-------------|-----------------------------|
| Micropolluants organiques        | 5436        | PCB 167   | Micropolluants organiques | 1642        | Trichlorophénol-2,3,6       |
| Micropolluants organiques        | 1090        | PCB 169   | Micropolluants organiques | 1548        | Trichlorophénol-2,4,5       |
| Micropolluants organiques        | 1626        | PCB 170   | Micropolluants organiques | 1549        | Trichlorophénol-2,4,6       |
| Micropolluants organiques        | 1246        | PCB 180   | Micropolluants organiques | 1723        | Trichlorophénol-3,4,5       |
| Micropolluants organiques        | 5437        | PCB 189   | Micropolluants organiques | 1196        | Trichlorofluoroéthane-1,1,2 |
| Micropolluants organiques        | 1625        | PCB 194   | Micropolluants organiques | 2885        | Tricyclohexylétain cation   |
| Micropolluants organiques        | 1624        | PCB 209   | Micropolluants organiques | 1289        | Trifluraline                |
| Micropolluants organiques        | 1239        | PCB 28    | Micropolluants organiques | 2736        | Trinitrotoluène             |
| Micropolluants organiques        | 1240        | PCB 35    | Micropolluants organiques | 2886        | Trioctyletian cation        |
| Micropolluants organiques        | 1628        | PCB 44    | Micropolluants organiques | 6372        | Triphenyletian cation       |
| Micropolluants organiques        | 1241        | PCB 52    | Micropolluants organiques | 1293        | Xylène-meta                 |
| Micropolluants organiques        | 1091        | PCB 77    | Micropolluants organiques | 1292        | Xylène-ortho                |
| Micropolluants organiques        | 5432        | PCB 81    | Micropolluants organiques | 1294        | Xylène-para                 |
| Pendiméthiline                   | 1234        |           |                           |             |                             |
| Pentachlorobenzène               | 1888        |           |                           |             |                             |
| Phénanthrène                     | 1235        |           |                           |             |                             |
| Phénanthrène                     | 1524        |           |                           |             |                             |
| Phoxime                          | 1665        |           |                           |             |                             |
| Procymidone                      | 1664        |           |                           |             |                             |
| Propyzamide                      | 1414        |           |                           |             |                             |
| Pyryène                          | 1537        |           |                           |             |                             |
| Quinoxifen                       | 2028        |           |                           |             |                             |
| Somme de 3 Hexabromocyclodécanes | 7128        |           |                           |             |                             |
| Sulconazole                      | 1662        |           |                           |             |                             |
| Tébuconazole                     | 1694        |           |                           |             |                             |
| Tébutame                         | 1661        |           |                           |             |                             |
| Terbutylazine                    | 1268        |           |                           |             |                             |
| Terbutyne                        | 1269        |           |                           |             |                             |
| Tetrabutyletian                  | 1936        |           |                           |             |                             |
| Tétrachloréthane-1,1,1,2         | 1270        |           |                           |             |                             |
| Tétrachloréthane-1,1,2,2         | 1271        |           |                           |             |                             |
| Tétrachlorothylène               | 1272        |           |                           |             |                             |
| Tétrachlorobenzène-1,2,3,4       | 2010        |           |                           |             |                             |
| Tétrachlorobenzène-1,2,3,5       | 2536        |           |                           |             |                             |
| Tétrachlorobenzène-1,2,4,5       | 1631        |           |                           |             |                             |
| Tétrachlorophénol-2,3,4,5        | 1273        |           |                           |             |                             |
| Tétrachlorophénol-2,3,4,6        | 1274        |           |                           |             |                             |
| Tétrachlorophénol-2,3,5,6        | 1275        |           |                           |             |                             |
| Tétrachlorure de C               | 1276        |           |                           |             |                             |
| Tétraconazole                    | 1660        |           |                           |             |                             |
| Toluène                          | 1278        |           |                           |             |                             |
| Tributyletian cation             | 2879        |           |                           |             |                             |
| Tributyliophosphate              | 1847        |           |                           |             |                             |
| Trichlopyr                       | 1288        |           |                           |             |                             |
| Trichloréthane-1,1,1             | 1284        |           |                           |             |                             |
| Trichlotéthane-1,1,2             | 1285        |           |                           |             |                             |
| Trichloréthylène                 | 1286        |           |                           |             |                             |
| Trichloroaniline-2,3,4           | 2734        |           |                           |             |                             |
| Trichloroaniline-2,3,5           | 7017        |           |                           |             |                             |
| Trichlorofluorométhane           | 2732        |           |                           |             |                             |
| Trichloroaniline-2,4,5           | 1595        |           |                           |             |                             |
| Trichlorobenzène-1,2,3           | 1630        |           |                           |             |                             |
| Trichlorobenzène-1,2,4           | 1283        |           |                           |             |                             |
| Trichlorobenzène-1,3,5           | 1629        |           |                           |             |                             |
| Trichlorofluorométhane           | 1195        |           |                           |             |                             |
| Trichlorophénol-2,3,4            | 1644        |           |                           |             |                             |
|                                  | 1643        |           |                           |             |                             |

## Annexe 3

### **Comptes rendus des campagnes de prélèvements physico-chimiques et phytoplanctoniques**

*Relevé phytoplanctonique en plan d'eau*  
DONNEES GENERALES PLAN D'EAU - STATION

v.3.3.1

Septembre 2009

|                         |                                  |                |            |
|-------------------------|----------------------------------|----------------|------------|
| Plan d'eau :            | Gravière de Vaivre Vesoul        | Date :         | 06/03/2014 |
| Nom station :           | Point profond                    | Code station : | U0535003   |
| Organisme / opérateur : | GREBE/ F. Bourgeot - B. Touchart | Réf. dossier : | AERMC PE   |

| LOCALISATION PLAN D'EAU |                             |                                |                      |
|-------------------------|-----------------------------|--------------------------------|----------------------|
| Commune :               | Vivre et Montoille (70)     |                                |                      |
| Plan d'eau marnant :    | non                         | Superficie du bassin versant : | 480 km <sup>2</sup>  |
| HER :                   | Jura - Préalpes du Nord (5) | Superficie du plan d'eau :     | 0,86 km <sup>2</sup> |
| Profondeur maximale :   | 2,2 m                       | Profondeur moyenne :           | m                    |
| Carte :                 | (extrait IGN 1/25 000 ème)  |                                |                      |
|                         |                             |                                |                      |

| LOCALISATION STATION             |  |             |                     |
|----------------------------------|--|-------------|---------------------|
| Coordonnées du point :           | relevées sur :   | GPS         |                     |
| Lambert 93 (système français) :  | (en m)   | X<br>933895 | Y<br>6730796        |
| WGS 84 (système international) : | données GPS (en dms)   | N           | Altitude (m)<br>224 |
| Profondeur :                     | 2,2  | m           |                     |
| Photos du site :                 |  |             |                     |
| Remarques et observations :      | <p>Profondeur = Profondeur maximale mesurée le jour du prélèvement.</p> <p>Photo 1 : Vue depuis le point de prélèvement vers la berge Sud.<br/>     Photo 2 : Vue depuis le point de prélèvement vers la mise à l'eau (Ouest).</p> |             |                     |

## Relevé phytoplanctonique en plan d'eau

v.3.3.2

## DONNEES GENERALES CAMPAGNE

juin 2012

|                               |   |                |                   |
|-------------------------------|---|----------------|-------------------|
| Plan d'eau :                  | <b>Gravière de Vaivre Vesoul</b>        | Date :         | <b>06/03/2014</b> |
| Station ou n° d'échantillon : | <b>Point profond</b>                    | Code lac :     | <b>U0535003</b>   |
| Organisme / opérateur :       | <b>GREBE/ F. Bourgeot - B. Touchart</b> | Réf. dossier : | <b>AERMC PE</b>   |

**STATION**

| Coordonnées de la station      | relevées sur :   | GPS  |                     |                                |
|--------------------------------|--|--|---------------------|--------------------------------|
| Lambert 93 (système français)  | (en m)   | X<br><b>933895</b>   | Y<br><b>6730796</b> | Altitude (m) :<br><b>224,0</b> |
| WGS 84 (système international) | données GPS (en dms)   | N  |                     | Altitude (m) :                 |
| Profondeur (m) :               | <b>2,2</b>   |  |                     |                                |
| Conditions d'observation :     | Instensité du vent : <b>nul</b><br>météo : <b>temps sec ens soleillé</b><br>Surface de l'eau : <b>lisse</b><br>Hauteur des vagues : <b>m</b><br>Bloom algal : <b>non</b> |  |                     |                                |
| Marnage :                      | non  | niveau des eaux par rapport à la végétation de ceinture (pour les plans d'eau marrant) : |                     | m                              |
| Remarques :                    |  |  |                     |                                |

**PRELEVEMENTS**

| Heure début de relevé :   | <b>8:50</b>   | Heure de fin de relevé :   | <b>10:00</b>  |
|---------------------------|---|--|---|
| Prélèvements réalisés :   | <input checked="" type="checkbox"/> phytoplancton<br><input checked="" type="checkbox"/> chlorophylle<br><input checked="" type="checkbox"/> eau<br><br><input type="checkbox"/> sédiment<br><input type="checkbox"/> macrophytes<br><input type="checkbox"/> oligochètes<br><input type="checkbox"/> autres, préciser :  | Matériel employé :<br><br>Volume filtré pour la chlorophylle (ml) :<br><br>Volume de Lugol ajouté pour le phytoplancton (ml) : | <input type="checkbox"/> bouteille intégratrice<br><input checked="" type="checkbox"/> bouteille Van Dorn<br><input type="checkbox"/> pompe<br><br><b>830</b><br><br><b>4</b> |
| Remarques, observations : | Surface de l'eau : lisse, hauteur des vagues : 0 m.<br>Dépot des échantillons d'eau au transporteur à 13:50.<br><br>Zeu (2,5 m) > Zmax (2,2 m) => prélèvement de la zone euphotique réalisé de 0 à 2 m.<br><br>Prélèvement intégré phytoplancton réalisé à la bouteille bouteille verticale type Van Dorn.<br>Prélèvement physico-chimie et micropolluants réalisés à la bouteille verticale type Van Dorn (Echantillonnage ponctuel continu sur 2,0 m).<br><br>Température de l'air : 3°C. |  |   |

## *Relevé phytoplanctonique en plan d'eau*

v.3.3.2

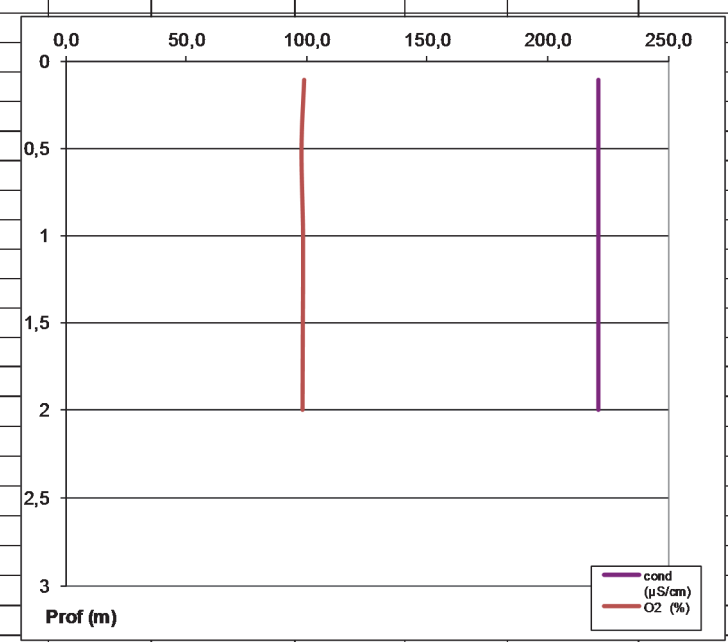
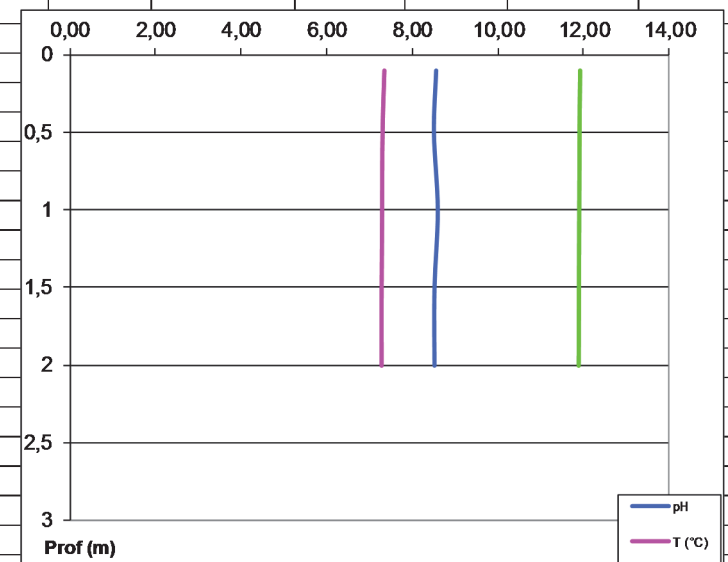
## DONNEES PHYSICO-CHIMIQUES

*juin 2012*

|                               |                                   |                |            |
|-------------------------------|-----------------------------------|----------------|------------|
| Plan d'eau :                  | Gravière de Vaire Vesoul          | Date :         | 06/03/2014 |
| Station ou n° d'échantillon : | Point profond                     | Code lac :     | U0535003   |
| Organisme / opérateur :       | GREBE / F. Bourgeot - B. Touchart | Réf. dossier : | AERMC PE   |

| TRANSPARENCE | Secchi en m : | 1 | Zone euphotique (2,5 x Secchi)<br>en m : | 2,5 |
|--------------|---------------|---|--|-----|
|--------------|---------------|---|--|-----|

## PROFIL VERTICAL



*Relevé phytoplanctonique en plan d'eau*  
DONNEES GENERALES PLAN D'EAU - STATION

v.3.3.1

Septembre 2009

|                         |                                       |                |                   |
|-------------------------|---------------------------------------|----------------|-------------------|
| Plan d'eau :            | <b>Gravière de Vaivre Vesoul</b>      | Date :         | <b>22/05/2014</b> |
| Nom station :           | <b>Point profond</b>                  | Code station : | <b>U0535003</b>   |
| Organisme / opérateur : | <b>GREBE/ F. Bourgeot - A. Delvoy</b> | Réf. dossier : | <b>AERMC PE</b>   |

| LOCALISATION PLAN D'EAU |                                 |                                |                            |
|-------------------------|---------------------------------|--------------------------------|----------------------------|
| Commune :               | <b>Vaivre et Montoille (70)</b> |                                |                            |
| Plan d'eau marnant :    | non                             | Superficie du bassin versant : | <b>480 km<sup>2</sup></b>  |
| HER :                   | Jura - Préalpes du Nord (5)     | Superficie du plan d'eau :     | <b>0,86 km<sup>2</sup></b> |
| Profondeur maximale :   | <b>2,2 m</b>                    | Profondeur moyenne :           | m                          |
| Carte :                 | (extrait IGN 1/25 000 ème)      |                                |                            |
|                         |                                 |                                |                            |

| LOCALISATION STATION             |  |                    |                     |
|----------------------------------|--|--------------------|---------------------|
| Coordonnées du point :           | relevées sur :   | GPS                |                     |
| Lambert 93 (système français) :  | (en m)   | X<br><b>933890</b> | Y<br><b>6730794</b> |
| WGS 84 (système international) : | données GPS (en dms)   | N                  | Altitude (m)        |
| Profondeur :                     | <b>2</b>   | m                  |                     |
| Photos du site :                 |  |                    |                     |
| Remarques et observations :      | <p>Profondeur = Profondeur maximale mesurée le jour du prélèvement.</p> <p>Photo 1 : Vue depuis le point de prélèvement vers l'est.<br/>     Photo 2 : Vue depuis la mise à l'eau vers le sud.</p> |                    |                     |

## Relevé phytoplanctonique en plan d'eau

v.3.3.2

## DONNEES GENERALES CAMPAGNE

juin 2012

|                               |  |                |                   |
|-------------------------------|--|----------------|-------------------|
| Plan d'eau :                  | <b>Gravière de Vaivre Vesoul</b>       | Date :         | <b>22/05/2014</b> |
| Station ou n° d'échantillon : | <b>Point profond</b>                   | Code lac :     | <b>U0535003</b>   |
| Organisme / opérateur :       | <b>GREBE / F. Bourgeot - A. Delvoy</b> | Réf. dossier : | <b>AERMC PE</b>   |

**STATION**

| Coordonnées de la station      | relevées sur :   | GPS  |                     |                                |
|--------------------------------|--|--|---------------------|--------------------------------|
| Lambert 93 (système français)  | (en m)   | X<br><b>933890</b>   | Y<br><b>6730794</b> | Altitude (m) :<br><b>224,0</b> |
| WGS 84 (système international) | données GPS (en dms)   | N  |                     | Altitude (m) :                 |
| Profondeur (m) :               | <b>2</b>   |  |                     |                                |
| Conditions d'observation :     | Instensité du vent : faible<br>météo : temps sec faiblement nuageux<br>Surface de l'eau : faiblement agitée<br>Hauteur des vagues : <b>0,05</b> m<br>Bloom algal : non |  |                     |                                |
| Marnage :                      | non  | niveau des eaux par rapport à la végétation de ceinture (pour les plans d'eau marnant) : | <b>0</b>            | m                              |
| Remarques :                    |  |  |                     |                                |

**PRELEVEMENTS**

|                           |   |  |  |
|---------------------------|---|--|--|
| Heure début de relevé :   | <b>8:45</b>   | Heure de fin de relevé :   | <b>10:30</b>   |
| Prélèvements réalisés :   | <input checked="" type="checkbox"/> phytoplancton<br><input checked="" type="checkbox"/> chlorophylle<br><input checked="" type="checkbox"/> eau<br><br><input type="checkbox"/> sédiment<br><input type="checkbox"/> macrophytes<br><input checked="" type="checkbox"/> oligochètes<br><input type="checkbox"/> autres, préciser :   | Matériel employé :<br><br>Volume filtré pour la chlorophylle (ml) :<br><br>Volume de Lugol ajouté pour le phytoplancton (ml) : | <input type="checkbox"/> bouteille intégratrice<br><input checked="" type="checkbox"/> bouteille Van Dorn<br><input type="checkbox"/> pompe<br><br><b>1000</b><br><br><b>4</b> |
| Remarques, observations : | Dépot des échantillons d'eau au laboratoire (Carso Lyon) le 22/05/14.<br><br>Prélèvement intégré phytoplancton et chlorophylle réalisé à la bouteille verticale type Van Dorn.<br>Prélèvement physico-chimie et micropolluants réalisés à la bouteille verticale type Van Dorn.<br><br>Visibilité du fond : transparence > 2 m. Prélèvement intégré réalisé sur l'ensemble de la colonne d'eau (Echantillonnage ponctuel continu sur 2 m).<br><br>Température de l'air : 12.2°C. Pression atmosphérique : 965 hpa |  |  |

## *Relevé phytoplanctonique en plan d'eau*

v.3.3.2

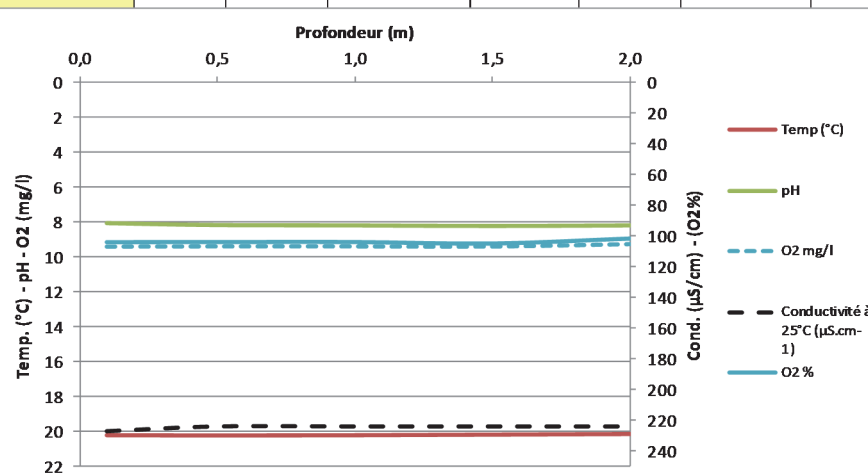
## DONNEES PHYSICO-CHIMIQUES

*juin 2012*

|                               |                                 |                |            |
|-------------------------------|---------------------------------|----------------|------------|
| Plan d'eau :                  | Gravière de Vaivre Vesoul       | Date :         | 22/05/2014 |
| Station ou n° d'échantillon : | Point profond                   | Code lac :     | U0535003   |
| Organisme / opérateur :       | GREBE / F. Bourgeot - A. Delvoy | Réf. dossier : | AERMC PE   |

|                     |          |  |          |
|---------------------|----------|--|----------|
| <b>TRANSPARENCE</b> |          |  |          |
| Secchi en m :       | <b>2</b> | Zone euphotique (2,5 x Secchi)<br>en m : | <b>5</b> |

#### **PROFIL VERTICAL**



*Relevé phytoplanctonique en plan d'eau*  
DONNEES GENERALES PLAN D'EAU - STATION

v.3.3.1

Septembre 2009

|                         |                              |                |            |
|-------------------------|------------------------------|----------------|------------|
| Plan d'eau :            | Gravière de Vaivre Vesoul    | Date :         | 30/07/2014 |
| Nom station :           | Point profond                | Code station : | U0535003   |
| Organisme / opérateur : | GREBE/F. Bourgeot - J. Valès | Réf. dossier : | AERMC PE   |

|                         |                             |                                |                      |
|-------------------------|-----------------------------|--------------------------------|----------------------|
| LOCALISATION PLAN D'EAU |                             |                                |                      |
| Commune :               | Vaire et Montoille (70)     |                                |                      |
| Plan d'eau marnant :    | oui                         | Superficie du bassin versant : | 480 km <sup>2</sup>  |
| HER :                   | Jura - Préalpes du Nord (5) | Superficie du plan d'eau :     | 0,86 km <sup>2</sup> |
| Profondeur maximale :   | 2,2 m                       | Profondeur moyenne :           | m                    |
| Carte :                 | (extrait IGN 1/25 000 ème)  |                                |                      |
|                         |                             |                                |                      |

|                                  |  |             |                     |
|----------------------------------|--|-------------|---------------------|
| LOCALISATION STATION             |  |             |                     |
| Coordonnées du point :           | relevées sur :   | GPS         |                     |
| Lambert 93 (système français) :  | (en m)   | X<br>933904 | Y<br>6730783        |
| WGS 84 (système international) : | données GPS (en dms)   | N           | Altitude (m)<br>214 |
| Profondeur :                     | 2  | m           |                     |
| Photos du site :                 | (indiquer l'angle de prise de vue sur la carte)  |             |                     |
|                                  |  |             |                     |
| Remarques et observations :      | <p>Profondeur = Profondeur maximale mesurée le jour du prélèvement.</p> <p>Photo 1: Vue depuis le point de prélèvement vers la berge et la mise à l'eau (ouest).</p> <p>Photo 2: Vue depuis le point de prélèvement vers le sud.</p> |             |                     |

## Relevé phytoplanctonique en plan d'eau

v.3.3.2

## DONNEES GENERALES CAMPAGNE

juin 2012

|                               |                                       |                |                   |
|-------------------------------|---------------------------------------|----------------|-------------------|
| Plan d'eau :                  | <b>Gravière de Vaivre Vesoul</b>      | Date :         | <b>30/07/2014</b> |
| Station ou n° d'échantillon : | <b>Point profond</b>                  | Code lac :     | <b>U0535003</b>   |
| Organisme / opérateur :       | <b>GREBE / F. Bourgeot - J. Valès</b> | Réf. dossier : | <b>AERMC PE</b>   |

**STATION**

| Coordonnées de la station      | relevées sur :  | GPS  |                     |                                |
|--------------------------------|---|--|---------------------|--------------------------------|
| Lambert 93 (système français)  | (en m)  | X<br><b>933904</b>   | Y<br><b>6730783</b> | Altitude (m) :<br><b>214,0</b> |
| WGS 84 (système international) | données GPS (en dms)  | N  |                     | Altitude (m) :                 |
| Profondeur (m) :               | <b>2</b>  |  |                     |                                |
| Conditions d'observation :     | Instensité du vent : faible<br>météo : temps humide<br>Surface de l'eau : faiblement agitée<br>Hauteur des vagues : <b>0,1</b> m<br>Bloom algal : non |  |                     |                                |
| Marnage :                      | oui   | niveau des eaux par rapport à la végétation de ceinture (pour les plans d'eau marrant) : | <b>0,3</b>          | m                              |
| Remarques :                    |   |  |                     |                                |

**PRELEVEMENTS**

|                           |  |  |   |
|---------------------------|--|--|---|
| Heure début de relevé :   | <b>8:30</b>  | Heure de fin de relevé :   | <b>9:45</b>   |
| Prélèvements réalisés :   | <input checked="" type="checkbox"/> phytoplancton<br><input checked="" type="checkbox"/> chlorophylle<br><input checked="" type="checkbox"/> eau<br><br><input type="checkbox"/> sédiment<br><input type="checkbox"/> macrophytes<br><input type="checkbox"/> oligochètes<br><input type="checkbox"/> autres, préciser :   | Matériel employé :<br><br>Volume filtré pour la chlorophylle (ml) :<br><br>Volume de Lugol ajouté pour le phytoplancton (ml) : | <input type="checkbox"/> bouteille intégratrice<br><input checked="" type="checkbox"/> bouteille Van Dorn<br><input type="checkbox"/> pompe<br><br><b>310</b><br><br><b>4</b> |
| Remarques, observations : | Dépot des échantillons d'eau au transporteur à 10:30<br><br>Prélèvement intégré phytoplancton réalisé à la bouteille bouteille verticale type Van Dorn.<br>Prélèvement physico-chimie et micropolluants réalisés à la bouteille verticale type Van Dorn (Echantillonnage ponctuel sur 0.60 m).<br><br>Température de l'air : 19°C - Pression atmosphérique : 990 hpa |  |   |

## *Relevé phytoplanctonique en plan d'eau*

v.3.3.2

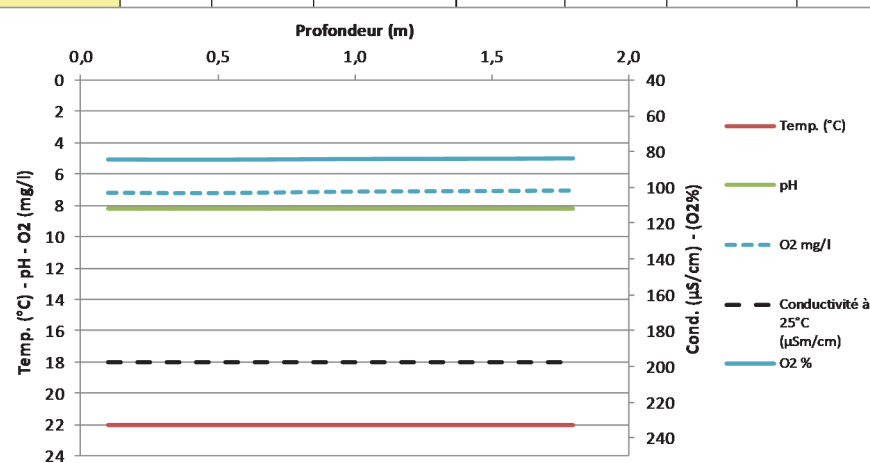
## DONNEES PHYSICO-CHIMIQUES

*juin 2012*

|                               |                                |                |            |
|-------------------------------|--------------------------------|----------------|------------|
| Plan d'eau :                  | Gravière de Vaivre Vesoul      | Date :         | 30/07/2014 |
| Station ou n° d'échantillon : | Point profond                  | Code lac :     | U0535003   |
| Organisme / opérateur :       | GREBE / F. Bourgeot - J. Valès | Réf. dossier : | AERMC PE   |

|                     |             |  |              |
|---------------------|-------------|--|--------------|
| <b>TRANSPARENCE</b> |             |  |              |
| Secchi en m :       | <b>0,27</b> | Zone euphotique (2,5 x Secchi)<br>en m : | <b>0,675</b> |

#### **PROFIL VERTICAL**



## Relevé phytoplanctonique en plan d'eau

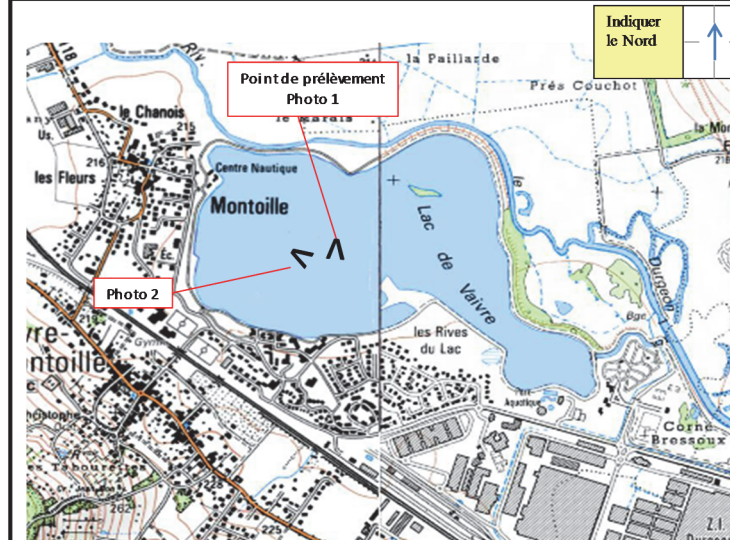
v.3.3.1

## DONNEES GENERALES PLAN D'EAU - STATION

Septembre 2009

|                         |                                      |                |                   |
|-------------------------|--------------------------------------|----------------|-------------------|
| Plan d'eau :            | <b>Gravière de Vaire Vesoul</b>      | Date :         | <b>10/09/2014</b> |
| Nom station :           | <b>Point profond</b>                 | Code station : | <b>U053503</b>    |
| Organisme / opérateur : | <b>GREBE/F. Bourgeot - C. Louche</b> | Réf. dossier : | <b>AERMCPE</b>    |

## LOCALISATION PLAN D'EAU

|                       |   |                                |                            |
|-----------------------|---|--------------------------------|----------------------------|
| Commune :             | <b>Vaire et Montoille (70)</b>  |                                |                            |
| Plan d'eau marnant :  | non   | Superficie du bassin versant : | <b>480 km<sup>2</sup></b>  |
| HER :                 | Jura - Préalpes du Nord (5)   | Superficie du plan d'eau :     | <b>0,86 km<sup>2</sup></b> |
| Profondeur maximale : | <b>2,2 m</b>  | Profondeur moyenne :           | m                          |
| Carte :               | <br>(extrait IGN 1/25 000 ème) |                                |                            |

## LOCALISATION STATION

| Coordonnées du point :           | relevées sur :   | GPS           |                |              |
|----------------------------------|--|---------------|----------------|--------------|
|                                  |  | X             | Y              | Altitude     |
| Lambert 93 (système français) :  | (en m)   | <b>933897</b> | <b>6730797</b> | <b>224</b>   |
| WGS 84 (système international) : | données GPS (en dms)   | N             |                | Altitude (m) |
| Profondeur :                     | <b>2 m</b>   |               |                |              |
| Photos du site :                 |  <br>(indiquer l'angle de prise de vue sur la carte) |               |                |              |

|                             |  |
|-----------------------------|--|
| Remarques et observations : | Profondeur = Profondeur maximale mesurée le jour du prélèvement.<br><br>Photo 1 : Vue depuis le point de prélèvement vers la berge sud-est.<br>Photo 2 : Vue depuis le point de prélèvement vers le sud. |
|-----------------------------|--|

## Relevé phytoplanctonique en plan d'eau

v.3.3.2

## DONNEES GENERALES CAMPAGNE

juin 2012

|                               |  |                |                   |
|-------------------------------|--|----------------|-------------------|
| Plan d'eau :                  | <b>Gravière de Vaivre Vesoul</b>       | Date :         | <b>10/09/2014</b> |
| Station ou n° d'échantillon : | <b>Point profond</b>                   | Code lac :     | <b>U0535003</b>   |
| Organisme / opérateur :       | <b>GREBE / E. Bourgeot - C. Louche</b> | Réf. dossier : | <b>AERMC PE</b>   |

| <b>STATION</b>                 |                      |  |                     |                |              |
|--------------------------------|----------------------|--|---------------------|----------------|--------------|
| Coordonnées de la station      | relevées sur :       | <b>GPS</b>   |                     |                |              |
| Lambert 93 (système français)  | (en m)               | X<br><b>933897</b>   | Y<br><b>6730797</b> | Altitude (m) : | <b>224,0</b> |
| WGS 84 (système international) | données GPS (en dms) | N  |                     | Altitude (m) : |              |
| Profondeur (m) :               |                      | <b>2</b>   |                     |                |              |
| Conditions d'observation :     | Instensité du vent : | <b>nul</b>   |                     |                |              |
|                                | météo :              | <b>temps sec fortement nuageux</b>   |                     |                |              |
|                                | Surface de l'eau :   | <b>lisse</b>   |                     |                |              |
|                                | Hauter des vagues:   |  |                     |                |              |
|                                | Bloom algal :        | <b>non</b>   |                     |                |              |
| Marnage :                      | oui                  | niveau des eaux par rapport à la végétation de ceinture (pour les plans d'eau marnant) : |                     | <b>0,2</b>     | m            |
| Remarques :                    |                      |  |                     |                |              |

| <b>PRELEVEMENTS</b>   |   |  |   |  |  |  |  |  |  |  |  |
|---|---|--|---|--|--|--|--|--|--|--|--|
| Heure début de relevé :   | <b>8:30</b>                                       |  | Heure de fin de relevé :                            | <b>10:30</b>   |  |  |  |  |  |  |  |
| Prélèvements réalisés :   | <input checked="" type="checkbox"/> phytoplancton |  | Matériel employé :                                  | <input type="checkbox"/> bouteille intégratrice        |  |  |  |  |  |  |  |
|   | <input checked="" type="checkbox"/> chlorophylle  |  |   | <input checked="" type="checkbox"/> bouteille Van Dorn |  |  |  |  |  |  |  |
| Remarques, observations :   | <input checked="" type="checkbox"/> eau           |  | Volume filtré pour la chlorophylle (ml) :           | <input type="checkbox"/> pompe                         |  |  |  |  |  |  |  |
|   | <input checked="" type="checkbox"/> sédiment      |  |   | <b>1000</b>  |  |  |  |  |  |  |  |
|   | <input type="checkbox"/> macrophytes              |  | Volume de Lugol ajouté pour le phytoplancton (ml) : |  |  |  |  |  |  |  |  |
|   | <input type="checkbox"/> oligochètes              |  |   | <b>4</b>   |  |  |  |  |  |  |  |
| Autres, préciser : <b>Prélèvement phytoplancton/chlorophylle réalisé à la bouteille verticale type Van Dorn.</b>  |   |  |   |  |  |  |  |  |  |  |  |
| Prélèvements d'eau intégré (paramètres généraux et micropolluants) réalisés à la bouteille verticale type Van Dorn (Echantillonnage ponctuel continu sur 1.20 m). |   |  |   |  |  |  |  |  |  |  |  |
| Température de l'air : <b>17.3°C</b> - Pression atmosphérique : <b>994 hpa</b>  |   |  |   |  |  |  |  |  |  |  |  |

## *Relevé phytoplanctonique en plan d'eau*

v.3.3.2

## DONNEES PHYSICO-CHIMIQUES

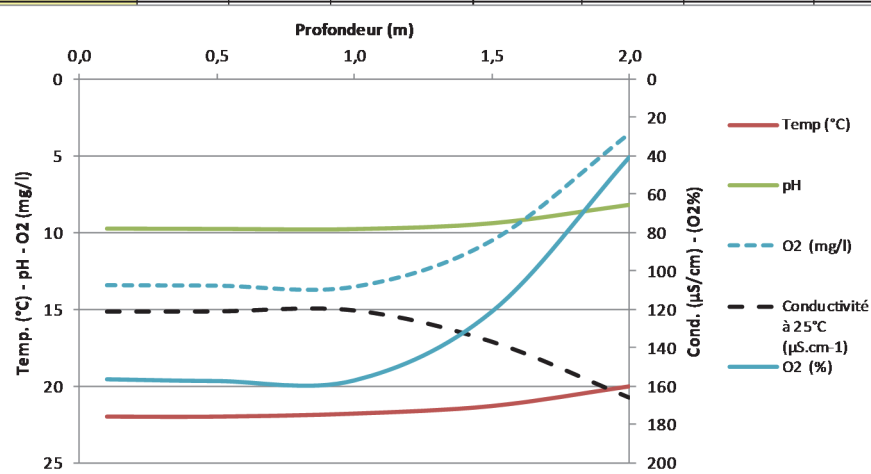
*juin 2012*

|                               |                                 |                |            |
|-------------------------------|---------------------------------|----------------|------------|
| Plan d'eau :                  | Gravière de Vaire Vesoul        | Date :         | 10/09/2014 |
| Station ou n° d'échantillon : | Point profond                   | Code lac :     | U0535003   |
| Organisme / opérateur :       | GREBE / F. Bourgeot - C. Louche | Réf. dossier : | AERMC PE   |

## TRANSPARENCY

|                      |             |                                       |               |              |
|----------------------|-------------|---------------------------------------|---------------|--------------|
| <b>Secchi en m :</b> | <b>0,47</b> | <b>Zone euphotique (2,5 x Secchi)</b> | <b>en m :</b> | <b>1,175</b> |
|----------------------|-------------|---------------------------------------|---------------|--------------|

## **PROFIL VERTICAL**



**PRELEVEMENTS DE SEDIMENTS 2014**

| PLAN D'EAU :  | Nom :<br>Code : | Lac des Rousses<br>V2405043   | Retenue de Panthier<br>U1305043   | Lac de l'Entonnoir<br>U2035043  |
|---|-----------------|---|---|---|
| Date:   |                 | 11/09/2014  | 09/09/2014  | 10/09/2014  |
| Appareil de prélèvement :   |                 | Carottier <input type="checkbox"/><br>Benne Ekman <input checked="" type="checkbox"/> | Carottier <input type="checkbox"/><br>Benne Ekman <input checked="" type="checkbox"/> | Carottier <input type="checkbox"/><br>Benne Ekman <input checked="" type="checkbox"/> |
| Point de prélèvement :  |                 | Point profond   | Point profond   | Point profond   |
| Coordonnées GPS (Lambert 93 en m) :   |                 | x= 937176<br>y= 6605314<br>21   | x= 823596<br>y= 6683569<br>7,5  | x= 944418<br>y= 6641679<br>8,1  |
| Profondeur (m) :  |                 |   |   |   |
| Aspect et nature des sédiments<br>(couleur, odeur, texture (sableuse, fine), charge en débris organiques)…) |                 | Sédiments limono-tourbeux gris bruns  | Limon organique noirâtre.<br>Odeur H <sub>2</sub> S.                                  | Limono-tourbeux gris brun   |

| PLAN D'EAU :  | Nom :<br>Code : | Retenue de Vouglans<br>V23-4003   | Retenue de Chazilly<br>U1305003   | Lac de Vaire-Vesoul<br>U053003  |
|---|-----------------|---|---|---|
| Date:   |                 | 12/09/2014  | 08/09/2014  | 10/09/2014  |
| Appareil de prélèvement :   |                 | Carottier <input type="checkbox"/><br>Benne Ekman <input checked="" type="checkbox"/> | Carottier <input type="checkbox"/><br>Benne Ekman <input checked="" type="checkbox"/> | Carottier <input type="checkbox"/><br>Benne Ekman <input checked="" type="checkbox"/> |
| Point de prélèvement :  |                 | Point profond   | Point profond   | Point profond   |
| Coordonnées GPS (Lambert 93 en m) :   |                 | x= 905393<br>y= 6593413<br>85,3   | x= 821415<br>y= 6677556<br>10,3   | x= 933897<br>y= 6730797<br>2  |
| Profondeur (m) :  |                 |   |   |   |
| Aspect et nature des sédiments<br>(couleur, odeur, texture (sableuse, fine), charge en débris organiques)…) |                 | Limono-argileux brun-gris   | Limons fins gris à gris foncés  | Argilo-limoneux beige   |

| PLAN D'EAU :  | Nom :<br>Code : | Retenue de Villegusien (Vingeanne)<br>U905003   | Retenue de Champagney<br>U-2003   |                          |
|---|-----------------|---|---|--------------------------|
| Date:   |                 | 09/09/2014  | 15/09/2014  |                          |
| Appareil de prélèvement :   |                 | Carottier <input type="checkbox"/><br>Benne Ekman <input checked="" type="checkbox"/> | Carottier <input type="checkbox"/><br>Benne Ekman <input checked="" type="checkbox"/> | <input type="checkbox"/> |
| Point de prélèvement :  |                 | Point profond   | Point profond   |                          |
| Coordonnées GPS (Lambert 93 en m) :   |                 | x= 873493<br>y= 6740202<br>2,3  | x= 979429<br>y= 6737959<br>24,6   |                          |
| Profondeur (m) :  |                 |   |   |                          |
| Aspect et nature des sédiments<br>(couleur, odeur, texture (sableuse, fine), charge en débris organiques)…) |                 | Limono-argileux gris-brun   | Limono-argileux brun-rouge  |                          |

## Annexe 4

### Rapport d'analyse phytoplancton



Rapport d'analyse Phytoplancton

définitif       provisoire

Édité le : 19/01/15

Page 1 sur 5

Agence de l'Eau Rhône-Méditerranée Corse  
A l'attention de Mr Loïc IMBERT  
2-4 allée de Lodz  
69363 Lyon cedex 07

Le rapport établi ne concerne que les échantillons soumis à l'essai.  
La reproduction de ce rapport d'analyse n'est autorisée que sous sa forme intégrale.

Un rapport provisoire n'est pas signé et seul l'exemplaire définitif signé a une valeur contractuelle.

Ce rapport d'analyses transmis par courrier électronique ou sur un support informatique n'a pas de valeur contractuelle.  
Seule la version originale « format papier » de ce rapport d'analyses définitif signé fait foi.

---

RAPPORT n°: PHYTO.01/03-2014

Dossier : Surveillance de la qualité des plans d'eau du nord du bassin Rhône Méditerranée - Lot n°1

Station : Vaivre Vesoul-U0535003

Prélèvements : Effectués par le GREBE selon le Protocole standardisé d'échantillonnage, de conservation, et d'observation du phytoplancton en plan d'eau (IRSTEA, Septembre 2009).  
Hors accréditation COFRAC

Prélèvements effectués les : 06/03/2014 ; 22/05/2014 ; 30/07/2014 ; 10/09/2014

Objet soumis à l'analyse : Phytoplancton

---

RESULTATS : Analyses effectuées par le GREBE selon le Protocole standardisé d'échantillonnage, de conservation et d'observation du phytoplancton en plan d'eau (IRSTEA, Septembre 2009), basé sur la Méthode Utermöhl (NF EN 15204, AFNOR, 2006).

Les résultats présentés ci-après sont : - listes floristiques.

Déterminations réalisées par : Bianca Touchart et Jeanne Rigaut.



Bianca TOUCHART, Technicienne hydrobiologiste

**1<sup>ère</sup> Campagne : le 06 Mars 2014**

## Liste Floristique

| Nom Taxon                                  | Classe             | Code   | Type | Nombre |                  | Biovolume calculé mm <sup>3</sup> /l | Nombre objets algaux/ml |
|--|--------------------|--------|------|--------|------------------|--------------------------------------|-------------------------|
|  |                    |        |      | Compté | SANDRE Cf compté |                                      |                         |
| Asterionella formosa                       | FRAGILARIOPHYCEAE  | ASTFOR | Cel. | 4860   |                  |                                      |                         |
| Aulacoseira                                | COSCINODISCPHYCEAE | AULSPX | Cel. | 9476   |                  |                                      |                         |
| Chlamydomonas <10µm                        | CHLOROPHYCEAE      | NEW130 | Cel. | 6016   | 1                | 4,26E-04                             | 1,85                    |
| Cryptomonas erosa                          | CRYPTOPHYCEAE      | CRYERO | Cel. | 6271   | 56               | 1,18E-01                             | 103,75                  |
| Cryptomonas marssonii                      | CRYPTOPHYCEAE      | CRYMAR | Cel. | 6273   | 11               | 2,45E-02                             | 20,38                   |
| Diatomées centriques Indéterminées > 10 µm | COSCINODISCPHYCEAE | NEW045 | Cel. | 20160  | 3                | 5,11E-03                             | 5,56                    |
| Diatomées centriques (5 µm)                | COSCINODISCPHYCEAE | NEW011 | Cel. | 31228  | 3                | 3,72E-04                             | 5,56                    |
| Diatomées centriques indéterminées <10 µm  | COSCINODISCPHYCEAE | INDCE5 | Cel. | 31228  | 6                | 1,22E-03                             | 11,12                   |
| Diatomées pennées Indéterminées            | BACILLARIOPHYCEAE  | INDPEN | Cel. | 20161  | 3                | 2,91E-03                             | 5,56                    |
| Dictyosphaerium (environ 2µm)              | CHLOROPHYCEAE      | NEW062 | Cel. | 5645   | 3185             | 2,36E-02                             | 5900,83                 |
| Elakatothrix gelatinosa                    | CHLOROPHYCEAE      | ELAGEL | Cel. | 5664   | 8                | 2,83E-03                             | 14,82                   |
| Erkenia subaequiciliata                    | CHRYSOPHYCEAE      | ERKSUB | Cel. | 6149   | 3                | 2,50E-04                             | 5,56                    |
| Mallomonas akrokomos                       | SYNUROPHYCEAE      | MALAKR | Cel. | 6211   | 1                | 8                                    | 4,65E-03                |
| Monoraphidium circinale                    | CHLOROPHYCEAE      | MONCIR | Cel. | 5730   |                  |                                      | 11,12                   |
| Monoraphidium minutum                      | CHLOROPHYCEAE      | MONMIN | Cel. | 5736   | 6                | 1,03E-03                             |                         |
| Monoraphidium tortile                      | CHLOROPHYCEAE      | MONTOR | Cel. | 5741   | 4                | 1,70E-04                             | 7,41                    |
| Naviculaceae                               | BACILLARIOPHYCEAE  | NEW036 | Cel. | 4874   |                  |                                      |                         |
| Oocystis lacustris                         | CHLOROPHYCEAE      | OOClac | Cel. | 5757   | 4                | 7,86E-04                             | 7,41                    |
| Phacus pusillus                            | EUGLENOPHYCEAE     | PHAPUS | Cel. | 6514   | 1                |                                      |                         |
| Plagioselmis nannoplancтика                | CRYPTOPHYCEAE      | PLGNAN | Cel. | 9634   | 112              | 1,45E-02                             | 207,50                  |
| Scenedesmus bicaudatus                     | CHLOROPHYCEAE      | SCEBIC | Cel. | 5812   |                  |                                      |                         |
| Schroederia setigera                       | CHLOROPHYCEAE      | SCRSET | Cel. | 5867   |                  |                                      |                         |
| Stichococcus bacillaris                    | TREBOUXOPHYCEAE    | STCBAC | Cel. | 6004   | 1                | 64                                   | 7,00E-03                |
| Tetraedron minimum var. tetralobatum       | CHLOROPHYCEAE      | TEAMTE | Cel. | 20332  |                  |                                      | 118,57                  |
| Tetrastrum staurogeniaeforme               | CHLOROPHYCEAE      | TERSTA | Cel. | 5904   |                  |                                      |                         |

2<sup>ème</sup> Campagne : le 22 mai 2014

## Liste Floristique

| Nom Taxon                              | Classe             | Code<br>Taxon | Type<br>Compté | Code<br>SANDRE | Nombre<br>compté | Biovolume<br>calculé<br>mm <sup>3</sup> /l | Nombre<br>objets<br>algues/ml |
|--|--------------------|---------------|----------------|----------------|------------------|--|-------------------------------|
| Anabaena flos-aquae                    | CYANOPHYCEAE       | ANAFL0        | Cel.           | 6282           |                  |  |                               |
| Anabaena mendotae                      | CYANOPHYCEAE       | NEW131        | Cel.           | 35771          |                  |  |                               |
| Ankyra judayi                          | CHLOROPHYCEAE      | ANYJUD        | Cel.           | 5596           | 1                | 1,67E-03                                   | 15,93                         |
| Aphanizomenon flos-aquae               | CYANOPHYCEAE       | APHFLO        | Cel.           | 6291           | 176              | 3,22E-01                                   | 2804,03                       |
| Aphanocapsa delicatissima              | CYANOPHYCEAE       | APADEL        | Cel.           | 6308           | 30               | 4,78E-04                                   | 477,96                        |
| Ceratium furcoides                     | DINOPHYCEAE        | CERFUR        | Cel.           | 20323          |                  |  |                               |
| Chlorophycées unicellulaires 5-10 µm   | CHLOROPHYCEAE      | NEW159        | Cel.           | 20155          | 12               | 4,23E-02                                   | 191,18                        |
| Chroococcus                            | CYANOPHYCEAE       | CHRSPX        | Cel.           | 6355           | 2                | 1,07E-02                                   | 31,86                         |
| Closterium acutum var. variable        | ZYGNEMATOPHYCEAE   | CLOACV        | Cel.           | 5530           | 10               | 1,50E-01                                   | 159,32                        |
| Coelastrum microporum                  | CHLOROPHYCEAE      | COEMIC        | Col.           | 5610           |                  |  |                               |
| Crucigentia tetrapedia                 | CHLOROPHYCEAE      | CRUTET        | Cel.           | 5633           | 24               | 5,16E-02                                   | 382,37                        |
| Cryptomonas                            | CRYPTOPHYCEAE      | CRYSPX        | Cel.           | 6269           |                  |  |                               |
| Desmodesmus intermedius                | CHLOROPHYCEAE      | DEDINT        | Cel.           | 30028          |                  |  |                               |
| Diatomées centriques (5 µm)            | COSCINODISOPHYCEAE | NEW011        | Cel.           | 31228          | 1                | 1,07E-03                                   | 15,93                         |
| Diatomées pennées Indéterminées        | BACILLARIOPHYCEAE  | INDPEN        | Cel.           | 20161          | 1                | 8,33E-03                                   | 15,93                         |
| Dictyosphaerium (environ 2µm)          | CHLOROPHYCEAE      | NEW062        | Cel.           | 5645           | 112              | 7,14E-03                                   | 1784,38                       |
| Elaktothrix gelatinosa                 | CHLOROPHYCEAE      | ELAGEL        | Cel.           | 5664           | 2                | 6,09E-03                                   | 31,86                         |
| Erkenia subaequilatilla                | CHRYSOPHYCEAE      | ERKSUB        | Cel.           | 6149           | 2                | 1,43E-03                                   | 31,86                         |
| Kephyrion rubri-claustri               | CHRYSOPHYCEAE      | KEPRUB        | Cel.           | 6152           | 2                | 1,98E-03                                   | 31,86                         |
| Mallomonas akrokomas                   | SYNUROPHYCEAE      | MALAKR        | Cel.           | 6211           | 1                | 6  | 3,00E-02                      |
| Merismopeda tenuissima                 | CYANOPHYCEAE       | MERTEN        | Cel.           | 6330           | 4624             | 7,37E-02                                   | 73669,47                      |
| Monoraphidium circinale                | CHLOROPHYCEAE      | MONCIR        | Cel.           | 5730           | 2                | 7,97E-04                                   | 31,86                         |
| Monoraphidium minutum                  | CHLOROPHYCEAE      | MONMIN        | Cel.           | 5736           |                  |  |                               |
| Monoraphidium tortile                  | CHLOROPHYCEAE      | MONTOR        | Cel.           | 5741           | 2                | 7,33E-04                                   | 31,86                         |
| Ochromonas petite taille (<5µm)        | CHRYSOPHYCEAE      | NEW142        | Cel.           | 6158           | 1                | 7,97E-05                                   | 15,93                         |
| Oocystis                               | CHLOROPHYCEAE      | OOCSPX        | Cel.           | 5752           | 3                | 1,15E-02                                   | 47,80                         |
| Oocystis lacustris                     | CHLOROPHYCEAE      | OOLCLAC       | Cel.           | 5757           | 8                | 1,35E-02                                   | 127,46                        |
| Oscillatoria                           | CYANOPHYCEAE       | OSCSXP        | Cel.           | 1108           |                  |  |                               |
| Plagioselmis nanoplantica              | CRYPTOPHYCEAE      | PLGNAN        | Cel.           | 9634           | 29               | 3,23E-02                                   | 462,03                        |
| Pseudanabaena catenata                 | CYANOPHYCEAE       | PSECAT        | Cel.           | 6456           | 6                | 6,69E-04                                   | 95,59                         |
| Scenedesmus bicaudatus                 | CHLOROPHYCEAE      | SCEBIC        | Cel.           | 5812           |                  |  |                               |
| Tetradictiella spinigera               | XANTHOPHYCEAE      | TEESPI        | Cel.           | 6247           |                  |  |                               |
| Tetraedron minimum var. tetralobulatum | CHLOROPHYCEAE      | TEAMTE        | Cel.           | 20332          | 3                | 1,67E-02                                   | 47,80                         |

Commentaires : Anabaena flos-aquae est potentiellement productrice d'anatoxines et de microcystines. L'espèce Aphanizomenon flos-aquae est potentiellement productrice d'anatoxines-a et de saxitoxines.

3<sup>ème</sup> Campagne : le 30 Juillet 2014

## Liste Floristique

| Nom Taxon   | Classe             | Code Taxon | Type Compté | Code SANDRE | Nombre compté | Biovolume calculé mm <sup>3</sup> /l | Nombre objets algaux/ml |
|---|--------------------|------------|-------------|-------------|---------------|--------------------------------------|-------------------------|
| Anabaena  | CYANOPHYCEAE       | ANAFPX     | Cel.        | 1101        | 24            | 2,06E-02                             | 208,19                  |
| Aphanizomenon   | CYANOPHYCEAE       | APHSPX     | Fili.       | 1103        | 6             | 1,16E-01                             | 52,05                   |
| Aulacoseira   | COGGINODISOPHYCEAE | AULSPX     | Cel.        | 9476        | 2             | 1,73E-03                             | 17,35                   |
| Bicoeca cylindrica                                    | CHRYZOPHYCEAE      | BICCYL     | Cel.        | 6105        | 2             | 1,16E-02                             | 17,35                   |
| Ceratium furcosides                                   | DINOPHYCEAE        | CERFUR     | Cel.        | 20323       |               |                                      |                         |
| Chlamydomonas   | CHLOROPHYCEAE      | CHLSPX     | Cel.        | 6016        |               |                                      |                         |
| Chlorophycées coloniales Indéterminées                | CHLOROPHYCEAE      | INDCCO     | Cel.        | 24936       | 26            | 1,01E-01                             | 225,54                  |
| Chlorophycées flagellées Indéterminées diam 5 - 10 µm | CHLOROPHYCEAE      | INDFL5     | Cel.        | 20154       | 1             | 4,51E-03                             | 8,67                    |
| Chlorophycées unicellulaires 5-10 µm                  | CHLOROPHYCEAE      | NEW159     | Cel.        | 20155       | 23            | 4,41E-02                             | 199,52                  |
| Closterium acutum                                     | ZYGNETOMOPHYCEAE   | CLOACU     | Cel.        | 5529        |               |                                      |                         |
| Closterium acutum var. variable                       | ZYGNETOMOPHYCEAE   | CLOACV     | Cel.        | 5530        | 46            | 3,75E-01                             | 399,04                  |
| Coelastrum astroledeum                                | CHLOROPHYCEAE      | COEA8T     | Cel.        | 5608        | 4             | 2,50E-03                             | 34,70                   |
| Coelastrum microporum                                 | CHLOROPHYCEAE      | COEMIC     | Cel.        | 5610        | 46            | 7,45E-02                             | 399,04                  |
| Coelastrum polychordum                                | CHLOROPHYCEAE      | COEPOL     | Cel.        | 24480       | 228           | 1,19E-01                             | 1977,85                 |
| Coenochloris fottii                                   | CHLOROPHYCEAE      | COOFOT     | Cel.        | 5618        | 8             | 1,24E-02                             | 69,40                   |
| Coronastrum ellipsoideum                              | TREBOUXOPHYCEAE    | CORELL     | Cel.        | 33820       | 4             | 2,12E-03                             | 34,70                   |
| Cosmarium   | ZYGNETOMOPHYCEAE   | COBSPX     | Cel.        | 1127        |               |                                      |                         |
| Crucigenia crucifera                                  | CHLOROPHYCEAE      | CRUCRU     | Cel.        | 25579       |               |                                      |                         |
| Crucigenella apiculata                                | CHLOROPHYCEAE      | CRCAPI     | Cel.        | 5635        | 8             | 3,40E-03                             | 69,40                   |
| Crucigenella pulchra                                  | CHLOROPHYCEAE      | CRCPUL     | Cel.        | 9180        | 1             | 4,86E-03                             | 69,40                   |
| Cryptomonas   | CRYPTOPHYCEAE      | CRYSPX     | Cel.        | 6269        | 12            | 1,84E-01                             | 104,10                  |
| Desmodesmus   | CHLOROPHYCEAE      | DEDSPX     | Cel.        | 29998       | 2             | 1,39E-03                             | 17,35                   |
| Diatomées centriques Indéterminées > 10 µm            | COGGINODISOPHYCEAE | NEW045     | Cel.        | 20160       | 6             | 4,78E-02                             | 52,05                   |
| Diatomées centriques Indéterminées <10 µm             | COGGINODISOPHYCEAE | INDCES     | Cel.        | 31228       | 16            | 1,53E-02                             | 138,80                  |
| Diatomées pennées Indéterminées                       | BACILLARIOPHYCEAE  | INDPEN     | Cel.        | 20161       | 2             | 9,07E-03                             | 17,35                   |
| Didymocystis fina                                     | TREBOUXOPHYCEAE    | DIFIN      | Cel.        | 9193        | 4             | 4,86E-04                             | 34,70                   |
| Erkenia subaequiciliata                               | CHRYZOPHYCEAE      | ERKSUB     | Cel.        | 6149        | 4             | 1,56E-03                             | 34,70                   |
| Euglena   | EUGLENOPHYCEAE     | EUGSPX     | Cel.        | 6479        |               |                                      |                         |
| Euglena oxyuris                                       | EUGLENOPHYCEAE     | EUGOXY     | Cel.        | 6483        |               |                                      |                         |
| Euglena viridis                                       | EUGLENOPHYCEAE     | EUVIR      | Cel.        | 20138       | 1             | 1,18E-01                             | 8,67                    |
| Fragilaria sp. <100µm                                 | FRAGILARIOPHYCEAE  | NEW002     | Cel.        | 9533        | 1             | 2,02E-03                             | 8,67                    |
| Goniochloris multica                                  | XANTHOPHYCEAE      | GOCMUT     | Cel.        | 6237        | 1             | 2,08E-03                             | 8,67                    |
| Granulocystopsis coronata                             | CHLOROPHYCEAE      | GRCCOR     | Cel.        | 5681        | 1             | 1,13E-03                             | 8,67                    |
| Gyrosigma   | BACILLARIOPHYCEAE  | GYRSPX     | Cel.        | 9440        |               |                                      |                         |
| Kirchneriella obesa                                   | CHLOROPHYCEAE      | KIROBE     | Cel.        | 5702        | 4             | 5,97E-03                             | 34,70                   |
| Lepocinclis texta                                     | EUGLENOPHYCEAE     | LEPTEX     | Cel.        | 6497        |               |                                      |                         |
| Mallomonas  | SYNUROPHYCEAE      | MALSPX     | Cel.        | 6209        | 8             | 1,85E-01                             | 69,40                   |
| Monoraphidium arcuatum                                | CHLOROPHYCEAE      | MONARC     | Cel.        | 5729        | 1             | 2,95E-04                             | 8,67                    |
| Monoraphidium circinale                               | CHLOROPHYCEAE      | MONCIR     | Cel.        | 5730        | 31            | 6,72E-03                             | 268,92                  |
| Monoraphidium minutum                                 | CHLOROPHYCEAE      | MONMIN     | Cel.        | 5736        | 3             | 2,42E-03                             | 26,02                   |
| Nitzschia   | BACILLARIOPHYCEAE  | NIZSPX     | Cel.        | 9804        | 4             | 2,78E-02                             | 34,70                   |
| Oocystis  | CHLOROPHYCEAE      | OOCSPX     | Cel.        | 5752        | 1             | 2,08E-03                             | 8,67                    |
| Oocystis borgel                                       | CHLOROPHYCEAE      | OOCBOR     | Cel.        | 5753        | 39            | 2,71E-01                             | 338,32                  |
| Oocystis lacustris                                    | CHLOROPHYCEAE      | OOLAC      | Cel.        | 5757        |               |                                      |                         |
| Oocystis para   | CHLOROPHYCEAE      | OOPAR      | Cel.        | 5758        | 30            | 1,64E-02                             | 260,24                  |
| Oscillatoriaceae Indéterminées                        | CYANOPHYCEAE       | INDOC      | Fili.       | 20165       | 2             | 2,74E-01                             | 17,35                   |
| Pedastrum duplex                                      | CHLOROPHYCEAE      | PEDDUP     | Cel.        | 5772        | 564           | 3,96E+00                             | 4892,57                 |
| Pedastrum simplex                                     | CHLOROPHYCEAE      | PEDSIM     | Cel.        | 5777        | 1412          | 2,37E+01                             | 12248,71                |
| Petite Nitzschia                                      | BACILLARIOPHYCEAE  | NEW004     | Cel.        | 9804        | 9             | 2,01E-02                             | 78,07                   |
| Phacotus lenticularis                                 | CHLOROPHYCEAE      | PHTLEN     | Cel.        | 6048        | 33            | 1,17E-01                             | 286,27                  |
| Phacus pleuronectes                                   | EUGLENOPHYCEAE     | PHAPLE     | Cel.        | 6513        | 1             | 1,91E-01                             | 8,67                    |
| Phacus pusillus                                       | EUGLENOPHYCEAE     | PHAPUS     | Cel.        | 6514        | 1             |                                      |                         |
| Phacus tortus   | EUGLENOPHYCEAE     | PHATOR     | Cel.        | 6521        | 1             | 8,67E-02                             | 8,67                    |
| Plagioselmis nannoplantica                            | CRYPTOPHYCEAE      | PLGNAN     | Cel.        | 9634        | 12            | 7,29E-03                             | 104,10                  |
| Scenedesmus   | CHLOROPHYCEAE      | SCESPX     | Cel.        | 1136        | 2             | 1,39E-03                             | 17,35                   |
| Scenedesmus linearis                                  | CHLOROPHYCEAE      | SCELIN     | Cel.        | 25905       | 8             | 1,62E-02                             | 69,40                   |
| Schroederia   | CHLOROPHYCEAE      | SCRSPX     | Cel.        | 5864        | 4             | 1,85E-02                             | 34,70                   |
| Schroederia robusta                                   | CHLOROPHYCEAE      | SCRROB     | Cel.        | 5866        | 1             |                                      |                         |
| Staurastrum   | ZYGNETOMOPHYCEAE   | STA2SPX    | Cel.        | 1128        | 1             | 6,46E-02                             | 8,67                    |
| Tetraédiella spinigera                                | XANTHOPHYCEAE      | TEESPI     | Cel.        | 6247        | 1             | 6,51E-03                             | 8,67                    |
| Tetraedron minimum                                    | CHLOROPHYCEAE      | TEAMIN     | Cel.        | 5888        | 27            | 8,20E-02                             | 234,22                  |
| Tetrastrum komarekii                                  | CHLOROPHYCEAE      | TERKOM     | Cel.        | 5900        | 12            | 1,09E-02                             | 104,10                  |
| Tetrastrum staurigeniaeforme                          | CHLOROPHYCEAE      | TERSTA     | Cel.        | 5904        | 4             | 1,67E-03                             | 34,70                   |
| Trachelomonas   | EUGLENOPHYCEAE     | TRA3SPX    | Cel.        | 6527        | 1             | 1,39E-02                             | 8,67                    |
| Treubaria setigera                                    | CHLOROPHYCEAE      | TRE3ET     | Cel.        | 5911        | 1             | 1,38E-03                             | 8,67                    |

**Commentaires :** Beaucoup de matière en suspension. Les genres *Anabaena* et *Aphanizomenon* sont potentiellement producteurs d'anatoxines-a. Oscillatoriaceae indéterminées et *Aphanizomenon* : cellules indiscernables.

**4<sup>ème</sup> Campagne : le 10 Septembre 2014**

## Liste Floristique

| Nom Taxon                                  | Classe             | Code Taxon | Type Compté | Code SANDRE | Cf | Nombre compté | Biovolume calculé mm <sup>3</sup> /l | Nombre objets algues/ml |
|--|--------------------|------------|-------------|-------------|----|---------------|--------------------------------------|-------------------------|
| Anabaena                                   | CYANOPHYCEAE       | ANASPX     | Cel.        | 1101        |    |               |                                      |                         |
| Aphanizomenon                              | CYANOPHYCEAE       | APHSPX     | Cel.        | 1103        |    | 16            | 1,50E-02                             | 208,38                  |
| Aulacoseira                                | COSCINODISOPHYCEAE | AULSPX     | Cel.        | 9476        |    | 12            | 1,56E-02                             | 156,28                  |
| Ceratium furcoides                         | DINOPHYCEAE        | CERFUR     | Cel.        | 20323       |    |               |                                      |                         |
| Chlamydomonas                              | CHLOROPHYCEAE      | CHLSPX     | Cel.        | 6016        |    | 12            | 1,73E-01                             | 156,28                  |
| Chlorophycées unicellulaires 5-10 µm       | CHLOROPHYCEAE      | NEW159     | Cel.        | 20155       |    | 7             | 2,01E-02                             | 91,16                   |
| Closterium acutum var. variable            | ZYGONEMATOPHYCEAE  | CLOACV     | Cel.        | 5530        |    | 2             | 2,45E-02                             | 26,05                   |
| Coelastrum polychordum                     | CHLOROPHYCEAE      | COEPOL     | Cel.        | 24480       |    |               |                                      |                         |
| Coelastrum reticulatum                     | CHLOROPHYCEAE      | COERET     | Cel.        | 5614        |    | 24            | 4,50E-02                             | 312,56                  |
| Coenochloris fottii                        | CHLOROPHYCEAE      | COOFOT     | Cel.        | 5618        | 1  | 8             | 1,86E-02                             | 104,19                  |
| Cosmarium                                  | ZYGONEMATOPHYCEAE  | COSSPX     | Cel.        | 1127        |    |               |                                      |                         |
| Cryptomonas                                | CRYPTOPHYCEAE      | ORYSPX     | Cel.        | 6269        |    | 7             | 1,62E-01                             | 91,16                   |
| Desmodesmus                                | CHLOROPHYCEAE      | DEDSPX     | Cel.        | 29998       |    | 6             | 6,25E-03                             | 78,14                   |
| Desmodesmus aculeolatus                    | CHLOROPHYCEAE      | NEW164     | Cel.        | 37353       |    | 4             | 3,91E-03                             | 52,09                   |
| Desmodesmus bicaudatus                     | CHLOROPHYCEAE      | NEW163     | Cel.        | 37351       |    | 6             | 7,35E-03                             | 78,14                   |
| Desmodesmus communis                       | CHLOROPHYCEAE      | DEDDOM     | Cel.        | 31933       |    | 4             | 1,90E-02                             | 52,09                   |
| Diatomées centriques Indéterminées > 10 µm | COSCINODISOPHYCEAE | NEW045     | Cel.        | 20160       |    | 11            | 1,32E-01                             | 143,26                  |
| Diatomées centriques Indéterminées < 10 µm | COSCINODISOPHYCEAE | INDCES     | Cel.        | 31228       |    | 5             | 7,16E-03                             | 65,12                   |
| Diatomées pennées Indéterminées            | BACILLARIOPHYCEAE  | INDPEN     | Cel.        | 20161       |    | 2             | 1,36E-02                             | 26,05                   |
| Didymocystis fna                           | TREBOUNOPHYCEAE    | DIDFIN     | Cel.        | 9193        |    |               |                                      |                         |
| Erkertia subaequiciliata                   | CHRYSOPHYCEAE      | ERKSUB     | Cel.        | 6149        |    | 1             | 5,86E-04                             | 13,02                   |
| Euglena limnophila                         | EUGLENOPHYCEAE     | EUGLIM     | Cel.        | 9738        |    | 1             | 2,60E-02                             | 13,02                   |
| Goniochloris mutica                        | XANTHOPHYCEAE      | GOCMUT     | Cel.        | 6237        |    | 1             | 3,13E-03                             | 13,02                   |
| Monomorpha pyrum                           | EUGLENOPHYCEAE     | MOMPYR     | Cel.        | 31796       |    |               |                                      |                         |
| Monoraphidium circinale                    | CHLOROPHYCEAE      | MONCIR     | Cel.        | 5730        |    | 3             | 9,77E-04                             | 39,07                   |
| Monoraphidium minutum                      | CHLOROPHYCEAE      | MONMIN     | Cel.        | 5736        |    | 5             | 6,06E-03                             | 65,12                   |
| Monoraphidium tortile                      | CHLOROPHYCEAE      | MONTOR     | Cel.        | 5741        |    | 3             | 8,99E-04                             | 39,07                   |
| Oocystis                                   | CHLOROPHYCEAE      | OOCSPX     | Cel.        | 5752        |    | 2             | 6,25E-03                             | 26,05                   |
| Oocystis lacustris                         | CHLOROPHYCEAE      | OOCCLAC    | Cel.        | 5757        |    |               |                                      |                         |
| Pedlastrum duplex                          | CHLOROPHYCEAE      | PEDDUP     | Cel.        | 5772        |    |               |                                      |                         |
| Pedlastrum simplex                         | CHLOROPHYCEAE      | PEDSIM     | Cel.        | 5777        |    | 2591          | 6,52E+01                             | 33743,95                |
| Pedlastrum tetras                          | CHLOROPHYCEAE      | PEDTET     | Cel.        | 5780        |    | 8             | 3,65E-02                             | 104,19                  |
| Peridinium                                 | DINOPHYCEAE        | PERSPX     | Cel.        | 6577        |    |               |                                      |                         |
| Plagioselmis nannoplantica                 | CRYPTOPHYCEAE      | PLGNAN     | Cel.        | 9634        |    | 10            | 9,12E-03                             | 130,24                  |
| Scenedesmus ellipticus                     | CHLOROPHYCEAE      | SCEELL     | Cel.        | 5826        |    |               |                                      |                         |
| Schroederia robusta                        | CHLOROPHYCEAE      | SCRROB     | Cel.        | 5866        |    | 1             | 2,36E-03                             | 13,02                   |
| Staurastrum                                | ZYGONEMATOPHYCEAE  | STASPX     | Cel.        | 1128        |    |               |                                      |                         |
| Tetraedron minimum                         | CHLOROPHYCEAE      | TEAMIN     | Cel.        | 5888        |    |               |                                      |                         |
| Tetrastrum komarekii                       | CHLOROPHYCEAE      | TERKOM     | Cel.        | 5900        |    | 4             | 5,47E-03                             | 52,09                   |
| Tetrastrum staurogeniaeforme               | CHLOROPHYCEAE      | TERSTA     | Cel.        | 5904        |    |               |                                      |                         |
| Trachelomonas                              | EUGLENOPHYCEAE     | TRASPX     | Cel.        | 6527        |    |               |                                      |                         |
| Trachelomonas volvocina                    | EUGLENOPHYCEAE     | TRAVOL     | Cel.        | 6544        | 1  | 3             | 7,62E-02                             | 39,07                   |
| Trachelomonas volvochopsis                 | EUGLENOPHYCEAE     | TRAVOC     | Cel.        | 6545        | 1  | 3             | 7,62E-02                             | 39,07                   |
| Treubaria schmidii                         | CHLOROPHYCEAE      | TRESCH     | Cel.        | 5910        |    |               |                                      |                         |

Commentaires : Les genres *Anabaena* et *Aphanizomenon* sont potentiellement producteurs d'anatoxines-a.

## Annexe 5

### Rapport d'analyse oligochètes



**GREBE**

SOCIETE D'ETUDE ET DE CONSEIL - EAU - SOL - ENVIRONNEMENT

*un environnement de qualité pour une qualité de vie*

**Rapport d'analyse IOBL**

définitif

provisoire

Page 1/4

Édité le : 24/10/2014

Agence de l'Eau Rhône Méditerranée Corse  
A l'attention de M Loïc IMBERT  
2-4 allée de Lodz  
09363 Cedex 07

Le rapport établi ne concerne que les échantillons soumis à l'essai.  
La reproduction de ce rapport d'analyse n'est autorisée que sous sa forme intégrale.

Un rapport provisoire n'est pas signé et seul l'exemplaire définitif signé a une valeur contractuelle.

Ce rapport d'analyses transmis par courrier électronique ou sur un support informatique n'a pas de valeur contractuelle.  
Seule la version originale « format papier » de ce rapport d'analyses définitif signé fait foi.

Les analyses ci-dessous ont été réalisées par le GREBE, laboratoire agréé pour le paramètre IOBL par le Ministère en charge de l'Environnement dans les conditions de l'arrêté du 27 octobre 2011.

**RAPPORT n° :** IOBL.07/05-2014

**Dossier :** PE AERMC 2014 / IOBL

**Plan d'eau :** U0535003 - Gravière de Vaivre-Vesoul

**Prélèvement(s) :** Effectué(s) par GREBE (François BOURGEOT) selon la norme IOBL NF T 90-391  
(Mars 2005)  
Date : 22 mai 2014

**Déterminations réalisées par :** Emmanuel MICHAUT

**Objet soumis à l'analyse :** macro-invertébrés benthiques (oligochètes)

**RESULTATS :** Détermination de l'indice oligochètes de bioindication lacustre – Norme NF T 90-391 (Mars 2005)

Déterminations réalisées par : nom du technicien ou voir tableau page suivante

Les résultats sont présentés ci-après : - fiche de prélèvement,  
- localisation des prélèvements (extrait de carte IGN ou croquis),  
- listes faunistiques et notes IOBL,  
- éléments complémentaires.

Technicien(ne) en charge des analyses oligochètes



Accréditation COFRAC  
N° 1-1313

Portée disponible  
sur [www.cofrac.fr](http://www.cofrac.fr)

GROUPE DE RECHERCHE ET D'ETUDE BIOLOGIE ET ENVIRONNEMENT  
SIEGE SOCIAL : 23 RUE SAINT MICHEL - F 69007 LYON - France - TEL : 04.72.71.03.79 - FAX : 04.72.72.06.12  
SAS AU CAPITAL DE 100.000 € - RCS LYON B 329 391 905 - SIRET 329 391 905 00038 - CODE APE 791Z

ENR.60 – version 6 – Date d'application : 24/10/2014 – Page 1/1

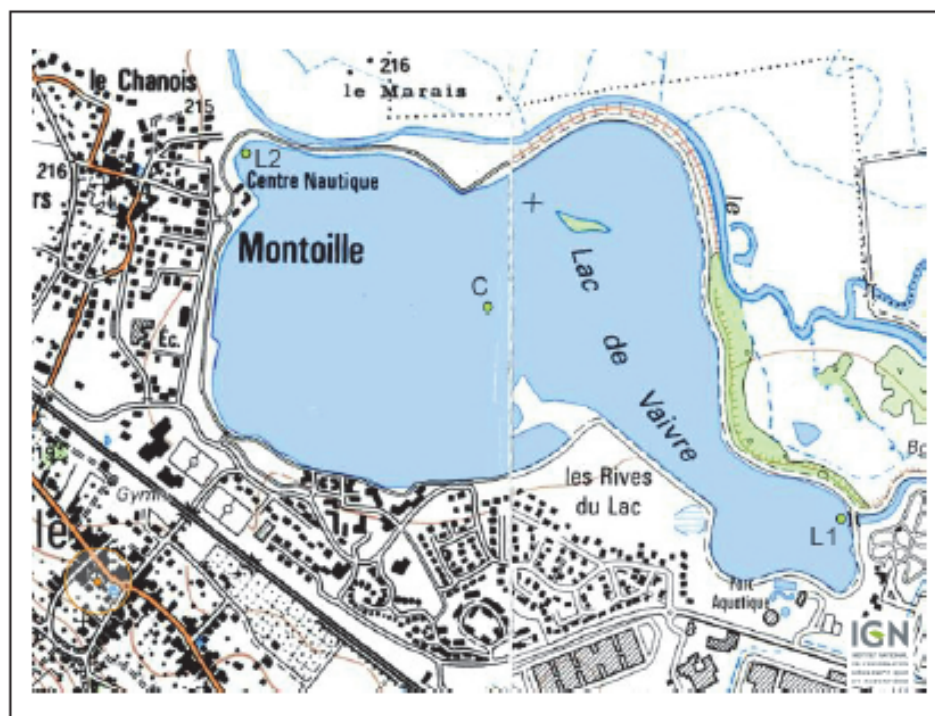
|              |                                  |  |
|--------------|----------------------------------|--|
| <b>GREBE</b> | <b>Fiche de prélèvement IOBL</b> | Référence : ENR54 - Version : 1 Date d'application : 24/03/2014 Page : 1/1 |
|--------------|----------------------------------|--|

Plan d'eau : Gravière de Valvre Vesoul  
 Date de prélèvement : 22-mai-14 Heure : 10:00  
 Caractéristiques : Artificiel  
 Superficie : 0,86 km<sup>2</sup>  
 Prof. Max. : 2,2  
 Conditions de prélèvements : faciles

Commune : Valvre et Montoille  
 Département : Haute Saône (70)  
 Altitude (m) : 224

**Prélèvements :**

| Appareil de prélèvement  | Carotier <input type="checkbox"/> | Benne Ekman <input checked="" type="checkbox"/> |                      |
|--|-----------------------------------|---|----------------------|
| Echantillons   | P                                 | L1  | L2                   |
| Coordonnées GPS (Lambert 93 en m) :  | X: 933904 Y: 6730783              | X: 934787 Y: 6730339                            | X: 933324 Y: 6731131 |
| Profondeur (m) :   | 2                                 | 1   | 1                    |
| Nombre de prélèvements :   | 3                                 | 3   | 3                    |
| Surface échantillonnée (m <sup>2</sup> ) :   | 0,0675                            | 0,0675  | 0,0675               |
| Aspect et nature des sédiments (couleur, odeur, texture (sableuse, fine), charge en débris organiques) | Argilo-limoneux gris              | Sable argilo-limoneux                           | Argilo-limoneux      |
| Nature des débris végétaux (grossiers, fins, feuilles, aiguilles de conifères)                         | -                                 | Végétaux (Eloïde)                               | D O F                |
| Odeurs   |                                   |   |                      |
| Elutriation  | non                               | non   | non                  |
| Tamisage sur le terrain  | oui                               | oui   | oui                  |

**Localisations des prélèvements - schéma du lac****Commentaires (conditions de prélèvement, éléments remarquables, marnage,...) :**

IOBL 07/05/2014

3 sur 4

Liste faunistique Oligochètes (les valeurs indiquent une densité pour 0,1 m<sup>2</sup>)

|   |   |                      | Gravière de Vaivre Vesoul |                   |                     |
|---|---|----------------------|---------------------------|-------------------|---------------------|
|   |   |                      | 22/05/2014                |                   |                     |
|   |   |                      | P                         | L1                | L2                  |
|   |   |                      | profondeur (m)            | 2                 | 1                   |
| Taxons  | Code  | Code Sandre          |                           |                   |                     |
| <b>Naididae</b>   |   |                      |                           |                   |                     |
| <b>Tubificinae avec soies capillaires sous-total (%)</b>            | <i>Immatures Branchiura sowerbyi</i><br>TUBC<br>BRSO  | 5231<br>952          | 0<br>3<br>1               | 3<br>0<br>15      | 0<br>0<br>0         |
| <b>Tubificinae sans soies capillaires sous-total (%)</b>            | <i>Immatures Limnodrilus claparedeanus</i><br><i>Limnodrilus hoffmeisteri</i><br>TUSS<br>LICL<br>LIHO | 5230<br>2992<br>2991 | 290<br>12<br>12<br>99     | 6<br>4<br>6<br>85 | 83<br>0<br>1<br>100 |
|   | Densité totale (D) (pour 0,1 m <sup>2</sup> )   |                      | 317                       | 19                | 84                  |
| <b>Calcul IOBL</b>  |   |                      |                           |                   |                     |
| Nombre d'espèces (S)  |   |                      | 3                         | 3                 | 1                   |
| IOBL = S+3log10(D+1)  |   |                      | 10.5                      | 6.9               | 6.8                 |
| Pourcentage d'espèces sensibles par point                           |   |                      | 0                         | 0                 | 0                   |
| Pourcentage d'espèces sensibles rapporté à la densité globale du PE |   |                      | 0                         | 0                 | 0                   |
| <b>Indice IOBL Total<sup>(1)</sup></b>                              |   |                      | 8.7                       |                   |                     |

\* Espèces sensibles à la pollution dans les sédiments lacustres profonds.

<sup>(1)</sup> : Paramètre non couvert par l'accréditation (non mentionné par la Norme IOBL NF T90-391 (mars 2005)), mais utilisé dans le calcul de l'indice oligochètes IOL de la diagnose rapide des plans d'eau du CEMAGREF version Juillet 2003.  
-1 point profond P1 et 1 point en profondeur Intermédiaire P2 : IOBL total = 1/2 (IOBL P1 + IOBL P2)  
-1 point profond P1 et 2 points en profondeur Intermédiaire P2 et P3 : IOBL total = 1/2 IOBL P1 + 1/4 IOBL P2 + 1/4 IOBL P3

**Eléments complémentaires**

| Point de prélèvement  | P   | L1  | L2  |
|---|---|---|---|
| Oligochètes   |   |   |   |
| Abondance dans l'échantillon                                  | 214   | 13  | 57  |
| Nombre d'oligochètes déterminés                               | 107   | 13  | 57  |
| Faune associée  | Chironomidae<br>Mermithidae<br>Bryozoaires<br>Ceratopogonidae | Chironomidae<br>Mermithidae<br>Bryozoaires<br>Ceratopogonidae<br>Asellidae<br>Corbiculidae<br>Sphaeridae<br>Hydroptilidae<br>Leptoceridae<br>Valvatidae<br>Coenagrionidae<br>Hydracaridens<br>Planorbidae | Chironomidae<br>Hydroptilidae<br>Bryozoaires<br>Ceratopogonidae<br>Stalidae |
| Eléments complémentaires<br>(laboratoire)                     |   |   |   |
| Etutration (oui/non)  | non   | non   | oui   |
| Maille de tamisage (en mm)                                    | 0.5   | 0.5   | 0.5   |
| Colmatage du tamis  | nul   | tres important  | important   |
| Sous-échantillonnage  | 1/2   | -   | -   |
| Structure des sédiments à la loupe binoculaire après tamisage | 80% fibres & débris végétaux,<br>20% argile & minéral         | 50% argile, 50% débris végétaux   | 80% débris végétaux, 15% minéral, 5% débris coquilles                       |
| Autres (présence de colonies bactériennes, d'algues...)       | -   | -   | -   |